

МИНОБРНАУКИ РОССИИ

Федеральное государственное бюджетное образовательное учреждение высшего
образования



НИЖЕГОРОДСКИЙ ГОСУДАРСТВЕННЫЙ ТЕХНИЧЕСКИЙ
УНИВЕРСИТЕТ им. Р.Е.АЛЕКСЕЕВА

Институт радиоэлектроники и информационных технологий

Курсовая работа

по дисциплине

«Основы теории управления»

Вариант 6

РУКОВОДИТЕЛЬ:

(подпись)

Никулин.Е.А.
(фамилия, и.,о.)

СТУДЕНТ:

(подпись)

Сухоруков В.А.
(фамилия, и.,о.)

(подпись)

Мосташов В.С.
(фамилия, и.,о.)

19-ВМ
(шифр группы)

Работа защищена «__» _____

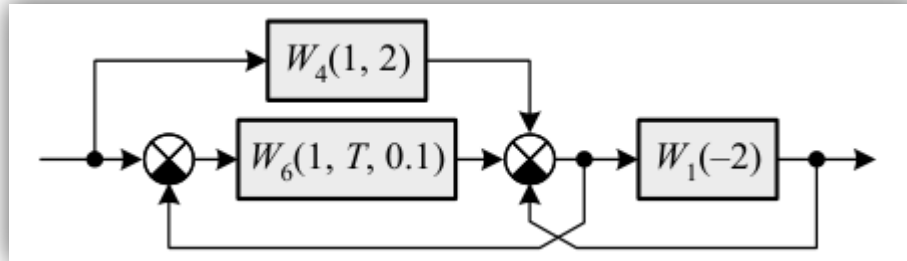
С оценкой _____

Нижний Новгород 2022

Оглавление

1	Исследование свойств типовых звеньев структурной схемы и построение их принципиальных схем на операционных усилителях.	3
1.1	Звено W4	3
1.2	Звено W6	11
1.3	Звено W1	26
2	Вывод передаточной функции разомкнутой системы	31
2.1	Метод алгебраических преобразований.....	31
2.2	Метод схематических преобразований	32
2.3	Проверка вычислений с помощью Mathcad.....	34
2.4	Подстановка в передаточную функцию разомкнутой системы передаточных функций типовых звеньев.....	34
3	Исследование устойчивости разомкнутой системы от буквенного параметра.....	34
3.1	Метод Гурвица	34
3.2	Метод Михайлова	36
4	Исследование устойчивости замкнутой системы от буквенного параметра.....	38
4.1	Получение передаточной функции системы, замкнутой единичной отрицательной обратной связью.	38
4.2	Метод Гурвица	39
5	Нахождение числа правых корней разомкнутой системы методом Михайлова	40
6	Исследование устойчивости замкнутой системы частотными методами	43
6.1	Критерий Михайлова	43
6.2	Критерий Найквиста	46
6.3	Логарифмический критерий устойчивости Найквиста	50
7	Исследование свойств разомкнутой системы.....	54
7.1	Описание метода канонических схем	54
7.2	Синтез схемы	55
7.3	Анализ характеристик системы	58
7.4	Моделирование системы при произвольном входном воздействии	60
8	Оценки качества переходной характеристики разомкнутой системы спектральными и частотными методами.	62
8.1	Спектральные оценки	62
8.2	Частотные оценки	64
9	Расчёт временных характеристик РС	65
9.1	Расчет ПХ с помощью обратного преобразования Лапласа.	65
9.2	Расчет импульсной характеристики	67

1 Исследование свойств типовых звеньев структурной схемы и построение их принципиальных схем на операционных усилителях.



1.1 Звено W4

$$W_4(K, T) = \frac{K}{1 + Ts}$$

$$W_4(1, 2) = \frac{1}{1 + 2s}$$

1.1.1 Вывод функционального уравнения

$$Y(s) = X(s) * W(s) = X(s) * \frac{B(s)}{A(s)} = X(s) * \frac{1}{1 + 2s}$$

$$Y(s) + 2s * Y(s) = X(s)$$

Заменяем s на $\frac{d}{dt}$.

$$y(t) + 2 * y(t)' = x(t)$$

$y(t) + 2 * y(t)' - x(t) = 0$ – Дифференциальное уравнение первого порядка.

1.1.2 Вывод частотных характеристик

❖ Комплексная частотная характеристика:

$$\begin{aligned} C(\omega) = W(i\omega) &= \frac{K}{1 + Ti\omega} = \frac{K * (1 - Ti\omega)}{(1 + Ti\omega) * (1 - Ti\omega)} = \frac{K - KT i\omega}{1 + T^2\omega^2} = \\ &= \frac{K}{1 + T^2\omega^2} - \frac{KT\omega}{1 + T^2\omega^2} * i \end{aligned}$$

При $K=1, T=2$

$$C(\omega) = \frac{1}{1 + 4\omega^2} - \frac{2}{1 + 4\omega^2} i$$

❖ Вещественная частотная характеристика:

$$P(\omega) = \operatorname{Re}(C(\omega)) = \operatorname{Re}\left(\frac{K}{1 + T^2\omega^2} - \frac{KT\omega}{1 + T^2\omega^2} * i\right) = \frac{K}{1 + T^2\omega^2}$$

При K=1, T=2

$$P(\omega) = \frac{1}{1 + 4\omega^2}$$

❖ Мнимая частотная характеристика:

$$Q(\omega) = \operatorname{Im}(C(\omega)) = \operatorname{Im}\left(\frac{K}{1 + T^2\omega^2} - \frac{KT\omega}{1 + T^2\omega^2} * i\right) = -\frac{KT\omega}{1 + T^2\omega^2}$$

При K=1, T=2

$$Q(\omega) = \frac{-2\omega}{1 + 4\omega^2}$$

❖ Амплитудно-частотная характеристика

$$\begin{aligned} A(\omega) = |C(\omega)| &= \sqrt{P^2(\omega) + Q^2(\omega)} = \sqrt{\left(\frac{K}{1 + T^2\omega^2}\right)^2 + \left(\frac{-KT\omega}{1 + T^2\omega^2}\right)^2} = \\ &= \sqrt{\frac{K^2 + K^2T^2\omega^2}{(1 + T^2\omega^2)^2}} = \sqrt{\frac{K^2(1 + T^2\omega^2)}{(1 + T^2\omega^2)^2}} = \sqrt{\frac{K^2}{1 + T^2\omega^2}} = \frac{|K|}{\sqrt{1 + T^2\omega^2}} \end{aligned}$$

При K=1, T=2

$$A(\omega) = \frac{1}{\sqrt{1 + 4\omega^2}}$$

$$\omega: = 0, 0.01 \dots 100$$

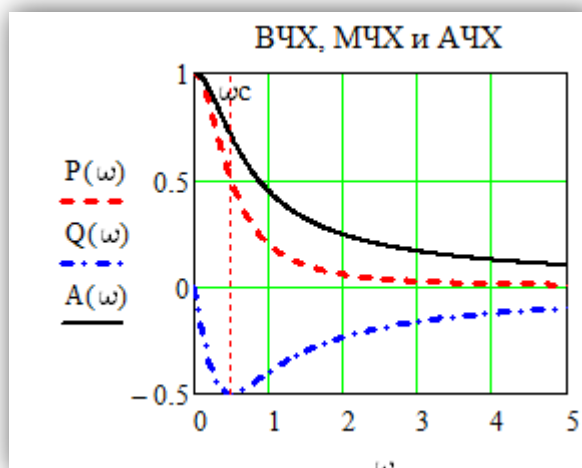


Рис 1.

$$\omega_c = \frac{1}{T} = \frac{1}{2} = 0.5$$

❖ Логарифмическая амплитудно-частотная характеристика

$$L(\omega) = 20 \log(A(\omega)) = 20 \log\left(\frac{|K|}{\sqrt{1 + T^2 \omega^2}}\right) = 20 \log(|K|) - 10 \log(1 + T^2 \omega^2)$$

При $K=1, T=2$

$$L(\omega) = 20 \log(1) - 10 \log(1 + 4^2 \omega^2) = -10 \log(1 + 4^2 \omega^2)$$

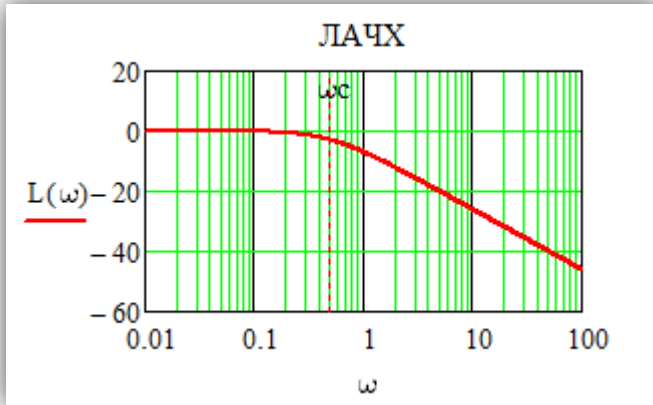


Рис 2.

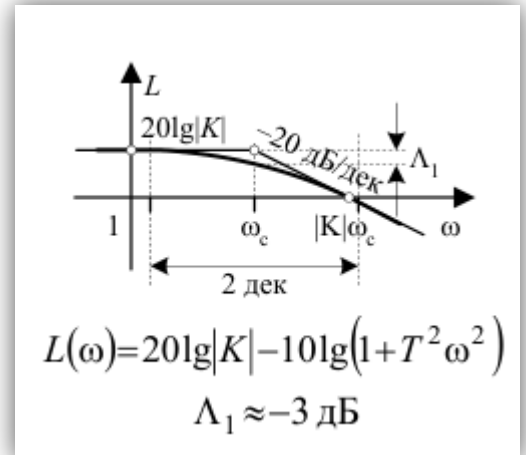


Рис 3.

Проверим правильность построения графика по таблице «Приложение 1. Частотные и временные характеристики типовых звеньев» (Рис 3).

$$20 \lg(|K|) = 20 \lg(1) = 0$$

$\omega_c = \frac{1}{T} = \frac{1}{2} = 0.5$ – частота, при которой логарифмическое усиление амплитуды равно -3дБ.

При изменении частоты от $\omega_1 = \frac{\omega_c}{10} = 0.05$ до $\omega_2 = \omega_c * 10 = 5$ амплитуда колебания уменьшается на 20 дБ.

График построен верно.

❖ Логарифмическая фазо-частотная характеристика

$$\Phi(\omega) = \arctg(C(\omega)) = \arctg\left(\frac{Q(\omega)}{P(\omega)}\right) =$$

$$= \begin{cases} \arctg\left(-\frac{KT\omega}{1 + T^2 \omega^2} : \frac{K}{1 + T^2 \omega^2}\right) & \text{при } K > 0 \\ \arctg\left(-\frac{KT\omega}{1 + T^2 \omega^2} : \frac{K}{1 + T^2 \omega^2}\right) \pm 180^\circ & \text{при } K < 0 \end{cases} =$$

$$= \begin{cases} \arctg(-T\omega) & \text{при } K > 0 \\ \arctg(-T\omega) \pm 180^\circ & \text{при } K < 0 \end{cases} = \begin{cases} -\arctg(T\omega) & \text{при } K > 0 \\ -\arctg(T\omega) \pm 180^\circ & \text{при } K < 0 \end{cases}$$

При $K=1, T=2$

$$\Phi(\omega) = \operatorname{arctg}(-2\omega)$$

Задание функции в Mathcad:

$$\varphi(\omega) := \arg(C(\omega)) \cdot \deg^{-1}$$

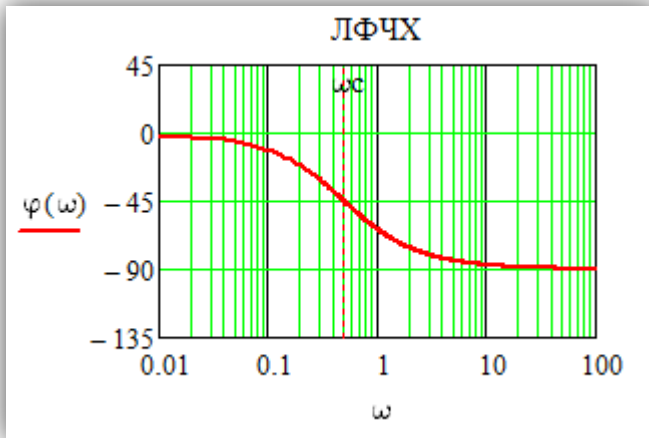


Рис 4.

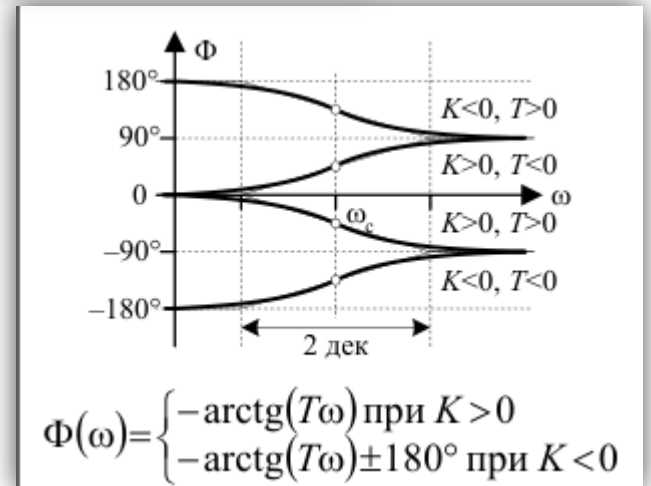


Рис 5.

Проверим правильность построения графика по таблице «Приложение 1. Частотные и временные характеристики типовых звеньев» (Рис 5).

График построен верно.

❖ Годограф

$$P(\omega) = \frac{1}{1 + 4\omega^2}, Q(\omega) = \frac{-2\omega}{1 + 4\omega^2}$$

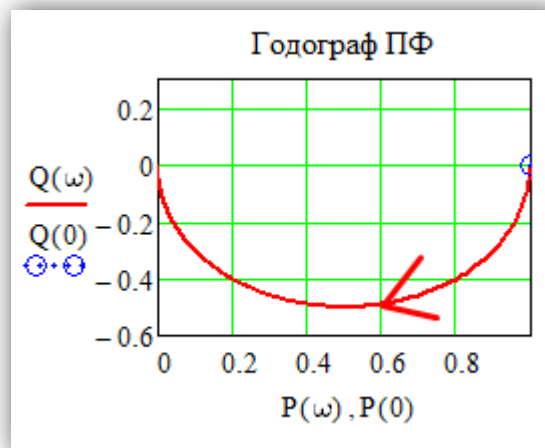


Рис 6.

1.1.3 Вывод временных характеристик

❖ Импульсная характеристика

$$w(t) = L^{-1}(W(s)) = L^{-1}\left(\frac{K}{1 + Ts}\right) = K * L^{-1}\left(\frac{1}{1 + Ts}\right)$$

По таблице обратного преобразования Лапласа, изображение

$$F(s) = \frac{1}{1 + Ts} \quad \text{соответствует оригиналу } f(t) = \alpha e^{-\alpha t}, \text{ где } \alpha = \frac{1}{T}.$$

При $K=1, T=2$

$$w(t) = 1 * \frac{1}{2} e^{-\frac{1}{2}t}$$

Задание функций в Mathcad:

$$\epsilon := 0.01 \quad \delta(t) := \frac{0 \leq t \leq \epsilon}{\epsilon}$$

$$w1(t) := W(s) \left| \begin{array}{l} \text{invlaplace, s} \\ \text{float, 3} \end{array} \right. \rightarrow 0.5 \cdot e^{-0.5 \cdot t}$$

$$w(t) := w1(t) \cdot \Phi(t)$$

$$ty := 3T \text{ float, 3} \rightarrow 6.0 \quad t := -5, -4.99 \dots 20$$

$$w0 := \lim_{t \rightarrow 0} w1(t) \rightarrow 0.5$$

$$wy := \lim_{t \rightarrow \infty} w1(t) \rightarrow 0.0$$

$$\Delta 1 := |wy - w0| \cdot 5\% \text{ float, 3} \rightarrow 0.025$$

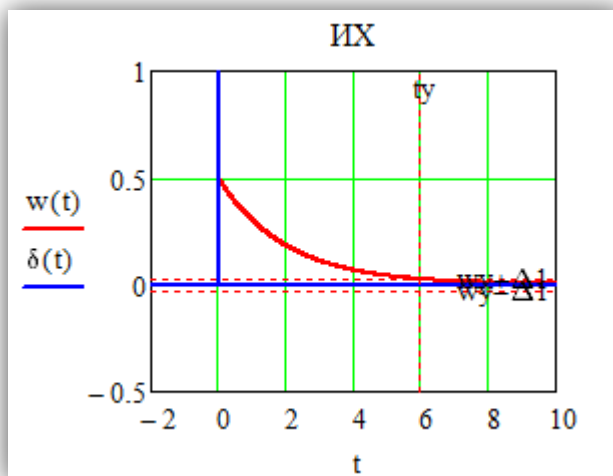


Рис 7.

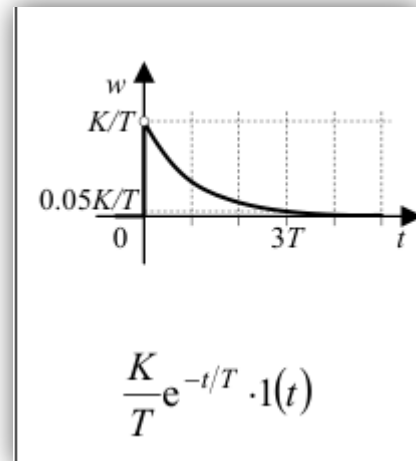


Рис 8.

Проверим правильность построения графика по таблице «Приложение 1. Частотные и временные характеристики типовых звеньев» (Рис 8).

$$K/T = 1/2 = 0.5, \quad ty = 3T = 6$$

График построен верно.

❖ Переходная характеристика

$$h(t) = L^{-1} \left(\frac{W(s)}{s} \right) = L^{-1} \left(\frac{K}{s(1 + Ts)} \right) = K * L^{-1} \left(\frac{1}{s(1 + Ts)} \right)$$

По таблице обратного преобразования Лапласа, изображение $F(s) = \frac{1}{s(1+Ts)}$ соответствует оригиналу $f(t) = 1 - e^{-\alpha t}$, где $\alpha = \frac{1}{T}$.

При $K=1$, $T=2$

$$h(t) = 1 * (1 - e^{-\frac{1}{2}t})$$

Задание функций в Mathcad:

$$h(t) := \frac{W(s)}{s} \left| \begin{array}{l} \text{invlaplace}, s \\ \text{float}, 3 \end{array} \right. \rightarrow -1.0 \cdot e^{-0.5 \cdot t} + 1.0$$

$$\underline{h}(t) := h(t) \cdot \Phi(t)$$

$$ty := 3T \text{ float}, 3 \rightarrow 6.0 \quad t := -5, -4.99 \dots 20$$

$$h0 := \lim_{t \rightarrow 0} h(t) \rightarrow 0 \quad hy := \lim_{t \rightarrow \infty} h(t) \rightarrow 1.0$$

$$\Delta := |hy - h0| \cdot 5\% \text{ float}, 3 \rightarrow 0.05$$

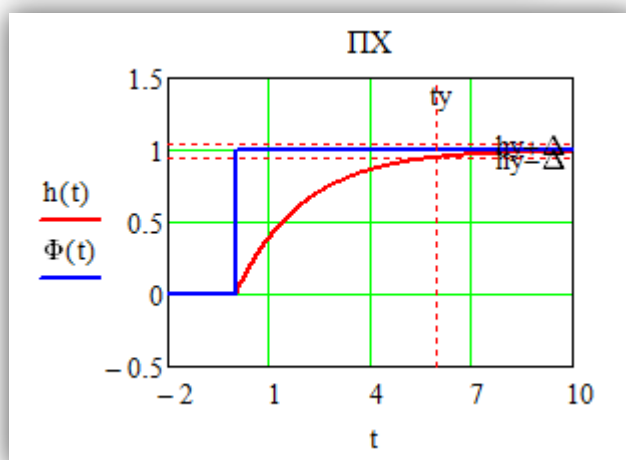


Рис 9.

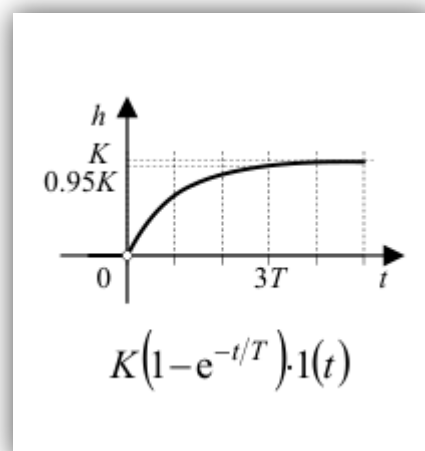


Рис 10.

Проверим правильность построения графика по таблице «Приложение 1. Частотные и временные характеристики типовых звеньев» (Рис 10).

$$0.95K = 0.95, \quad ty = 3T = 6$$

График построен верно.

1.1.4 Синтез схемы на операционном усилителе

Передаточная функция:

$$W_4(1,2) = \frac{1}{1 + 2s}$$

Вычислим суммы коэффициентов усиления по прямому и инверсному входам

$$S_1(s) = \frac{1}{1 + 2s} \quad S_2(s) = 0$$

Условие баланса:

$$S_1(s) = S_2(s) + 1$$

$$\frac{1}{1 + 2s} \neq 0 + 1$$

Условие баланса не выполняется, значит нужно подобрать передаточные функции $W_{10}(s)$ и $W_{20}(s)$ с положительными коэффициентами, удовлетворяющие условию $S_1(s) + W_{10}(s) = S_2(s) + 1 + W_{20}(s)$

$$\frac{1}{1 + 2s} + W_{10}(s) = 1 + W_{20}(s)$$

Для оптимальной схемы (в целях экономии сопротивления Z_{20}) предположим $W_{20}(s) = 0$.

$$W_{10}(s) = 1 - \frac{1}{1 + 2s} = \frac{2s}{1 + 2s}$$

Полиномы числителя и знаменателя с положительными коэффициентами, следовательно, предположение верно и $W_{20}(s) = 0$.

Эскизная схема имеет вид:

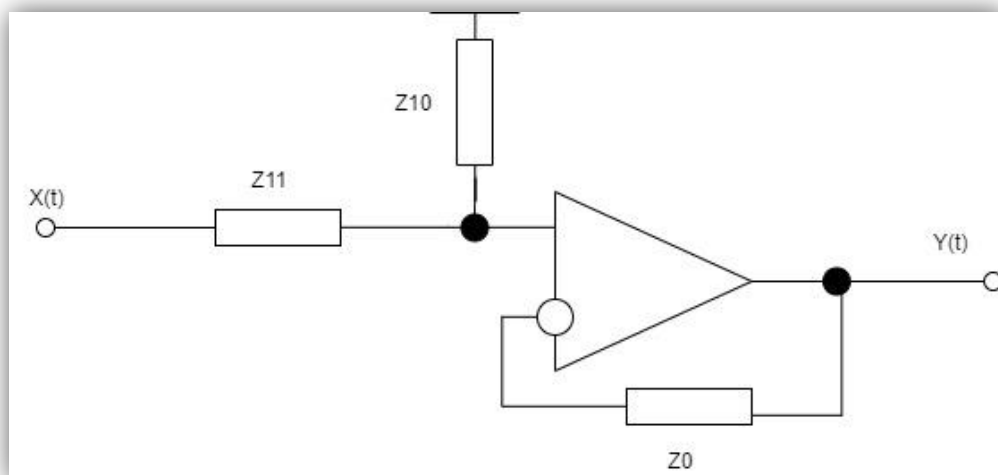


Рис 11.

Для инверсного входа:

$$W_0 * Z_0 = const$$

$$1 * Z_0 = const$$

1. В качестве константы можно взять любое неотрицательное число. Возьмем константу равную нулю, тогда сопротивление $Z_0 = 0 \text{ Ом}$.

2. Z_0 можно заменить проводом, поскольку входное сопротивление идеального ОУ бесконечно велико, и входной ток равен нулю.

Для прямого входа:

$$W_{10} * Z_{10} = W_{11} * Z_{11} = const$$

$$\frac{2s}{1+2s} * Z_{10} = \frac{1}{1+2s} * Z_{11} = const$$

$$Z_{11} = 2s * Z_{10}$$

Возьмём Z_{10} равное сопротивлению конденсатора $= \frac{1}{C_{10} * s}$, так как при таком выборе в уравнении сократится s .

$$Z_{11} = \frac{2s}{C_{10} * s} = \frac{2}{C_{10}}$$

Из полученного соотношения видно, что удобно взять: $Z_{11} = R_{11} = \frac{2}{C_{10}}$.

Возьмем $C_{10} = 1 \text{ мкФ}$, тогда $R_{11} = 2 \text{ МОм}$.

Получим схему:

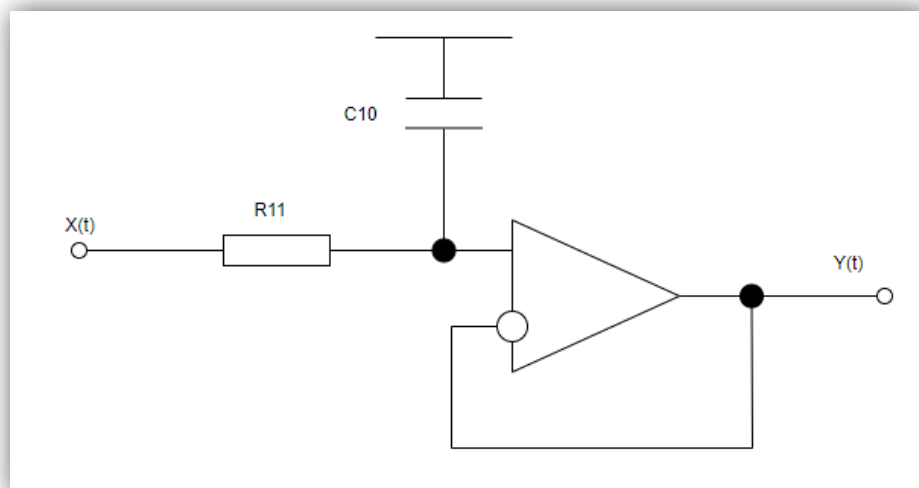


Рис 12.

Проверим правильность построения схемы по таблице «Приложение 2. Схемы каскадов на ОУ» (Рис 13). Схема соответствует строке 2, столбцу б.

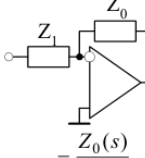
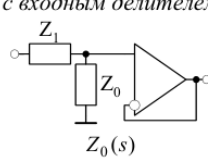
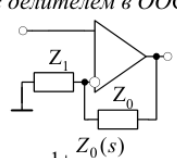
№ п/п	Элементы схемы		Принципиальная схема и её передаточная функция		
	Z_1	Z_0	а) инвертирующий каскад 	б) неинвертирующий каскад с входным делителем 	в) неинвертирующий каскад с делителем в ООС 
1	R_1	R_0	$-\frac{R_0}{R_1}$	$\frac{R_0}{R_0 + R_1}$	$1 + \frac{R_0}{R_1}$
2	R_1	C_0	$-\frac{1}{T_{10}s}$	$\frac{1}{1 + T_{10}s}$	$\frac{1 + T_{10}s}{T_{10}s}$

Рис 13.

1.2 Звено W6

$$W_6(K, T, \xi) = \frac{K}{1 + 2\xi Ts + T^2 s^2}$$

$$W_6(1, T, 0.1) = \frac{1}{1 + 0.2Ts + T^2 s^2}$$

$$T = 1; \quad W_6(1, 1, 0.1) = \frac{1}{1 + 0.2s + s^2}$$

1.2.1 Вывод функционального уравнения

$$Y(s) = X(s) * W(s) = X(s) * \frac{B(s)}{A(s)} = X(s) * \frac{1}{1 + 0.2s + s^2}$$

$$Y(s) + 0.2s * Y(s) + s^2 * Y(s) = X(s)$$

Заменяем s на $\frac{d}{dt}$.

$y(t) + 0.2 * y(t)' + y(t)'' = x(t)$ – Дифференциальное уравнение второго порядка.

1.2.2 Вывод частотных характеристик

❖ Комплексная частотная характеристика:

$$\begin{aligned}
 C(\omega) = W(i\omega) &= \frac{K}{1 + 2\xi Ti\omega + T^2(i\omega)^2} = \frac{K}{1 + 2\xi Ti\omega - T^2\omega^2} = \\
 &= \frac{K(1 - T^2\omega^2 - 2\xi Ti\omega)}{(1 - T^2\omega^2 + 2\xi Ti\omega) * (1 - T^2\omega^2 - 2\xi Ti\omega)} = \frac{K(1 - T^2\omega^2 - 2\xi Ti\omega)}{(1 - T^2\omega^2)^2 - (2\xi Ti\omega)^2} = \\
 &= \frac{K(1 - T^2\omega^2 - 2\xi Ti\omega)}{1 - 2T^2\omega^2 + T^4\omega^4 + 4\xi^2 T^2\omega^2} = \frac{K(1 - T^2\omega^2 - 2\xi Ti\omega)}{T^2\omega^2(T^2\omega^2 - 2 + 4\xi^2) + 1} = \\
 &= \frac{K(1 - T^2\omega^2)}{T^2\omega^2(T^2\omega^2 - 2 + 4\xi^2) + 1} - \frac{2\xi T\omega K}{T^2\omega^2(T^2\omega^2 - 2 + 4\xi^2) + 1} * i
 \end{aligned}$$

При $K=1, \xi=0.1$

$$C(\omega) = \frac{1 - T^2\omega^2}{T^2\omega^2(T^2\omega^2 - 2 + 0.04) + 1} - \frac{0.2T\omega}{T^2\omega^2(T^2\omega^2 - 2 + 0.04) + 1} * i =$$

$$= \frac{1 - T^2\omega^2}{1 - 1.96 * T^2\omega^2 + T^4\omega^4} - \frac{0.2T\omega}{1 - 1.96 * T^2\omega^2 + T^4\omega^4} * i$$

❖ **Вещественная частотная характеристика:**

$$P(\omega) = Re(C(\omega)) = Re\left(\frac{K(1 - T^2\omega^2)}{T^2\omega^2(T^2\omega^2 - 2 + 4\xi^2) + 1} - \frac{2\xi T\omega K}{T^2\omega^2(T^2\omega^2 - 2 + 4\xi^2) + 1} * i\right) = \frac{K(1 - T^2\omega^2)}{T^2\omega^2(T^2\omega^2 - 2 + 4\xi^2) + 1}$$

При $K=1, \xi=0.1$

$$P(\omega) = \frac{K(1 - T^2\omega^2)}{T^2\omega^2(T^2\omega^2 - 2 + 4\xi^2) + 1} = \frac{1 - T^2\omega^2}{1 - 1.96 * T^2\omega^2 + T^4\omega^4}$$

Рассмотрим три разных значения параметра Т:

- T1 = 1
- T2 = 0.1
- T3 = -1

$$P1(\omega) = \frac{1 - T1^2\omega^2}{1 - 1.96 * T1^2\omega^2 + T1^4\omega^4} = \frac{1 - \omega^2}{1 - 1.96 * \omega^2 + \omega^4}$$

$$P2(\omega) = \frac{1 - T2^2\omega^2}{1 - 1.96 * T2^2\omega^2 + T2^4\omega^4} = \frac{1 - 0.01\omega^2}{1 - 1.96 * 0.01\omega^2 + 0.0001\omega^4} =$$

$$= \frac{1 - 0.01\omega^2}{1 - 0.0196\omega^2 + 0.0001\omega^4}$$

$$P3(\omega) = \frac{1 - T3^2\omega^2}{1 - 1.96 * T3^2\omega^2 + T3^4\omega^4} = \frac{1 - \omega^2}{1 - 1.96\omega^2 + \omega^4}$$

$$\omega: = 0, 0.01 \dots 100$$

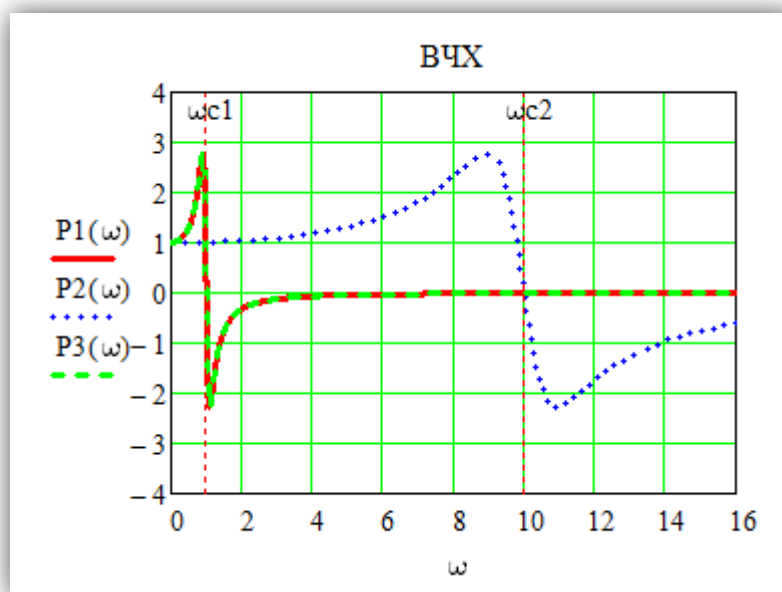


Рис 14.

$$\omega_{c1} = \frac{1}{T_1} = \frac{1}{1} = 1 \quad \omega_{c2} = \frac{1}{T_2} = \frac{1}{0.1} = 10$$

При уменьшении модуля параметра T график вытягивается вдоль оси абсцисс. Изменение знака параметра T на график не влияет.

❖ **Мнимая частотная характеристика:**

$$Q(\omega) = \text{Im}(C(\omega)) = \text{Im}\left(\frac{K(1 - T^2\omega^2)}{T^2\omega^2(T^2\omega^2 - 2 + 4\xi^2) + 1} - \frac{2\xi T\omega K}{T^2\omega^2(T^2\omega^2 - 2 + 4\xi^2) + 1} * i\right) = -\frac{2\xi T\omega K}{T^2\omega^2(T^2\omega^2 - 2 + 4\xi^2) + 1}$$

При $K=1, \xi=0.1$

$$Q(\omega) = -\frac{2\xi T\omega K}{T^2\omega^2(T^2\omega^2 - 2 + 4\xi^2) + 1} = -\frac{0.2T\omega}{1 - 1.96 * T^2\omega^2 + T^4\omega^4}$$

$$Q1(\omega) = -\frac{0.2T1\omega}{1 - 1.96 * T1^2\omega^2 + T1^4\omega^4} = -\frac{0.2\omega}{1 - 1.96 * \omega^2 + \omega^4}$$

$$Q2(\omega) = -\frac{0.2T2\omega}{1 - 1.96 * T2^2\omega^2 + T2^4\omega^4} = -\frac{0.02\omega}{1 - 0.0196\omega^2 + 0.0001\omega^4}$$

$$Q3(\omega) = -\frac{0.2T3\omega}{1 - 1.96 * T3^2\omega^2 + T3^4\omega^4} = \frac{0.2\omega}{1 - 1.96 * \omega^2 + \omega^4}$$

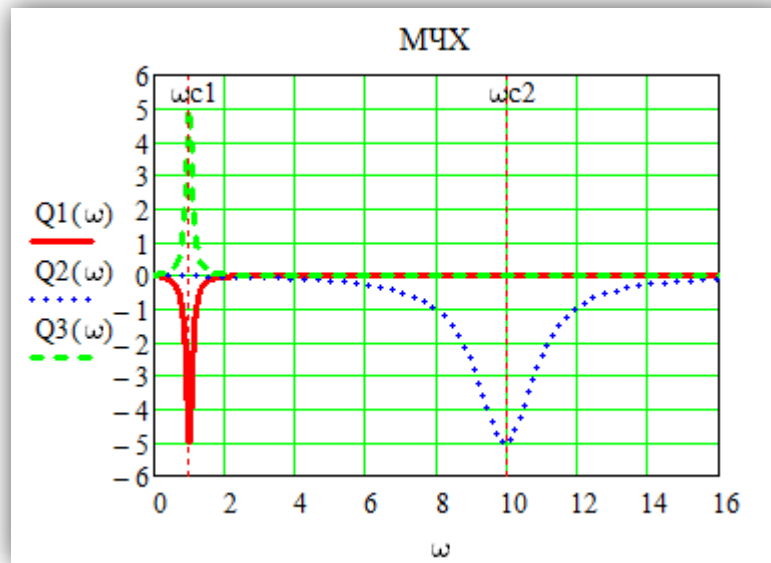


Рис 15.

При уменьшении модуля параметра T график вытягивается вдоль оси абсцисс. При изменении знака параметра T график отражается от оси абсцисс.

❖ Амплитудная частотная характеристика:

$$\begin{aligned}
 A(\omega) &= |C(\omega)| = \sqrt{P^2(\omega) + Q^2(\omega)} = \\
 &= \sqrt{\left(\frac{K(1 - T^2\omega^2)}{1 - 2T^2\omega^2 + T^4\omega^4 + 4\xi^2 T^2\omega^2} \right)^2 + \left(\frac{2\xi T\omega K}{1 - 2T^2\omega^2 + T^4\omega^4 + 4\xi^2 T^2\omega^2} \right)^2} = \\
 &= \sqrt{\frac{K^2(1 - T^2\omega^2)^2 + (2\xi T\omega K)^2}{(1 - 2T^2\omega^2 + T^4\omega^4 + 4\xi^2 T^2\omega^2)^2}} = \sqrt{\frac{K^2(1 - 2T^2\omega^2 + T^4\omega^4) + 4\xi^2 T^2\omega^2 K^2}{(1 - 2T^2\omega^2 + T^4\omega^4 + 4\xi^2 T^2\omega^2)^2}} = \\
 &= \sqrt{\frac{K^2(1 - 2T^2\omega^2 + T^4\omega^4 + 4\xi^2 T^2\omega^2)}{(1 - 2T^2\omega^2 + T^4\omega^4 + 4\xi^2 T^2\omega^2)^2}} = \sqrt{\frac{K^2}{1 - 2T^2\omega^2 + T^4\omega^4 + 4\xi^2 T^2\omega^2}} = \\
 &= \frac{|K|}{\sqrt{1 - 2T^2\omega^2 + T^4\omega^4 + 4\xi^2 T^2\omega^2}} = \frac{|K|}{\sqrt{T^2\omega^2(4\xi^2 + T^2\omega^2 - 2) + 1}}
 \end{aligned}$$

При $K=1, \xi=0.1$

$$A(\omega) = \frac{1}{\sqrt{T^2\omega^2(0.04 + T^2\omega^2 - 2) + 1}} = \frac{1}{\sqrt{T^2\omega^2(-1.96 + T^2\omega^2) + 1}}$$

$$A1(\omega) = \frac{1}{\sqrt{T1^2\omega^2(-1.96 + T1^2\omega^2) + 1}} = \frac{1}{\sqrt{\omega^2(-1.96 + \omega^2) + 1}}$$

$$A2(\omega) = \frac{1}{\sqrt{T2^2\omega^2(-1.96 + T2^2\omega^2) + 1}} = \frac{1}{\sqrt{0.01\omega^2(-1.96 + 0.01\omega^2) + 1}}$$

$$A3(\omega) = \frac{1}{\sqrt{T3^2\omega^2(-1.96 + T3^2\omega^2) + 1}} = \frac{1}{\sqrt{\omega^2(-1.96 + \omega^2) + 1}}$$

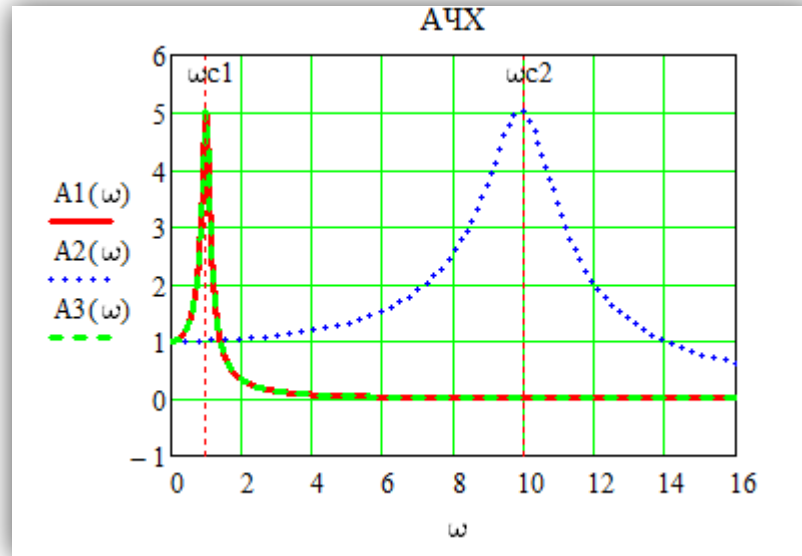


Рис 16.

При уменьшении модуля параметра Т график вытягивается вдоль оси абсцисс. Изменение знака параметра Т на график не влияет.

❖ Логарифмическая амплитудно-частотная характеристика:

$$L(\omega) = 20 \log(A(\omega)) = 20 \log\left(\frac{|K|}{\sqrt{T^2\omega^2(4\xi^2 + T^2\omega^2 - 2) + 1}}\right) =$$

$$= 20\log(|K|) - 10\log(T^2\omega^2(4\xi^2 + T^2\omega^2 - 2) + 1)$$

При $K=1, \xi=0.1$

$$L(\omega) = 20\log(|1|) - 10\log(T^2\omega^2(0.04 + T^2\omega^2 - 2) + 1) =$$

$$= -10\log(T^2\omega^2(-1.96 + T^2\omega^2) + 1)$$

$$L1(\omega) = -10\log(T1^2\omega^2(-1.96 + T1^2\omega^2) + 1) = -10\log(\omega^2(-1.96 + \omega^2) + 1)$$

$$L2(\omega) = -10\log(T2^2\omega^2(-1.96 + T2^2\omega^2) + 1) = -10\log(0.01\omega^2(-1.96 + 0.01\omega^2) + 1)$$

$$L3(\omega) = -10\log(T3^2\omega^2(-1.96 + T3^2\omega^2) + 1) = -10\log(\omega^2(-1.96 + \omega^2) + 1)$$

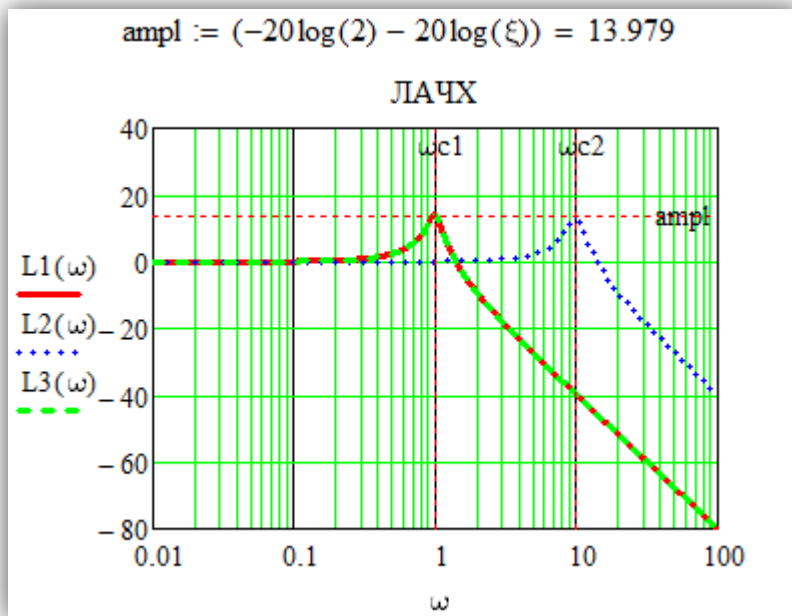


Рис 17.

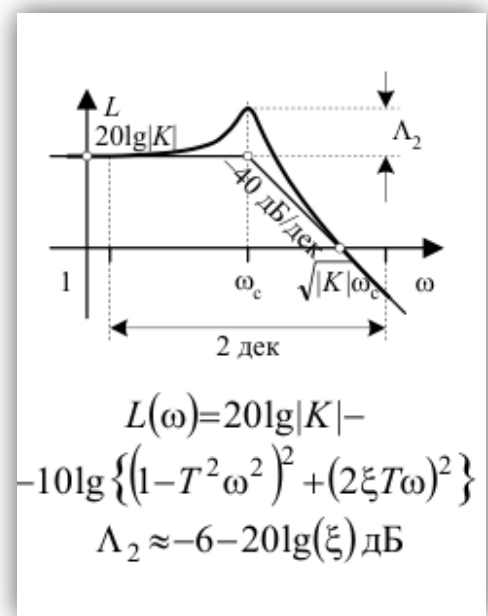


Рис 18.

При уменьшении модуля параметра T график сдвигается вправо вдоль оси абсцисс. Изменение знака параметра T на график не влияет.

Проверим правильность построения графика по таблице «Приложение 1. Частотные и временные характеристики типовых звеньев» (Рис 18).

$$1. 20 \lg(|K|) = 20 \lg(1) = 0$$

$$2. \text{Изменение амплитуды при } \omega_c = \frac{1}{T} \text{ равно } -6 - 20 \lg(\xi)$$

$$3. \text{При изменении частоты от } \omega_1 = \frac{\omega_c}{10} \text{ до } \omega_2 = \omega_c * 10 \text{ амплитуда колебания уменьшается на } 20 \text{ дБ.}$$

График построен верно.

❖ Логарифмическая фазо-частотная характеристика:

$$\begin{aligned} \Phi(\omega) &= \arctg(C(\omega)) = \arctg\left(\frac{Q(\omega)}{P(\omega)}\right) = \\ &= \begin{cases} \arctg\left(-\frac{2\xi T \omega K}{T^2 \omega^2 (T^2 \omega^2 - 2 + 4\xi^2) + 1} ; \frac{K(1 - T^2 \omega^2)}{T^2 \omega^2 (T^2 \omega^2 - 2 + 4\xi^2) + 1}\right) & \text{при } K > 0 \\ \arctg\left(-\frac{2\xi T \omega K}{T^2 \omega^2 (T^2 \omega^2 - 2 + 4\xi^2) + 1} ; \frac{K(1 - T^2 \omega^2)}{T^2 \omega^2 (T^2 \omega^2 - 2 + 4\xi^2) + 1}\right) \pm 180^\circ & \text{при } K < 0 \end{cases} \\ &= \begin{cases} \arctg\left(-\frac{2\xi T \omega K}{K(1 - T^2 \omega^2)}\right) & \text{при } K > 0 \\ \arctg\left(-\frac{2\xi T \omega K}{K(1 - T^2 \omega^2)}\right) \pm 180^\circ & \text{при } K < 0 \end{cases} = \end{aligned}$$

$$= \begin{cases} -\operatorname{arctg}\left(\frac{2\xi T\omega}{1-T^2\omega^2}\right) & \text{при } K > 0 \\ -\operatorname{arctg}\left(\frac{2\xi T\omega}{1-T^2\omega^2}\right) \pm 180^\circ & \text{при } K < 0 \end{cases}$$

При $K=1, \xi=0.1$

$$\Phi(\omega) = -\operatorname{arctg}\left(\frac{2\xi T\omega}{1-T^2\omega^2}\right) = -\operatorname{arctg}\left(\frac{0.2T\omega}{1-T^2\omega^2}\right)$$

$$\Phi_1(\omega) = -\operatorname{arctg}\left(\frac{0.2T_1\omega}{1-T_1^2\omega^2}\right) = -\operatorname{arctg}\left(\frac{0.2\omega}{1-\omega^2}\right)$$

$$\Phi_2(\omega) = -\operatorname{arctg}\left(\frac{0.2T_2\omega}{1-T_2^2\omega^2}\right) = -\operatorname{arctg}\left(\frac{0.02\omega}{1-0.01\omega^2}\right)$$

$$\Phi_3(\omega) = -\operatorname{arctg}\left(\frac{0.2T_3\omega}{1-T_3^2\omega^2}\right) = \operatorname{arctg}\left(\frac{0.2\omega}{1-\omega^2}\right)$$

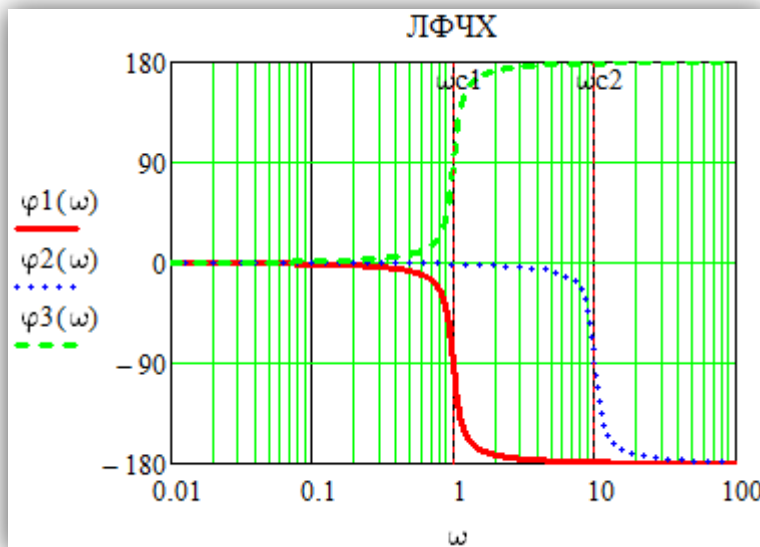


Рис 19.

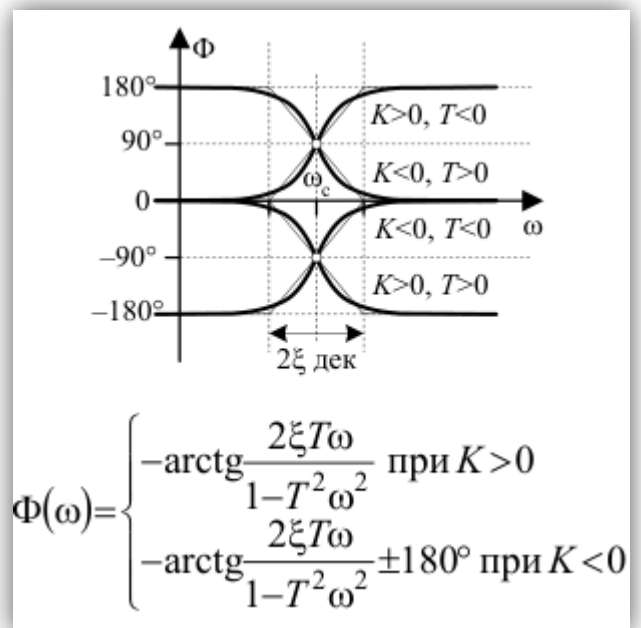


Рис 20.

При уменьшении модуля параметра T график смещается вдоль оси абсцисс. Изменение знака параметра T приводит к отражению графика от оси абсцисс.

Проверим правильность построения графика по таблице «Приложение 1. Частотные и временные характеристики типовых звеньев» (Рис 20).

График построен верно.

❖ **Годограф:**

$$Q1(\omega) = -\frac{0.2\omega}{1 - 1.96 * \omega^2 + \omega^4}$$

$$P1(\omega) = \frac{1 - \omega^2}{1 - 1.96 * \omega^2 + \omega^4}$$

$$Q2(\omega) = -\frac{0.02\omega}{1 - 0.0196\omega^2 + 0.0001\omega^4}$$

$$P2(\omega) = \frac{1 - 0.01\omega^2}{1 - 0.0196\omega^2 + 0.0001\omega^4}$$

$$Q3(\omega) = \frac{0.2\omega}{1 - 1.96 * \omega^2 + \omega^4}$$

$$P3(\omega) = \frac{1 - \omega^2}{1 - 1.96\omega^2 + \omega^4}$$

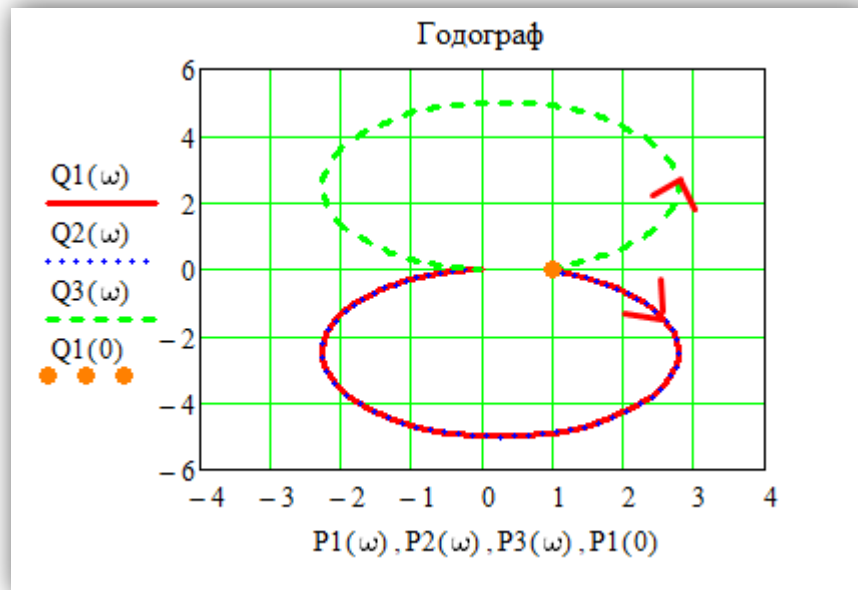


Рис 21.

Уменьшение модуля параметра Т не влияет на график. Изменение знака параметра Т приводит к отражению графика относительно оси абсцисс.

1.2.3 Вывод временных характеристик

❖ **Импульсная характеристика:**

$$w(t) = L^{-1}(W(s)) = L^{-1}\left(\frac{K}{1 + 2\xi Ts + T^2 s^2}\right) = K * L^{-1}\left(\frac{1}{1 + 2\xi Ts + T^2 s^2}\right)$$

По таблице обратного преобразования Лапласа, изображение

$$F(s) = \frac{1}{1 + 2\xi Ts + T^2 s^2} \quad \text{соответствует оригиналу } f(t) = C e^{-\beta t} \sin(\omega t), \text{ где}$$

$$C = \frac{1}{\omega T^2}; \quad \beta = \frac{\xi}{T}; \quad \omega T = \sqrt{1 - \xi^2}$$

$$w(t) = \frac{K}{\omega T^2} * e^{-\frac{\xi t}{T}} * \sin(\omega t)$$

При $K=1, \xi=0.1$

$$w(t) = \frac{1}{\omega T^2} * e^{-\frac{0.1t}{T}} * \sin(\omega t) \quad \omega T = \sqrt{1 - \xi^2} = 0.99 \rightarrow \omega = 0.99/T$$

$$w1(t) = \frac{1}{\omega T1^2} * e^{-\frac{0.1t}{T1}} * \sin(\omega t) = 1.01e^{-0.1t} * \sin(0.99t)$$

$$w2(t) = \frac{1}{\omega T2^2} * e^{-\frac{0.1t}{T2}} * \sin(\omega t) = 10.1e^{-0.1t} * \sin(9.9t)$$

$$w3(t) = \frac{1}{\omega T3^2} * e^{-\frac{0.1t}{T3}} * \sin(\omega t) = -1.01e^{-0.1t} * \sin(-0.99t)$$

$$\Delta1 := \left| \frac{K}{\omega1 \cdot T1^2} \right| \cdot 5\% \text{ float } ,3 \rightarrow 0.0503$$

$$\Delta2 := \left| \frac{K}{\omega2 \cdot T2^2} \right| \cdot 5\% \text{ float } ,3 \rightarrow 0.503$$

$$ty1 := \frac{3T1}{\xi} \text{ float } ,3 \rightarrow 30.0$$

$$ty2 := \frac{3T2}{\xi} \text{ float } ,3 \rightarrow 3.0$$

$$\underline{w1(t)} := w1(t) \cdot \Phi(t)$$

$$\underline{w2(t)} := w2(t) \cdot \Phi(t)$$

$$\underline{w3(t)} := w3(t) \cdot \Phi(t)$$

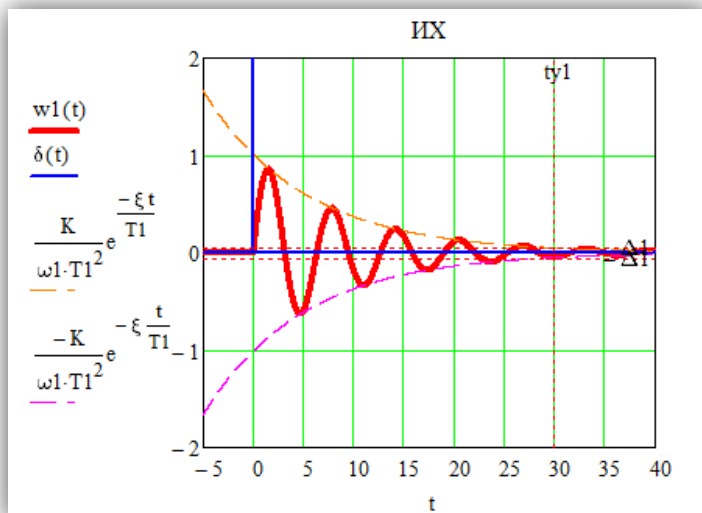


Рис 22.

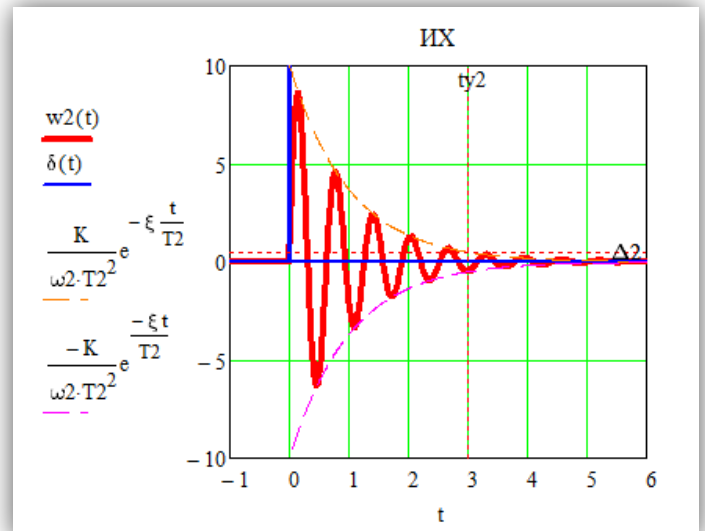


Рис 23.

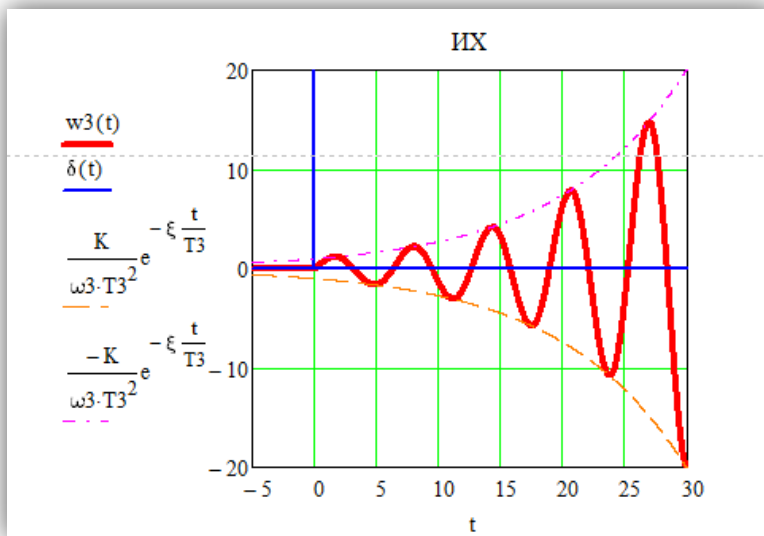


Рис 24.

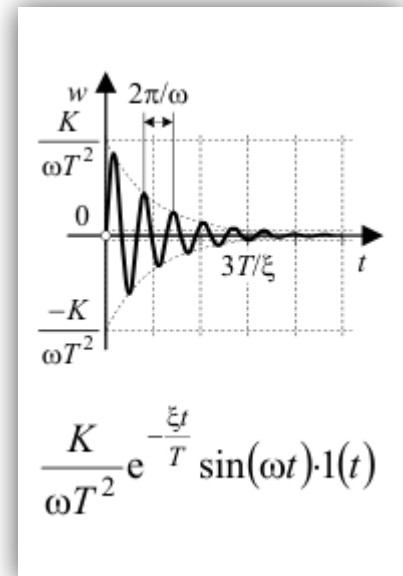


Рис 25.

При уменьшении модуля параметра T , график вытягивается вдоль оси ординат и сжимается вдоль оси абсцисс. Изменение знака параметра T , приводит к расходимости графика – в характеристическом полиноме появляются положительные корни.

Проверим правильность построения графика по таблице «Приложение 1. Частотные и временные характеристики типовых звеньев» (Рис 25). График построен верно.

❖ Переходная характеристика:

$$h(t) = L^{-1} \left(\frac{W(s)}{s} \right) = L^{-1} \left(\frac{K}{s(1 + 2\xi Ts + T^2 s^2)} \right) =$$

$$= K * L^{-1} \left(\frac{1}{s(1 + 2\xi Ts + T^2 s^2)} \right)$$

По таблице обратного преобразования Лапласа, изображение $F(s) = \frac{1}{s(1 + 2\xi Ts + T^2 s^2)}$ соответствует оригиналу $f(t) = 1 - Ce^{-\beta t} \sin(\omega t + \varphi)$, где

$$C = \frac{1}{\omega T}; \quad \beta = \frac{\xi}{T}; \quad \omega T = \sqrt{1 - \xi^2}; \quad \varphi = \arctg \left(\frac{\omega}{\beta} \right) = \arctg \left(\frac{\omega T}{\xi} \right) =$$

$$= \arctg \left(\frac{\sqrt{1 - \xi^2}}{\xi} \right)$$

$$h(t) = K \left(1 - \frac{e^{-\frac{\xi}{T}t}}{\omega T} \sin \left(\omega t + \arctg \left(\frac{\sqrt{1 - \xi^2}}{\xi} \right) \right) \right)$$

При $K=1, \xi=0.1$

$$\arctg \left(\frac{\sqrt{1 - \xi^2}}{\xi} \right) = 0,78 \text{ рад} \quad \omega T = \sqrt{1 - \xi^2} = 0,99 \rightarrow \omega = 0,99/T$$

$$h(t) = 1 - \frac{e^{-\frac{0.1}{T}t}}{\omega T} \sin(\omega t + 0,78)$$

$$h1(t) = 1 - \frac{e^{-\frac{0.1}{T1}t}}{\omega T1} \sin(\omega t + 0,78) = 1 - 1,01e^{-0.1t} \sin(0,99t + 0,78)$$

$$h2(t) = 1 - \frac{e^{-\frac{0.1}{T2}t}}{\omega T2} \sin(\omega t + 0,78) = 1 - 10,1e^{-t} \sin(9,9t + 0,78)$$

$$h3(t) = 1 - \frac{e^{-\frac{0.1}{T3}t}}{\omega T3} \sin(\omega t + 0,78) = 1 + 1,01e^{0.1t} \sin(-0,99t + 0,78)$$

$$ty1 := \frac{3T1}{\xi} \text{ float,3 } \rightarrow 30.0$$

$$ty2 := \frac{3T2}{\xi} \text{ float,3 } \rightarrow 3.0$$

$$\underline{h1(t)} := h1(t) \cdot \Phi(t)$$

$$\underline{h2(t)} := h2(t) \cdot \Phi(t)$$

$$\underline{h3(t)} := h3(t) \cdot \Phi(t)$$

$$h01 := \lim_{t \rightarrow 0} h1(t) \rightarrow 0 \quad hy1 := \lim_{t \rightarrow \infty} h1(t) \rightarrow 1.0$$

$$h02 := \lim_{t \rightarrow 0} h2(t) \rightarrow 0 \quad hy2 := \lim_{t \rightarrow \infty} h2(t) \rightarrow 1.0$$

$$\Delta 1h := |hy1 - h01| \cdot 5\% \text{ float,3 } \rightarrow 0.05$$

$$\Delta 2h := |hy2 - h02| \cdot 5\% \text{ float,3 } \rightarrow 0.05$$

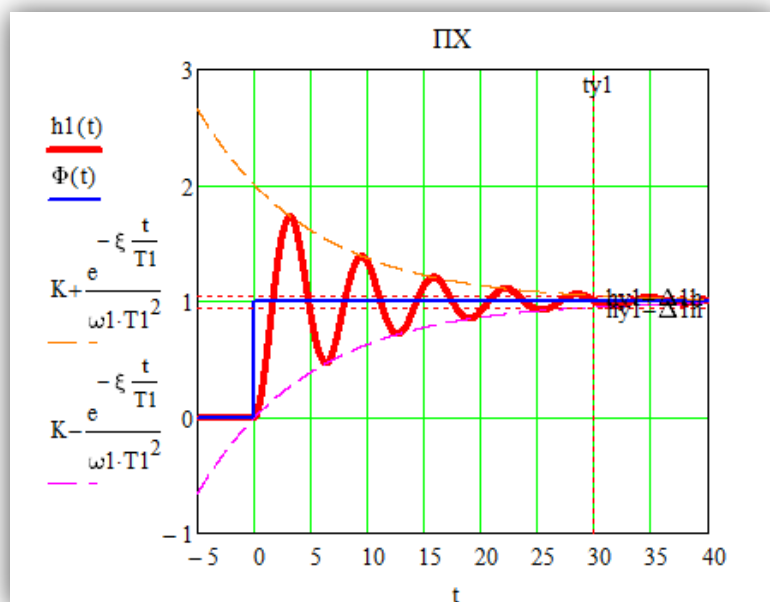


Рис 26.

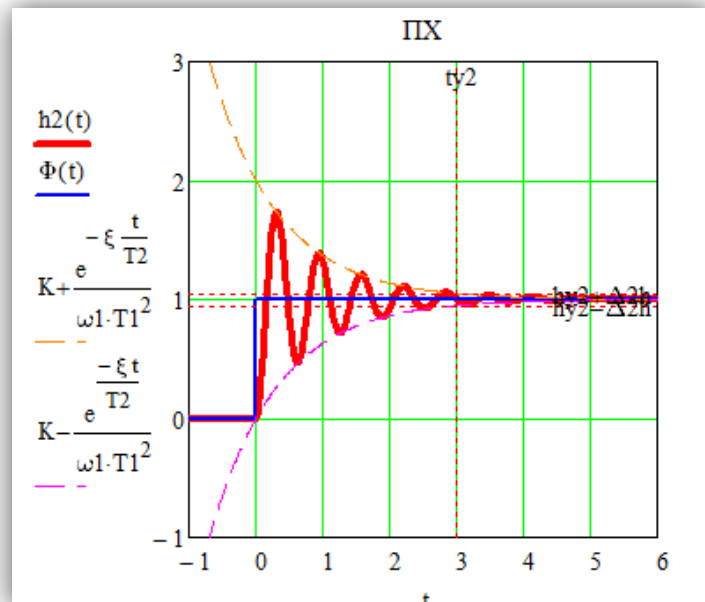


Рис 27.

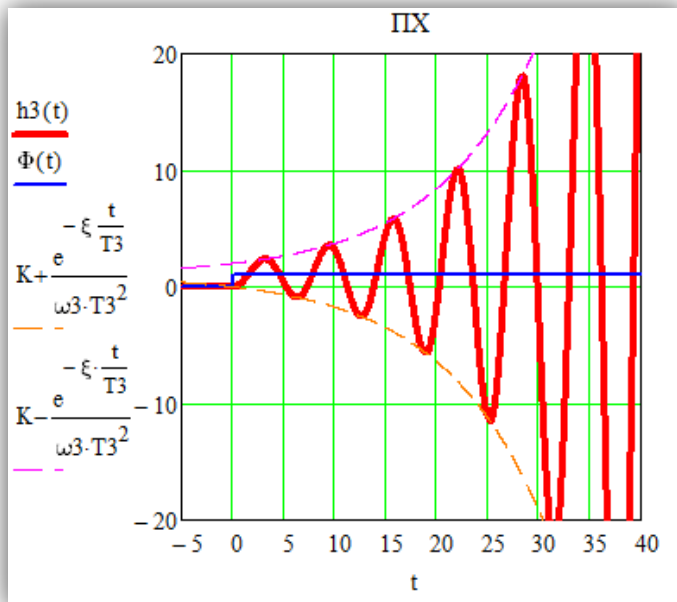


Рис 28.

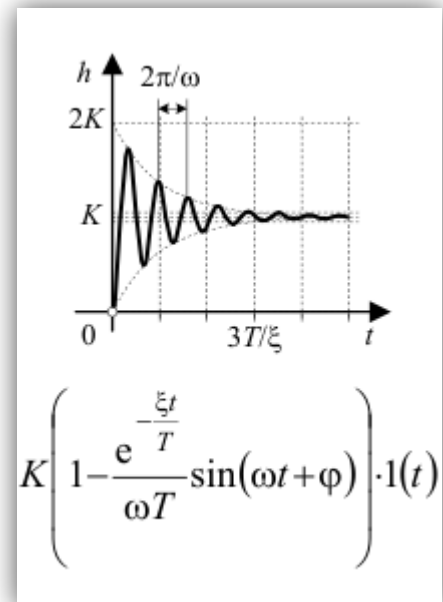


Рис 29.

При уменьшении параметра T , график сжимается вдоль оси абсцисс. Изменение знака параметра T , приводит к расходимости графика.

Проверим правильность построения графика по таблице «Приложение 1. Частотные и временные характеристики типовых звеньев» (Рис 29). График построен верно.

1.2.4 Синтез схемы на операционном усилителе

❖ $T=1$

Передаточная функция:

$$W_6(1,1,0.1) = \frac{1}{1 + 0.2s + s^2}$$

Вычислим суммы коэффициентов усиления по прямому и инверсному входам

$$S_1(s) = \frac{1}{1 + 0.2s + s^2} \quad S_2(s) = 0$$

Условие баланса:

$$S_1(s) = S_2(s) + 1$$

$$\frac{1}{1 + 0.2s + s^2} \neq 0 + 1$$

Условие баланса не выполняется, значит нужно подобрать передаточные функции $W_{10}(s)$ и $W_{20}(s)$ с положительными коэффициентами, удовлетворяющие условию

$$S_1(s) + W_{10}(s) = S_2(s) + 1 + W_{20}(s)$$

$$\frac{1}{1 + 0.2s + s^2} + W_{10}(s) = 1 + W_{20}(s)$$

Для оптимальной схемы (в целях экономии сопротивления Z_{20}) предположим $W_{20}(s) = 0$.

$$W_{10}(s) = 1 - \frac{1}{1 + 0.2s + s^2} = \frac{0.2s + s^2}{1 + 0.2s + s^2}$$

Полиномы числителя и знаменателя с положительными коэффициентами, следовательно, предположение верно и $W_{20}(s) = 0$.

Эскизная схема имеет вид:

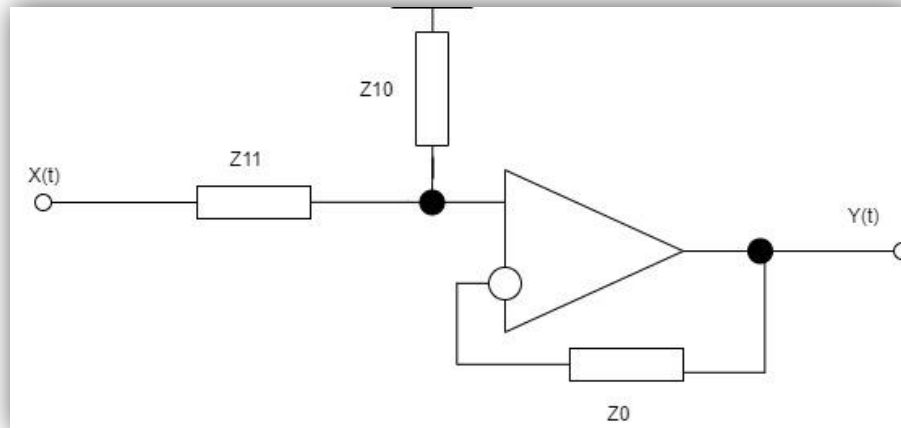


Рис 30.

Для инверсного входа:

$$W_0 * Z_0 = const$$

$$1 * Z_0 = const$$

1. В качестве константы можно взять любое неотрицательное число. Возьмем константу равную нулю, тогда сопротивление $Z_0 = 0$ Ом.

2. Z_0 можно заменить проводом, поскольку входное сопротивление идеального ОУ бесконечно велико, и входной ток равен нулю.

Для прямого входа:

$$W_{10} * Z_{10} = W_{11} * Z_{11} = const$$

$$\frac{0.2s + s^2}{1 + 0.2s + s^2} * Z_{10} = \frac{1}{1 + 0.2s + s^2} * Z_{11} = const$$

$$(0.2s + s^2) * Z_{10} = Z_{11} = const$$

$$s(0.2 + s) * Z_{10} = Z_{11}$$

Возьмём Z_{10} равное сопротивлению конденсатора $= \frac{1}{C_{10}s}$, так как при таком выборе в уравнении сократится s .

$$Z_{11} = \frac{s(0.2 + s)}{C_{10} * s} = \frac{(0.2 + s)}{C_{10}}$$

Последовательное соединение резистора и индуктивности равно $R+Ls$. Сопротивление индуктивности равно Ls .

$$Z_{11} = \frac{(0.2 + s)}{C_{10}} = \frac{0.2}{C_{10}} + \frac{s}{C_{10}} = R_{11} + L_{11}$$

$$R_{11} = \frac{0.2}{C_{10}} \quad L_{11} = \frac{1}{C_{10}}$$

Возьмем $C_{10} = 10\text{мкФ}$, тогда $R_{11} = 20\text{КОм}$, $L_{11} = 100\text{КГн}$.

Итоговая схема имеет вид:

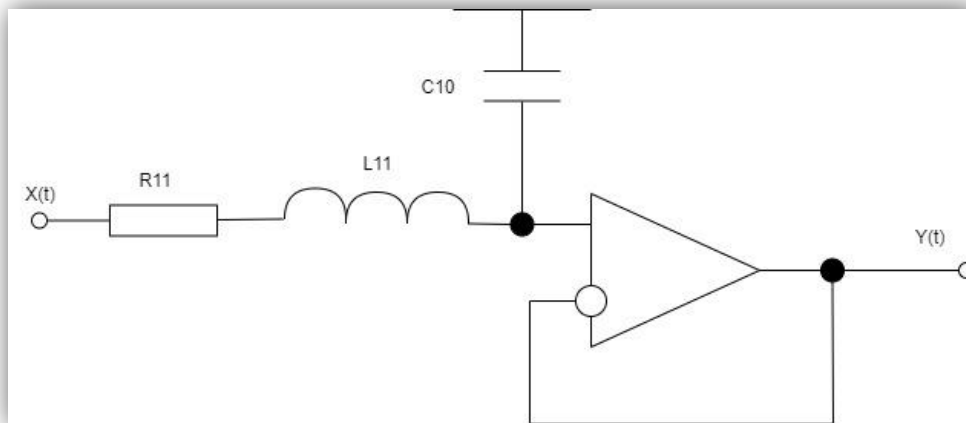


Рис 31.

Проверим правильность построения схемы по таблице «Приложение 2. Схемы каскадов на ОУ» (Рис 32). Схема соответствует строке 25, столбцу б.

№ п/п	Элементы схемы		Принципиальная схема и её передаточная функция		
	Z_1	Z_0	а) инвертирующий каскад	б) неинвертирующий каскад с входным делителем	в) неинвертирующий каскад с делителем в ООС
25	$R_1 + L_1$	C_0	$-\frac{1}{T_{10}s + \tau_{10}^2 s^2}$	$\frac{1}{1 + T_{10}s + \tau_{10}^2 s^2}$	$\frac{1 + T_{10}s + \tau_{10}^2 s^2}{T_{10}s + \tau_{10}^2 s^2}$

Рис 32.

❖ $T=0.1$

$$W_6(1,0.1,0.1) = \frac{1}{1 + 0.02s + 0.01s^2}$$

$$S_1(s) = \frac{1}{1 + 0.02s + 0.01s^2} \quad S_2(s) = 0$$

$$S_1(s) = S_2(s) + 1$$

$$\frac{1}{1 + 0.02s + 0.01s^2} \neq 0 + 1$$

Условие баланса не выполняется, значит нужно подобрать передаточные функции $W_{10}(s)$ и $W_{20}(s)$ с положительными коэффициентами, удовлетворяющие условию $S_1(s) + W_{10}(s) = S_2(s) + 1 + W_{20}(s)$

$$\frac{1}{1 + 0.02s + 0.01s^2} + W_{10}(s) = 1 + W_{20}(s)$$

Для оптимальной схемы (в целях экономии сопротивления Z_{20}) предположим $W_{20}(s) = 0$.

$$W_{10}(s) = 1 - \frac{1}{1 + 0.02s + 0.01s^2} = \frac{0.02s + 0.01s^2}{1 + 0.2s + s^2}$$

Полиномы числителя и знаменателя с положительными коэффициентами, следовательно, предположение верно и $W_{20}(s) = 0$.

Эскизная схема имеет вид:

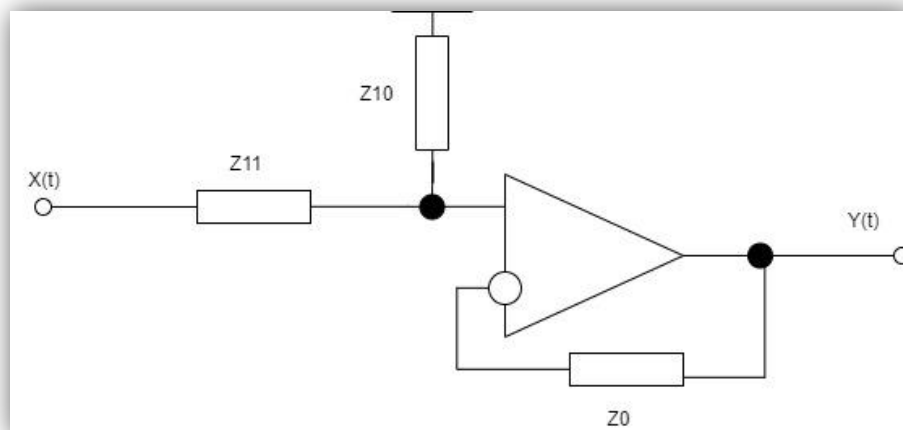


Рис 33.

Для инверсного входа:

$$W_0 * Z_0 = const$$

$$1 * Z_0 = const$$

1. В качестве константы можно взять любое неотрицательное число. Возьмем константу равную нулю, тогда сопротивление $Z_0 = 0$ Ом.

2. Z_0 можно заменить проводом, поскольку входное сопротивление идеального ОУ бесконечно велико, и входной ток равен нулю.

Для прямого входа:

$$W_{10} * Z_{10} = W_{11} * Z_{11} = const$$

$$\frac{0.02s + 0.01s^2}{1 + 0.2s + s^2} * Z_{10} = \frac{1}{1 + 0.02s + 0.01s^2} * Z_{11} = const$$

$$(0.02s + 0.01s^2) * Z_{10} = Z_{11} = const$$

$$s(0.02 + 0.01s) * Z_{10} = Z_{11}$$

Возьмём Z_{10} равное сопротивлению конденсатора $= \frac{1}{C_{10}*s}$, так как при таком выборе в уравнении сократится s .

$$Z_{11} = \frac{s(0.02 + 0.01s)}{C_{10} * s} = \frac{(0.02 + 0.01s)}{C_{10}}$$

Последовательное соединение резистора и индуктивности равно $R+Ls$. Сопротивление индуктивности равно Ls .

$$Z_{11} = \frac{(0.02 + 0.01s)}{C_{10}} = \frac{0.02}{C_{10}} + \frac{0.01s}{C_{10}} = R_{11} + L_{11}$$

$$R_{11} = \frac{0.02}{c_{10}} \quad L_{11} = \frac{0.01}{c_{10}}$$

Возьмем $C_{10} = 10\text{мкФ}$, тогда $R_{11} = 2\text{ КОм}$, $L_{11} = 10\text{КГн}$.

Итоговая схема имеет вид:

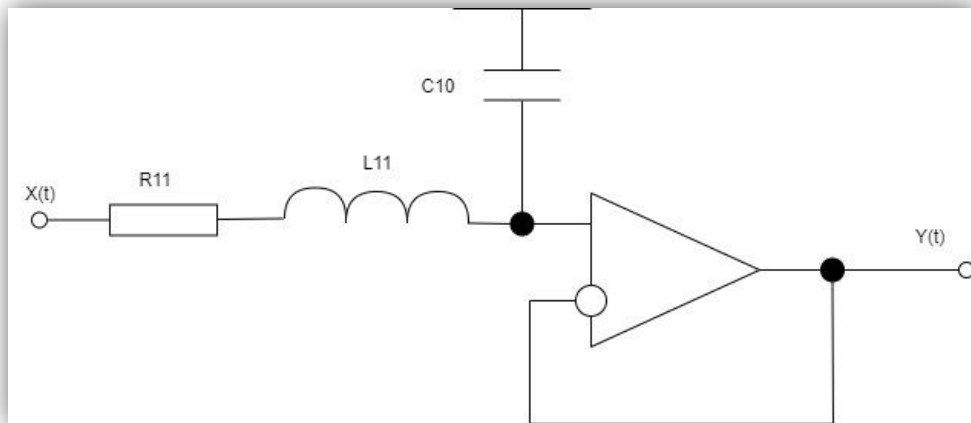


Рис 34.

1.3 Звено W1

$$W_1(K) = K \quad W_1(-2) = -2$$

1.3.1 Вывод функционального уравнения

$$Y(s) = X(s) * W(s) = X(s) * (-2)$$

$$Y(s) = -2X(s)$$

$$\underline{y(t) = 2x(t)} \text{ – алгебраическое уравнение.}$$

1.3.2 Вывод частотных характеристик

❖ Комплексная частотная характеристика:

$$C(\omega) = W(j\omega) = -2$$

❖ Вещественная частотная характеристика:

$$P(\omega) = \operatorname{Re}(C(\omega)) = \operatorname{Re}(K) = -2$$

❖ Мнимая частотная характеристика:

$$Q(\omega) = \operatorname{Im}(C(\omega)) = \operatorname{Im}(K) = 0$$

❖ Амплитудно-частотная характеристика:

$$A(\omega) = |C(\omega)| = 2$$

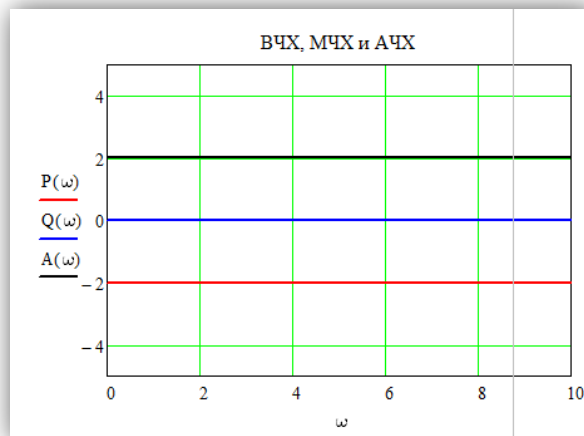


Рис 35.

❖ Логарифмическая амплитудно-частотная характеристика:

$$L(\omega) = 20 \log(A(\omega)) = 20 \log(2) = 6$$

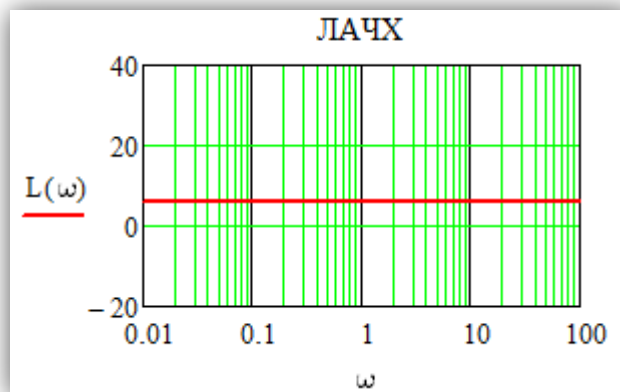


Рис 36.

❖ Логарифмическая фазо-частотная характеристика:

$$\varphi(\omega) = \operatorname{arctg} \left(\frac{Q(\omega)}{P(\omega)} \right) = \begin{cases} 0 & \text{при } K > 0 \\ \pm 180^\circ & \text{при } K < 0 \end{cases}$$

$$\varphi(\omega) := \text{atan2}(P(\omega), Q(\omega)) \cdot \text{deg}^{-1}$$

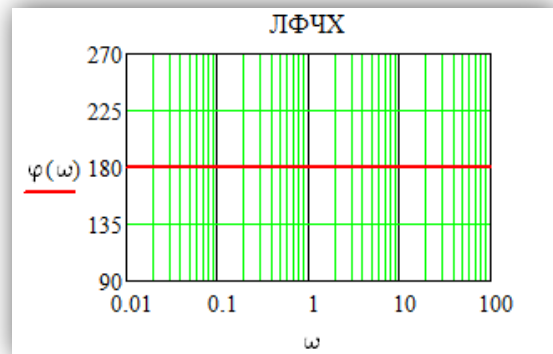


Рис 37.

❖ Годограф:

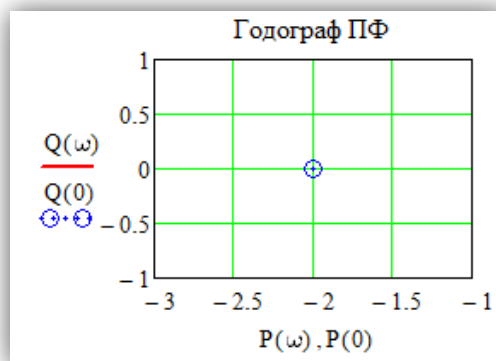


Рис 38.

1.3.3 Вывод временных характеристик

❖ Импульсная характеристика

$$w(t) = L^{-1}(W(s)) = L^{-1}(K) = K * L^{-1}(1)$$

По таблице обратного преобразования Лапласа, изображение $1(t)$ соответствует оригиналу $f(t) = \delta(t)$.

$$w(t) = -2\delta(t)$$

$$\delta(t) := \frac{0 \leq t \leq \epsilon}{\epsilon} \quad w(t) := -2\delta(t)$$

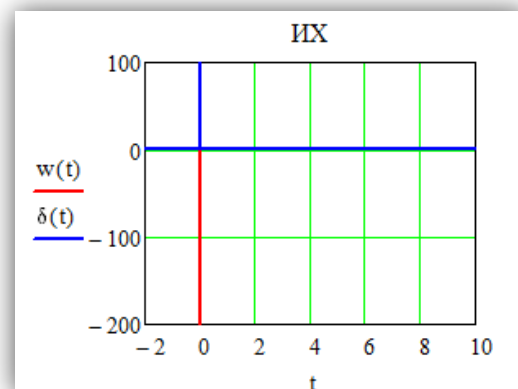


Рис 39.

❖ Переходная характеристика

$$h(t) = L^{-1} \left(\frac{W(s)}{s} \right) = L^{-1} \left(\frac{K}{s} \right) = K * L^{-1} \left(\frac{1}{s} \right)$$

По таблице обратного преобразования Лапласа, изображение $\frac{1}{s^n}$ соответствует оригиналу $f(t) = \frac{t^{n-1}}{(n-1)!}$

$$h(t) = -2 \frac{t^0}{0!} = -2$$

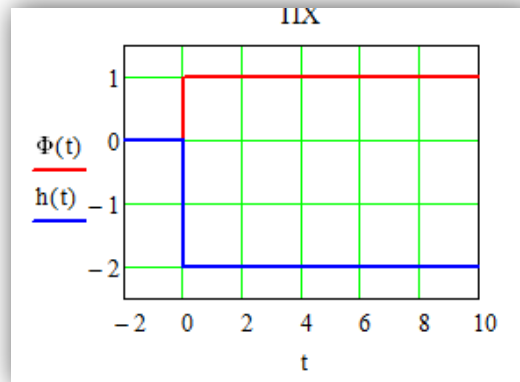


Рис 40.

1.3.4 Синтез схемы на ОУ

$$W_1(-2) = -2$$

Вычислим суммы коэффициентов усиления по прямому и инверсному входам

$$S_1(s) = 0 \quad S_2(s) = 2$$

Условие баланса:

$$S_1 = S_2 + 1$$

$$0 \neq 2 + 1$$

Условие баланса не выполняется, значит нужно подобрать передаточные функции $W_{10}(s)$ и $W_{20}(s)$ с положительными коэффициентами, удовлетворяющие условию

$$S_1(s) + W_{10}(s) = S_2(s) + 1 + W_{20}(s)$$

$$W_{10}(s) = 2 + 1 + W_{20}(s)$$

Для оптимальной схемы (в целях экономии сопротивления Z_{20}) предположим $W_{20}(s) = 0$.

$$W_{10}(s) = 3$$

$W_{10}(s) > 0$, следовательно, предположение верно и $W_{20}(s) = 0$.

Эскизная схема имеет вид:

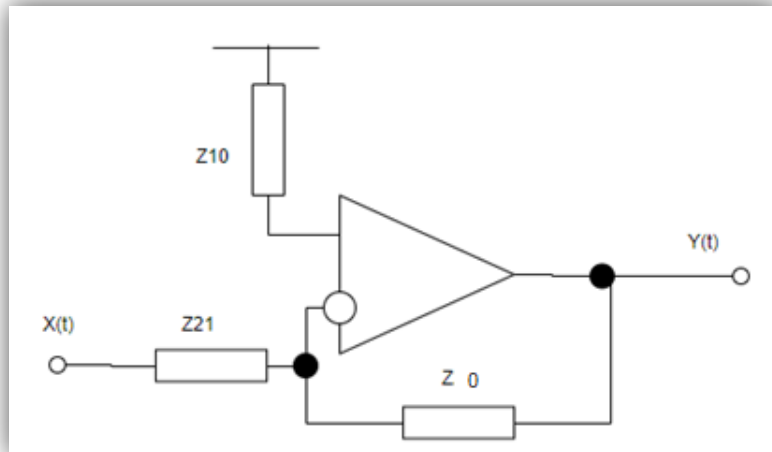


Рис 41.

Для прямого входа:

$$W_{10} * Z_{10} = const$$

$$3 * Z_{10} = const$$

1. В качестве константы можно взять любое неотрицательное число. Возьмем константу равную нулю, тогда сопротивление $Z_{10} = 0 \text{ Ом}$.

2. Z_{10} можно заменить проводом, поскольку входное сопротивление идеального ОУ бесконечно велико, и входной ток равен нулю.

Для инверсного входа:

$$W_{20} * Z_0 = W_{21} * Z_{21} = const$$

$$1 * Z_{20} = 2 * Z_{21} = const$$

$$Z_{20} = 2 * Z_{21}$$

Из полученного соотношения видно, что нужно взять:

$$Z_0 = R_0 ; Z_{21} = R_{21}$$

Пусть $R_0 = 10 \text{ кОм}$, тогда получим $R_{21} = 5 \text{ кОм}$

Итоговая схема:

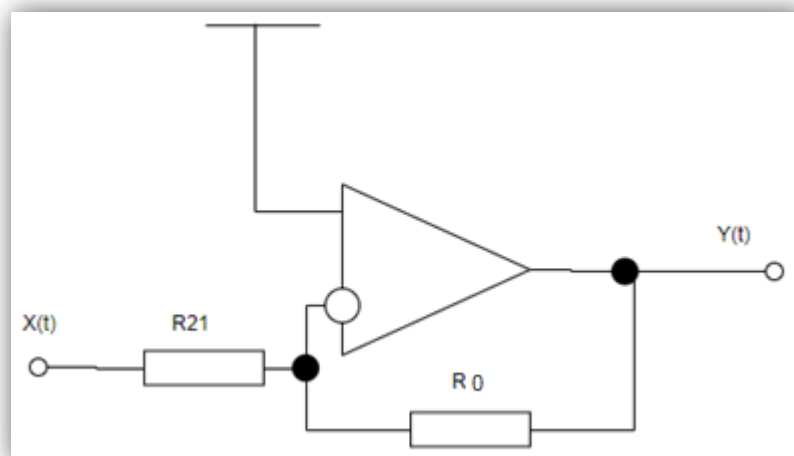
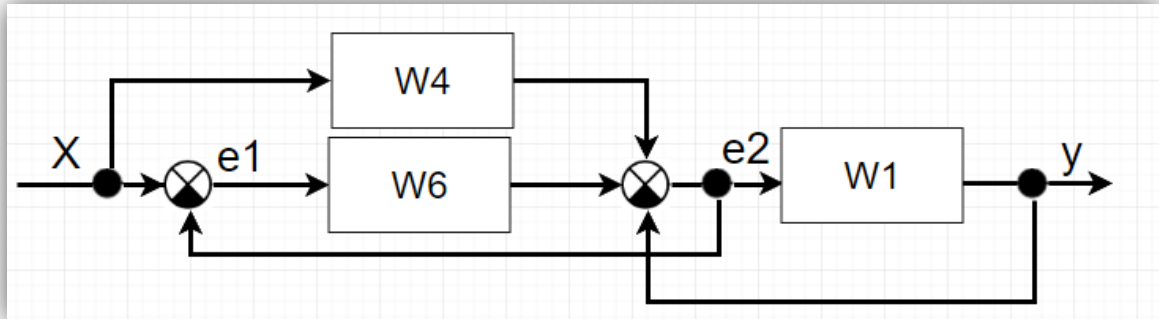


Рис 42.

2 Вывод передаточной функции разомкнутой системы

2.1 Метод алгебраических преобразований



$$\begin{cases} e_1 = x - e_2 \\ e_2 = xw_4 + e_1w_6 - y \\ y = e_2w_1 \end{cases}$$

1) Подставляем третье уравнение во второе

$$e_2 = xw_4 + e_1w_6 - e_2w_1$$

$$e_1 = \frac{e_2 - xw_4 + e_2w_1}{w_6}$$

$$e_1 = \frac{e_2(1 + w_1) - xw_4}{w_6}$$

2) Приравняем полученное выражение первому уравнению

$$\frac{e_2(1 + w_1) - xw_4}{w_6} = x - e_2$$

$$e_2(1 + w_1) - xw_4 = (x - e_2)w_6$$

$$e_2 + e_2w_1 - xw_4 = xw_6 - e_2w_6$$

$$e_2(1 + w_1 + w_6) = x(w_6 + w_4)$$

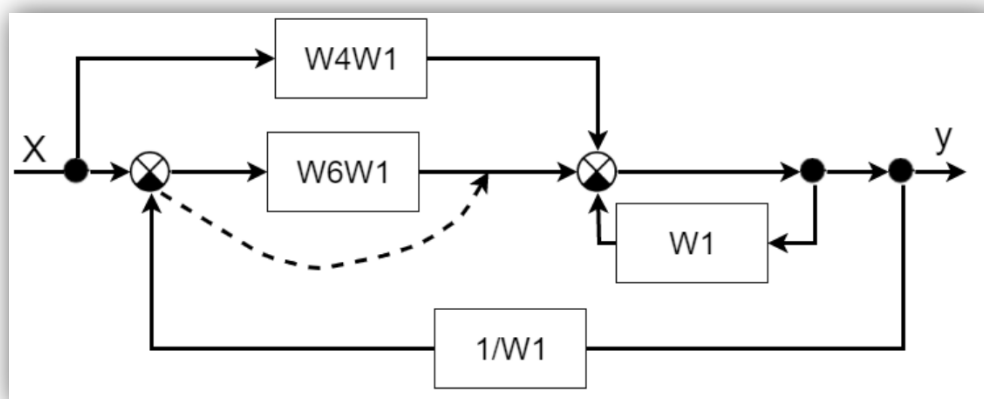
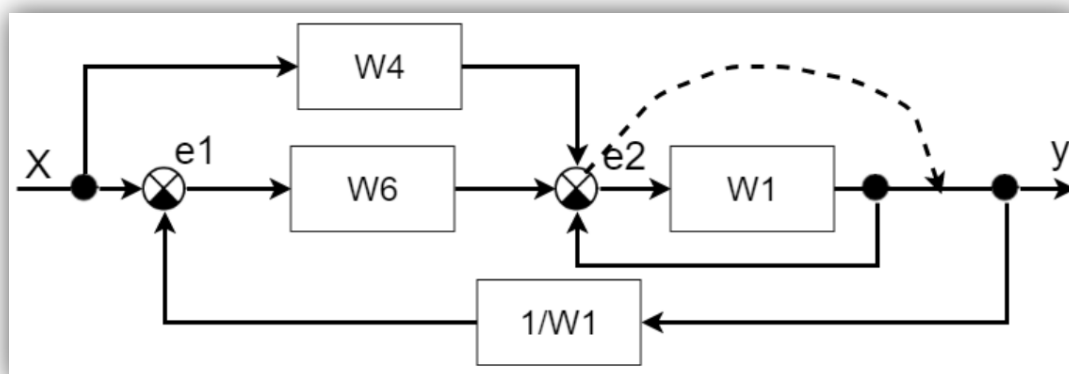
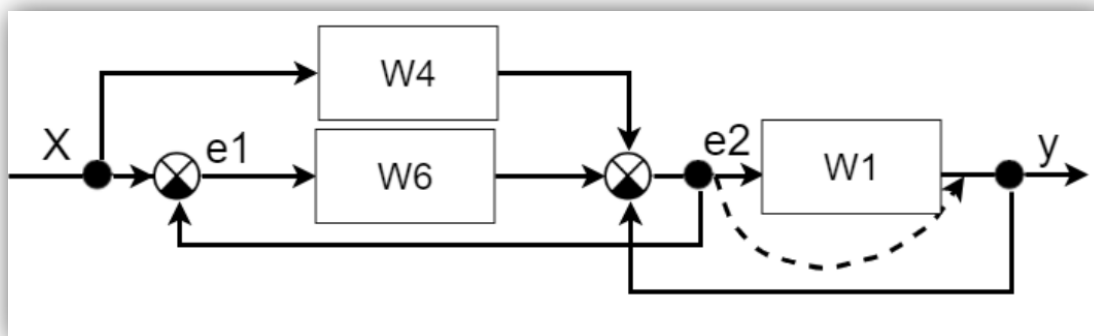
$$e_2 = \frac{x(w_6 + w_4)}{(1 + w_1 + w_6)}$$

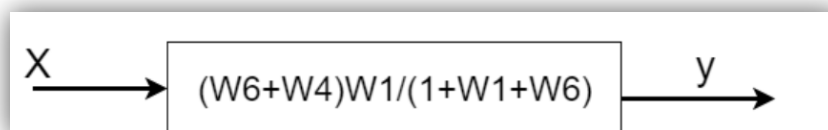
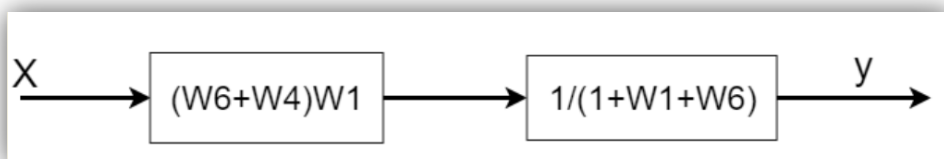
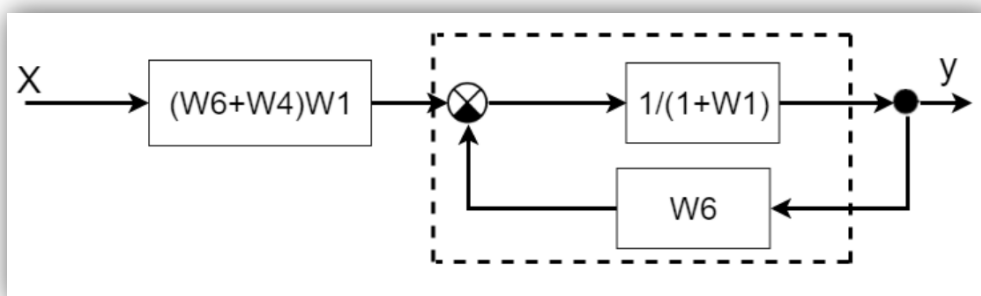
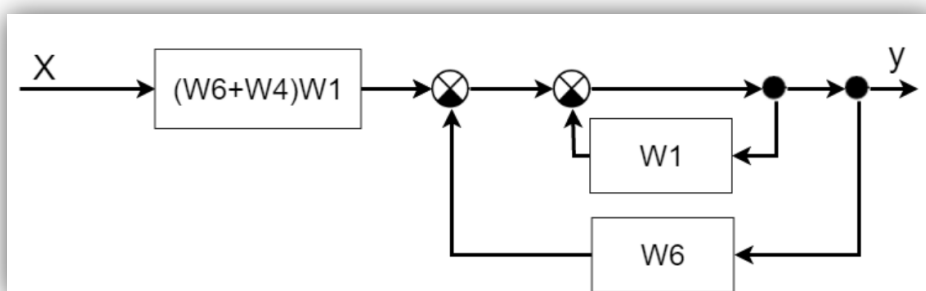
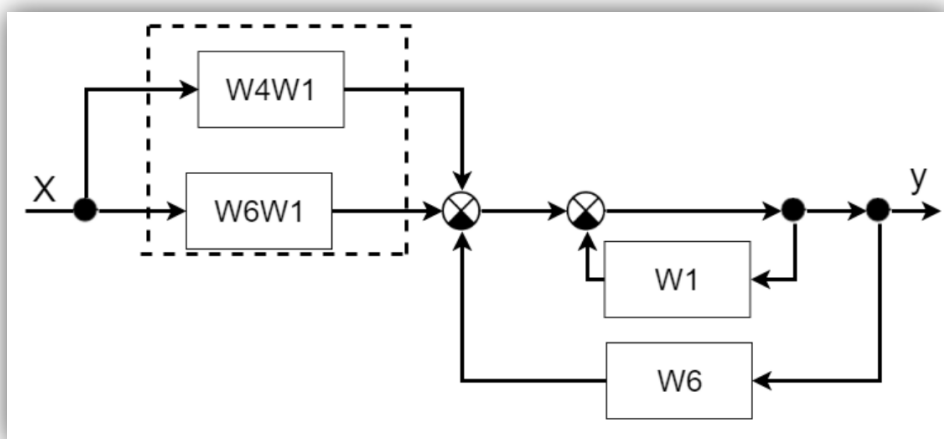
3) Подставляем полученное выражение в третье уравнение

$$y = \frac{x(w_6 + w_4)}{(1 + w_1 + w_6)} w_1$$

$$W = \frac{y}{x} = \frac{x(w_6 + w_4)w_1}{(1 + w_1 + w_6)x} = \frac{(w_6 + w_4)w_1}{(1 + w_1 + w_6)}$$

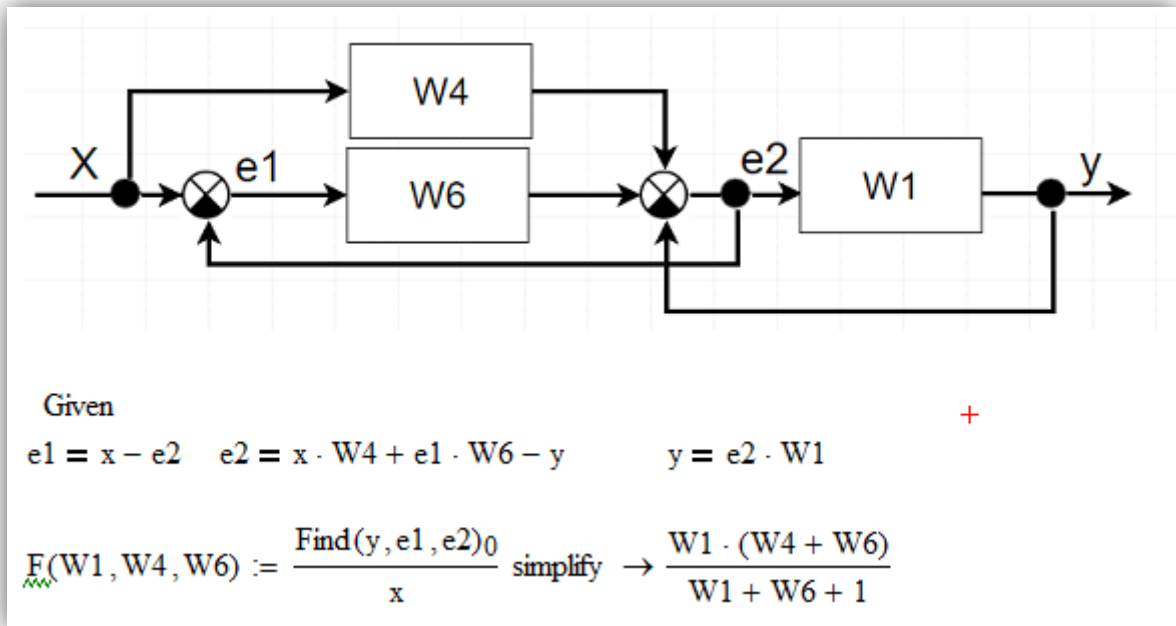
2.2 Метод схематических преобразований





Полученная передаточная функция совпадает с той, которая получена алгебраическими преобразованиями.

2.3 Проверка вычислений с помощью Mathcad



Выражение, полученное в Mathcad, совпадает с вычисленными вручную.

2.4 Подстановка в передаточную функцию разомкнутой системы передаточных функций типовых звеньев

$$W1(K) = K \quad W4(K, T) = \frac{K}{1 + Ts} \quad W6(K, T, \xi) = \frac{K}{1 + 2\xi Ts + T^2 s^2}$$

$$W1(-2) = -2 \quad W4(1, 2) = \frac{1}{1 + 2s} \quad W6(1, T, 0.1) = \frac{1}{1 + 0.2Ts + T^2 s^2}$$

Вычислим $W(s)$ с помощью Mathcad

$$Wp(s, T) := F\left(-2, \frac{1}{1 + 2 \cdot s}, \frac{1}{1 + 0.2 \cdot Ts + T^2 \cdot s^2}\right) \left| \begin{array}{l} \text{simplify} \\ \text{collect, s} \end{array} \right. \rightarrow \frac{10.0 \cdot T^2 \cdot s^2 + s \cdot (2.0 \cdot T + 20.0) + 20.0}{s^2 \cdot (5.0 \cdot T^2 + 2.0 \cdot T) + 10.0 \cdot T^2 \cdot s^3 + T \cdot s}$$

$$W(s) = \frac{20 + (20 + 2T)s + 10T^2 s^2}{Ts + (5T^2 + 2T)s^2 + 10T^2 s^3}$$

3 Исследование устойчивости разомкнутой системы от буквенного параметра

3.1 Метод Гурвица

Выделим в передаточной функции характеристический полином

$$C(s) = A(s) = Ts + (5T^2 + 2T)s^2 + 10T^2 s^3$$

Свободный член равен нулю ($c_0=0$). Это означает, что система не может быть устойчива. Найдём значения параметра T , при которых система находится на аperiodической границе устойчивости.

Матрица Гурвица для полинома третьего порядка:

$$\Gamma = \begin{pmatrix} c_2 & c_0 & 0 \\ c_3 & c_1 & 0 \\ 0 & c_2 & 0 \end{pmatrix}$$

Для устойчивости системы должно выполняться условие: $(\text{sgn}(c_n))^i M_i > 0 \forall i = 1, n$. То есть c_0, c_2 и c_3 должны быть одного знака и $M_2 > 0$.

Где M_i – миноры матрицы Гурвица:

- ❖ $M_1 = c_2$
- ❖ $M_2 = \begin{vmatrix} c_2 & c_0 \\ c_3 & c_1 \end{vmatrix} = c_2 c_1 - c_0 c_3$
- ❖ $M_3 = |\Gamma| = c_0 M_2$

- Найдём второй минор матрицы

$$M_2 = (5T^2 + 2T)T = 5T^3 + 2T^2$$

- Найдём значения T , при которых система на АГУ.

- 1) Если $c_3 > 0$, то c_2 и M_2 должны быть больше нуля.

$$\begin{cases} 10T^2 > 0 \\ 5T^2 + 2T > 0 \\ 5T^3 + 2T^2 > 0 \end{cases} \rightarrow \begin{cases} T \neq 0 \\ T < -0.4 \text{ или } T > 0 \\ -0.4 < T < 0 \text{ или } T > 0 \end{cases}$$

Решением системы является $T > 0$

- 2) Если $c_3 < 0$, тогда c_2 должен быть < 0 , M_2 должно быть > 0 .

$$\begin{cases} 10T^2 < 0 \\ 5T^2 + 2T < 0 \\ 5T^3 + 2T^2 > 0 \end{cases} \rightarrow \begin{cases} \text{нет решений} \\ -0.4 < T < 0 \\ -0.4 < T < 0 \text{ или } T > 0 \end{cases}$$

Решением системы является пустое множество.

- Определим состояние системы при $T \rightarrow 0$.

$C(s) = A(s) = Ts + (5T^2 + 2T)s^2 + 10T^2s^3$ сократим на T .

$s + (5T + 2)s^2 + 10Ts^3$ при $T \rightarrow 0$ равно $s + 2s^2$. $s_1 = 0$ $s_2 = -2$.

Положительных корней нет, значит, система на аperiodической границе устойчивости.

По критерию Гурвица:

- ❖ система неустойчива при $T < 0$,
- ❖ система на аperiodической границе устойчивости при $T \geq 0$.

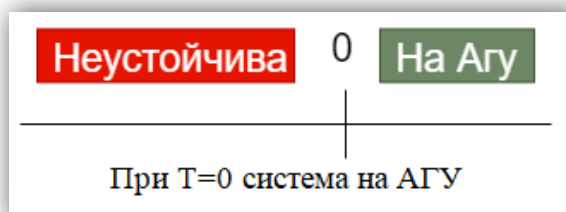


Рис 43.

3.2 Метод Михайлова

Характеристический полином

$$C(s) = A(s) = Ts + (5T^2 + 2T)s^2 + 10T^2s^3$$

Согласно критерию Михайлова, чтобы система была устойчивой, она должна удовлетворять следующим требованиям:

❖ Положительное направление вращения - при $c_0(T)$ и $c_1(T)$ одного знака: $c_0(T) * c_1(T) > 0$

❖ Поочередное пересечение осей $P(\omega)$ и $Q(\omega)$ - при $\omega_0(T) < \omega_1(T) < \omega_2(T)$

1) Свободный член равен нулю ($c_0=0$). Это означает, что система не может быть устойчива. Найдем значения параметра T , при которых система находится на апериодической границе устойчивости.

I. Если $c_0 = |\xi|$, тогда $c_1(T)$ должен быть > 0 . Это условие выполняется при $T > 0$.

$$\begin{aligned} 2) \quad Q(\omega) &= \text{Im}(C(i\omega)) = \text{Im}(|\xi| + T\omega i - (5T^2 + 2T)\omega^2 - 10T^2\omega^3 i) = \\ &= T\omega - 10T^2\omega^3 = 0 \rightarrow \omega_0(T) = 0 \quad \omega_2^2(T) = \frac{1}{10T} \end{aligned}$$

$$\begin{aligned} P(\omega) &= \text{Re}(C(i\omega)) = \text{Re}(|\xi| + T\omega i - (5T^2 + 2T)\omega^2 - 10T^2\omega^3 i) = \\ &= |\xi| - (5T^2 + 2T)\omega^2 \rightarrow \omega_1^2(T) = \frac{|\xi|}{5T^2 + 2T} \end{aligned}$$

а) Для того чтобы выполнялось условие $\omega_1^2(T) > \omega_0^2(T)$ должно быть верным неравенство $(5T^2 + 2T) > 0$

$$(5T^2 + 2T) > 0$$

$$\underline{T < -0.4 \text{ или } T > 0}$$

б) $\omega_2^2(T) > \omega_1^2(T)$

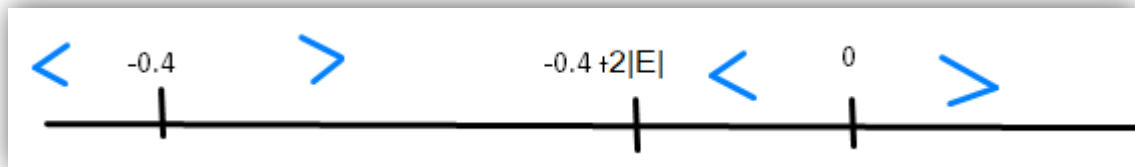
$$\frac{1}{10T} > \frac{|\xi|}{(5T^2 + 2T)}$$

$$\frac{-|\xi|}{(5T^2 + 2T)} + \frac{1}{10T} > 0$$

$$\frac{-10T|\xi| + (5T^2 + 2T)}{10T(5T^2 + 2T)} > 0$$

$$\frac{T(-10|\xi| + 5T + 2)}{10T(5T^2 + 2T)} > 0$$

$$\frac{5T - 10|\xi| + 2}{10(5T^2 + 2T)} > 0$$



$$\underline{-0.4 < T < -0.4 + 2|\xi| \text{ или } T > 0}$$

3) Найдем пересечение области I) с областями I.2.a) и I.2.b)

$$\begin{cases} T > 0 \\ T < -0.4 \text{ или } T > 0 \\ -0.4 < T < -0.4 + 2|\xi| \text{ или } T > 0 \end{cases}$$

Решением системы будет $T > 0$. Система на АГУ при $T > 0$.

II. Если $c_0 = -|\xi|$, тогда $c_1(T)$ должен быть < 0 . Это условие выполняется при $T < 0$.

$$\begin{aligned} 2) Q(\omega) &= \text{Im}(C(i\omega)) = \text{Im}(-|\xi| + T\omega i - (5T^2 + 2T)\omega^2 - 10T^2\omega^3 i) = \\ &= T\omega - 10T^2\omega^3 = 0 \rightarrow \omega_0(T) = 0 \quad \omega_2^2(T) = \frac{1}{10T} \end{aligned}$$

$$\begin{aligned} P(\omega) &= \text{Re}(C(i\omega)) = \text{Re}(-|\xi| + T\omega i - (5T^2 + 2T)\omega^2 - 10T^2\omega^3 i) = \\ &= -|\xi| - (5T^2 + 2T)\omega^2 \rightarrow \omega_1^2(T) = \frac{-|\xi|}{5T^2 + 2T} \end{aligned}$$

а) Для того чтобы выполнялось условие $\omega_1^2(T) > \omega_0^2(T)$ должно быть верным неравенство $(5T^2 + 2T) < 0$

$$(5T^2 + 2T) < 0$$

$$\underline{-0.4 < T < 0}$$

$$\text{b) } \omega_2^2(T) > \omega_1^2(T)$$

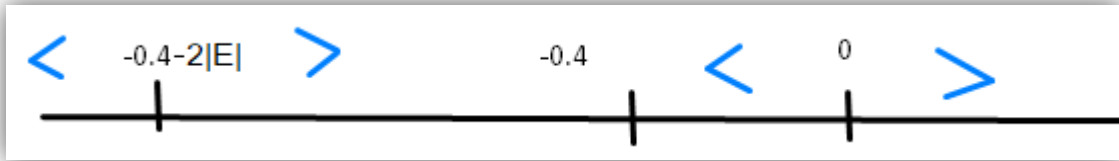
$$\frac{1}{10T} > \frac{-|\xi|}{(5T^2 + 2T)}$$

$$\frac{|\xi|}{(5T^2 + 2T)} + \frac{1}{10T} > 0$$

$$\frac{10T|\xi| + (5T^2 + 2T)}{10T(5T^2 + 2T)} > 0$$

$$\frac{T(10|\xi| + 5T + 2)}{10T(5T^2 + 2T)} > 0$$

$$\frac{5T + 10|\xi| + 2}{10(5T^2 + 2T)} > 0$$



$$-0.4 - 2|\xi| < T < -0.4 \text{ или } T > 0$$

3) Найдем пересечение области II) с областями II.2.a) и II.2.b)

$$\begin{cases} T < 0 \\ -0.4 < T < 0 \\ -0.4 - 2|\xi| < T < -0.4 \text{ или } T > 0 \end{cases}$$

При $T < 0$ система неустойчива.

- Определим состояние системы при $T \rightarrow 0$.

$C(s) = A(s) = Ts + (5T^2 + 2T)s^2 + 10T^2s^3$ сократим на T .

$s + (5T + 2)s^2 + 10Ts^3$ при $T \rightarrow 0$ равно $s + 2s^2$. $s_1 = 0$ $s_2 = -2$.

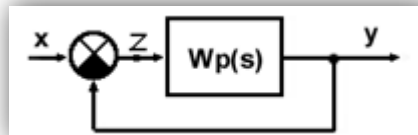
Положительных корней нет, значит, система на аperiодической границе устойчивости.

По критерию Михайлова:

- ❖ система неустойчива при $T < 0$.
- ❖ система на аperiодической границе устойчивости при $T \geq 0$.

4 Исследование устойчивости замкнутой системы от буквенного параметра

4.1 Получение передаточной функции системы, замкнутой единичной отрицательной обратной связью.



Передаточная функция системы с единичной отрицательной обратной связью имеет вид:

$$W_3(s) = \frac{W(s)}{1 + W(s)} = \frac{\frac{B}{A}}{1 + \frac{B}{A}} = \frac{\frac{B}{A}}{\frac{A+B}{A}} = \frac{B}{A+B}$$

$$W_3(s) = \frac{B}{A+B} = \frac{20 + (20 + 2T)s + 10T^2s^2}{Ts + (5T^2 + 2T)s^2 + 10T^2s^3 + 20 + (20 + 2T)s + 10T^2s^2} =$$

$$= \frac{20 + (20 + 2T)s + 10T^2s^2}{20 + (20 + 3T)s + (15T^2 + 2T)s^2 + 10T^2s^3}$$

Сверимся с результатами, полученными в Mathcad:

$$Wz(T,s) := \frac{W(T,s)}{1 + W(T,s)} \left| \begin{array}{l} \text{simplify} \\ \text{collect,s} \end{array} \right. \rightarrow \frac{10 \cdot T^2 \cdot s^2 + s \cdot (2 \cdot T + 20) + 20}{10 \cdot T^2 \cdot s^3 + s^2 \cdot (15 \cdot T^2 + 2 \cdot T) + s \cdot (3 \cdot T + 20) + 20}$$

4.2 Метод Гурвица

Выделим в передаточной функции характеристический полином

$$Cz(s) = Az(s) = 20 + (20 + 3T)s + (15T^2 + 2T)s^2 + 10T^2s^3$$

Матрица Гурвица для полинома третьего порядка:

$$\Gamma = \begin{pmatrix} c_2 & c_0 & 0 \\ c_3 & c_1 & 0 \\ 0 & c_2 & 0 \end{pmatrix}$$

Для устойчивости системы должно выполняться условие: $(\text{sgn}(c_n))^i M_i > 0 \forall i = 1, n$. То есть c_0 , c_2 и c_3 должны быть одного знака и $M_2 > 0$.

Где M_i – миноры матрицы Гурвица:

$$\begin{aligned} \diamond M_1 &= c_2 \\ \diamond M_2 &= \begin{vmatrix} c_2 & c_0 \\ c_3 & c_1 \end{vmatrix} = c_2 c_1 - c_0 c_3 \\ \diamond M_3 &= |\Gamma| = c_0 M_2 \end{aligned}$$

- Найдём второй минор матрицы

$$\begin{aligned} M_2 &= (15T^2 + 2T)(20 + 3T) - 20 * 10T^2 = \\ &= 300T^2 + 45T^3 + 40T + 6T^2 - 200T^2 = 45T^3 + 106T^2 + 40T \end{aligned}$$

- Найдём значения T , при которых система устойчива.

Так как $c_0 > 0$, то c_2 и c_3 должны быть больше нуля.

$$\begin{cases} 15T^2 + 2T > 0 \\ 10T^2 > 0 \\ 45T^3 + 106T^2 + 40T > 0 \end{cases} \rightarrow \begin{cases} T < -0.1333 \text{ или } T > 0 \\ T \neq 0 \\ -1.8837 < T < -0.4719 \text{ или } T > 0 \end{cases}$$

- Проверим граничные значения параметра

Найдём корни характеристического полинома при граничных значениях T с помощью Mathcad.

$$\begin{pmatrix} T3z \\ T2z \\ T1z \end{pmatrix} := M2z(p) \text{ solve, } p \rightarrow \begin{pmatrix} 0 \\ -0.47189421447695150974 \\ -1.8836613410786040458 \end{pmatrix}$$

❖ При T1 полином имеет два мнимых корня, значит T1-колебательная граница устойчивости.

$$zz := \text{polyroots}(Cz(T1z)) = \begin{pmatrix} -1.393824 \\ 0.635928i \\ -0.635928i \end{pmatrix}$$

❖ При T2 полином имеет два мнимых корня, значит T2-колебательная граница устойчивости.

$$zz := \text{polyroots}(Cz(T2z)) = \begin{pmatrix} -1.076176 \\ 2.888874i \\ -2.888874i \end{pmatrix}$$

❖ При T3 полином имеет один действительный левый корень, значит при T3 система устойчива.

$$zz := \text{polyroots}(Cz(T3z)) = -1$$

По критерию Гурвица:

- ❖ система неустойчива при $T < -1.8837$ или $-0.4719 < T < 0$
- ❖ система устойчива при $T \geq 0$ или $-1.8837 < T < -0.4719$
- ❖ КГУ -1,8837, -0,4719



5 Нахождение числа правых корней разомкнутой системы методом Михайлова

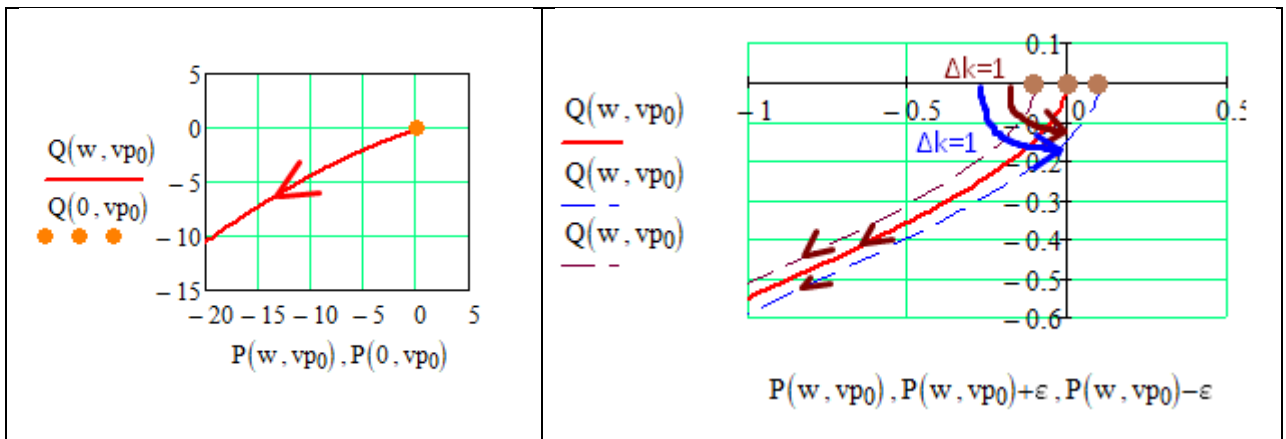
Характеристический полином $C(s) = Ts + (5T^2 + 2T)s^2 + 10T^2s^3$.
Список значений параметра $T = \{-10, -1.884, -1, -0.2, 1\}$.

$vp := \text{stack}(-10, -1.884, -1, -0.2, 1)$

Поскольку c_0 характеристического полинома равен нулю, то при всех T годограф выходит из начала координат, значит, необходим дополнительный анализ условий нейтральности ХП.

Изменим коэффициент c_0 , который в ХП равен нулю. Это будет идентично сдвигу годографа вдоль вещественной оси в положительную и отрицательную стороны на малое расстояние.

❖ $T=-10$



- При смещении на ε :

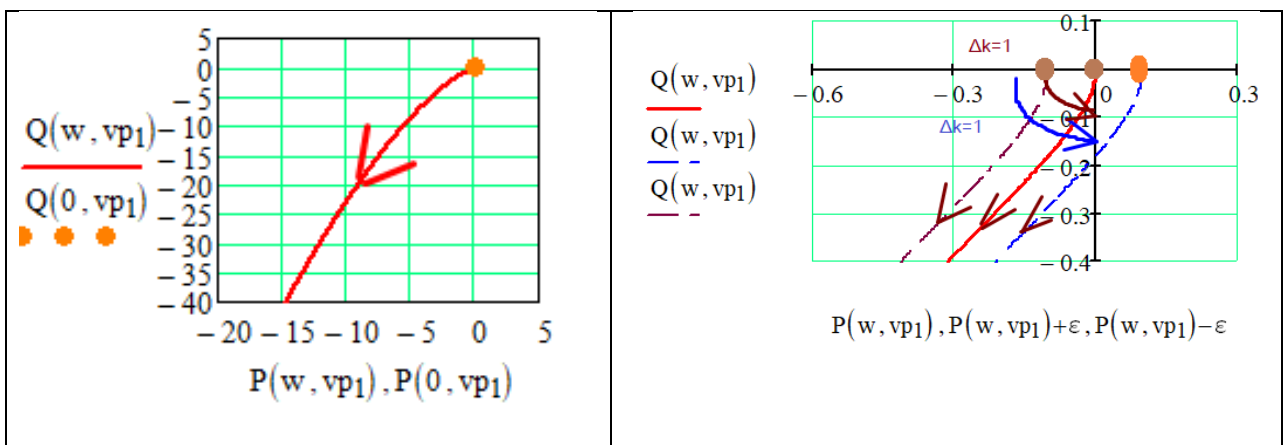
$$\Delta k = +1 \quad n_+ = \frac{n - \Delta k}{2} = \frac{3 - 1}{2} = 1$$

- При смещении на $-\varepsilon$:

$$\Delta k = +1 \quad n_+ = \frac{n - \Delta k}{2} = \frac{3 - 1}{2} = 1$$

Система неустойчива, есть один правый корень.

❖ $T=-1.884$



- При смещении на ε :

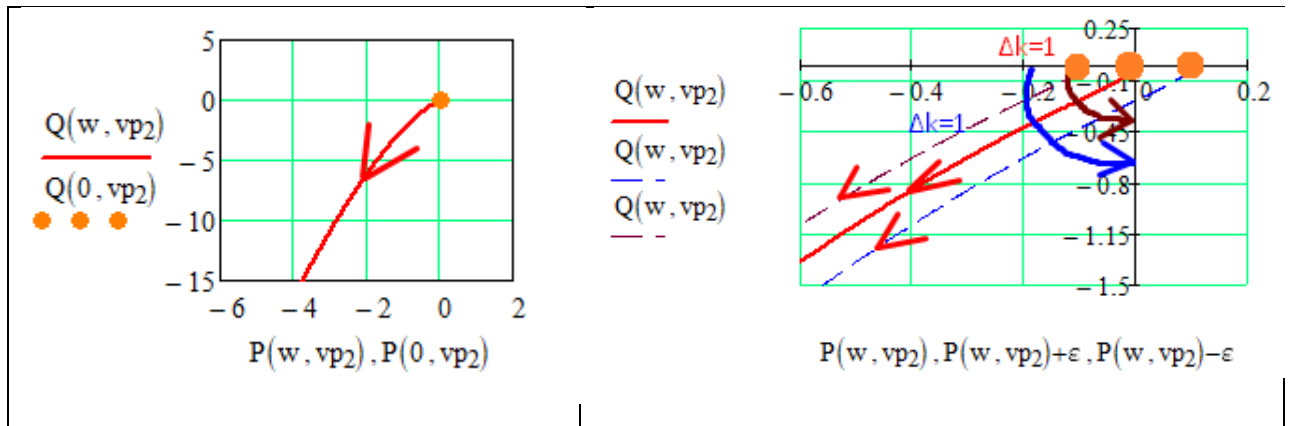
$$\Delta k = +1 \quad n_+ = \frac{n - \Delta k}{2} = \frac{3 - 1}{2} = 1$$

- При смещении на $-\varepsilon$:

$$\Delta k = +1 \quad n_+ = \frac{n - \Delta k}{2} = \frac{3 - 1}{2} = 1$$

Система неустойчива, есть один правый корень.

❖ $T=-1$



- При смещении на ε :

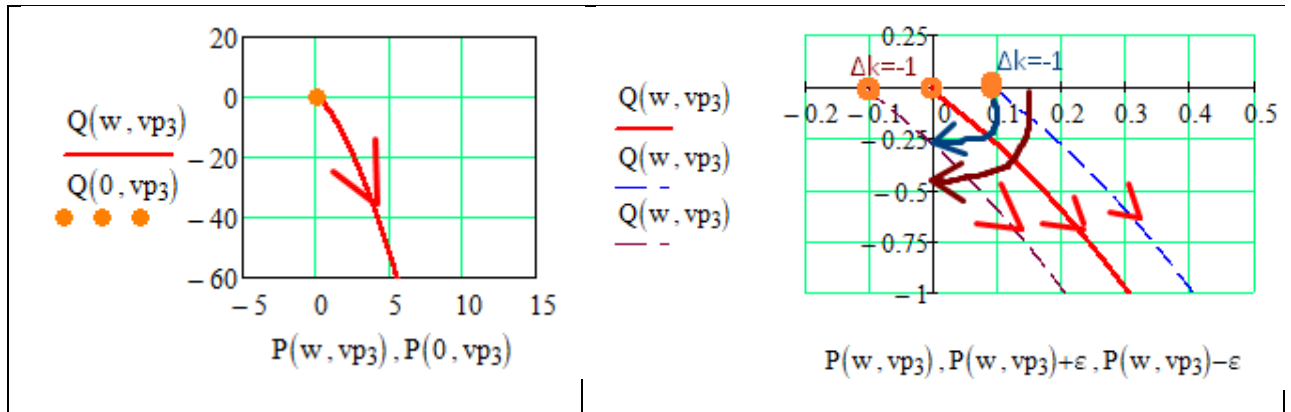
$$\Delta k = +1 \quad n_+ = \frac{n - \Delta k}{2} = \frac{3 - 1}{2} = 1$$

- При смещении на $-\varepsilon$:

$$\Delta k = +1 \quad n_+ = \frac{n - \Delta k}{2} = \frac{3 - 1}{2} = 1$$

Система неустойчива, есть один правый корень.

❖ $T=-0.2$



- При смещении на ε :

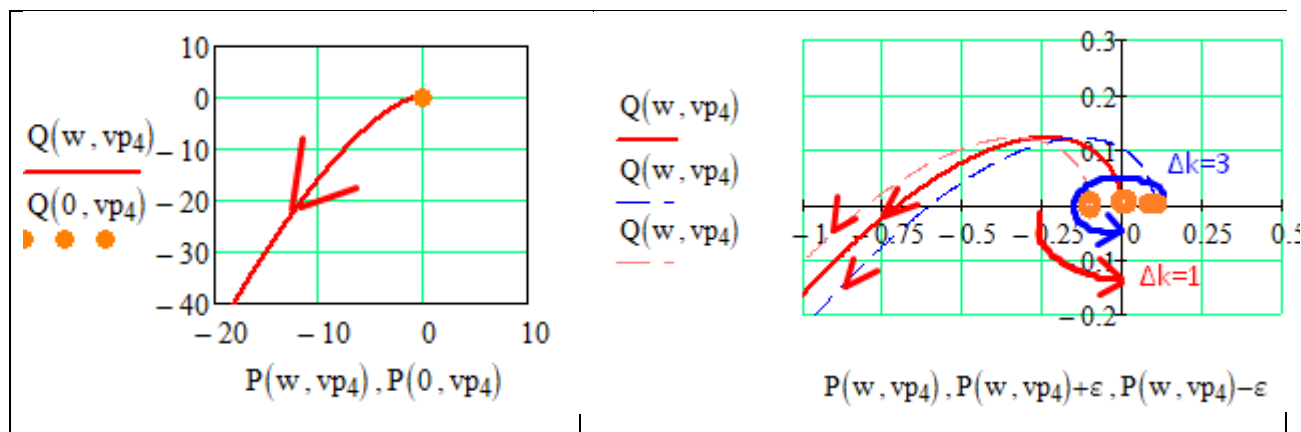
$$\Delta k = -1 \quad n_+ = \frac{n - \Delta k}{2} = \frac{3 + 1}{2} = 2$$

- При смещении на $-\varepsilon$:

$$\Delta k = -1 \quad n_+ = \frac{n - \Delta k}{2} = \frac{3 + 1}{2} = 2$$

Система неустойчива, есть два правых корня.

❖ T=1



- При смещении на ε :

$$\Delta k = +3 \quad n_+ = \frac{n - \Delta k}{2} = \frac{3 - 3}{2} = 0$$
- При смещении на $-\varepsilon$:

$$\Delta k = +1 \quad n_+ = \frac{n - \Delta k}{2} = \frac{3 - 1}{2} = 1$$

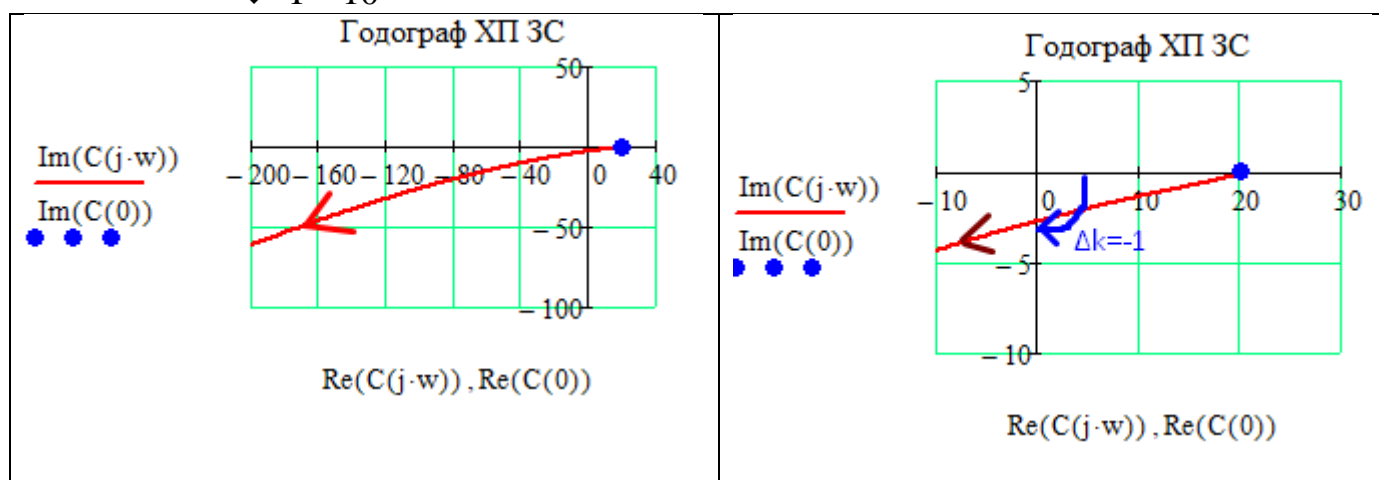
Система на АГУ. Есть один правый корень при смещении на ε , правых корней нет при смещении на $-\varepsilon$.

6 Исследование устойчивости замкнутой системы частотными методами

Для каждого значения параметра построить все необходимые частотные характеристики и исследовать устойчивость замкнутой системы по критериям Найквиста и Михайлова.

6.1 Критерий Михайлова

❖ T=-10



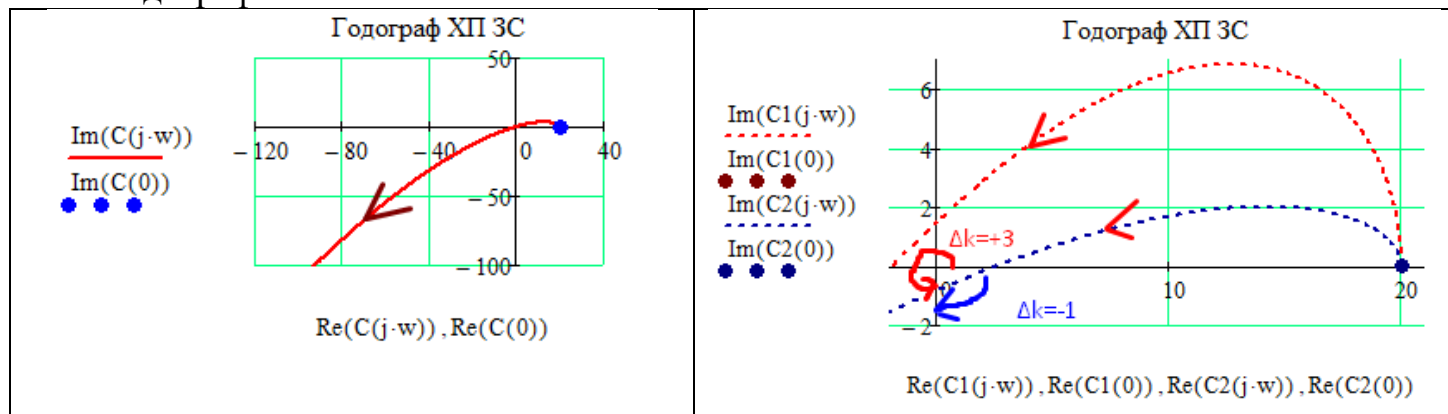
$$\Delta k = -1 \quad n_+ = \frac{n - \Delta k}{2} = \frac{3 + 1}{2} = 2$$

Система неустойчива, есть два правых корня.

$$C(s) \left| \begin{array}{l} \text{solve, } s \\ \text{float, } 6 \end{array} \right. \rightarrow \begin{pmatrix} -1.49563 \\ 0.00781355 + 0.115374i \\ 0.00781355 - 0.115374i \end{pmatrix}$$

$$\diamond T = -1.884$$

По Критерию Гурвица было вычислено, что $T \approx -1.8837$ граница устойчивости. Годограф проходит через $(0;0j)$. Построим два смещенных годографа.



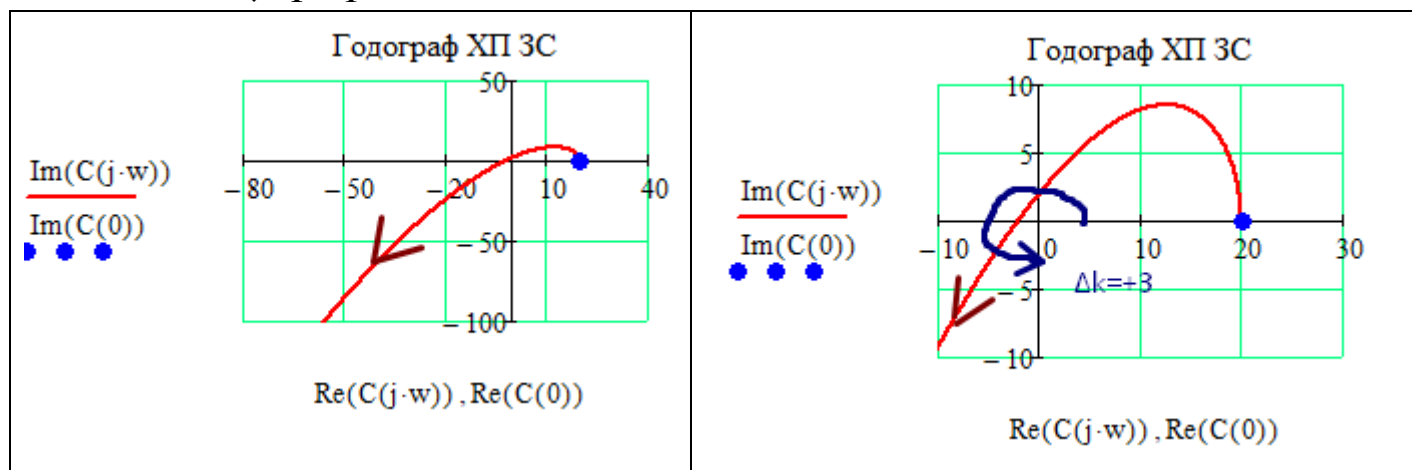
$$\Delta k_1 = -1 \quad n_+ = \frac{n - \Delta k}{2} = \frac{3 + 1}{2} = 2$$

$$\Delta k_2 = 3 \quad n_+ = \frac{n - \Delta k}{2} = \frac{3 - 3}{2} = 0$$

Система на колебательной границе устойчивости.

$$C(s) \left| \begin{array}{l} \text{solve, } s \\ \text{float, } 6 \end{array} \right. \rightarrow \begin{pmatrix} -1.39386 \\ 0.00000685829 + 0.635807i \\ 0.00000685829 - 0.635807i \end{pmatrix}$$

$$\diamond T = -1$$

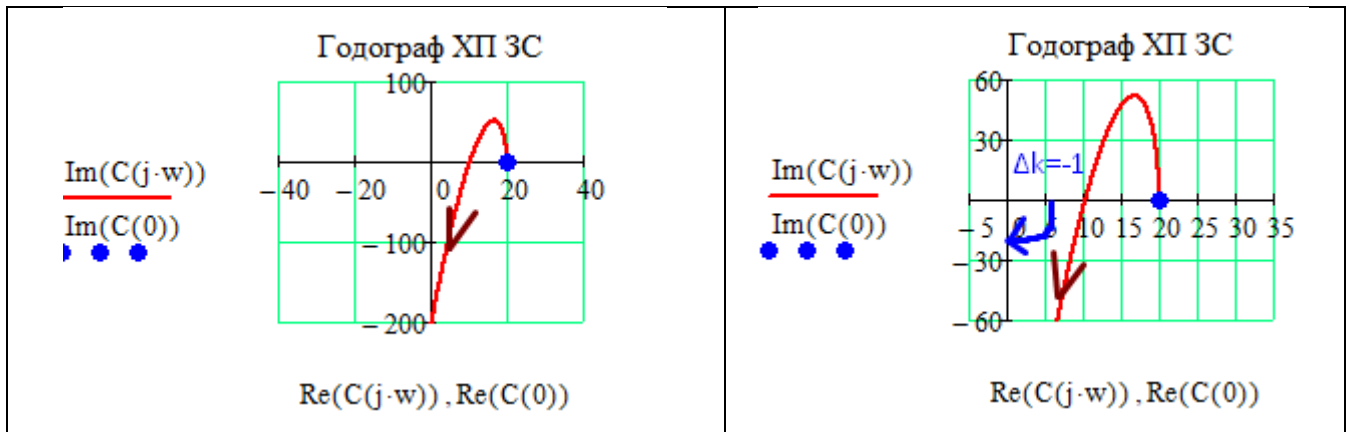


$$\Delta k = 3 n_+ = \frac{n - \Delta k}{2} = \frac{3 - 3}{2} = 0$$

Система устойчива, правых корней нет.

$$C(s) \left| \begin{array}{l} \text{solve, s} \\ \text{float, 6} \end{array} \right. \rightarrow \begin{pmatrix} -1.23488 \\ -0.0325588 + 1.27221i \\ -0.0325588 - 1.27221i \end{pmatrix}$$

❖ T=-0.2

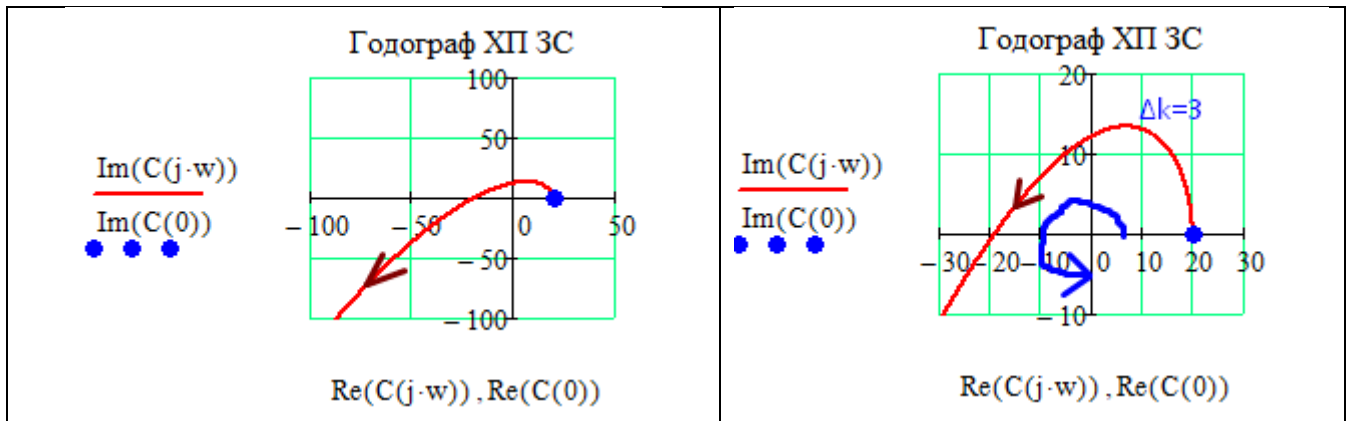


$$\Delta k = -1 n_+ = \frac{n - \Delta k}{2} = \frac{3 + 1}{2} = 2$$

Система неустойчива, есть два правых корня.

$$C(s) \left| \begin{array}{l} \text{solve, s} \\ \text{float, 6} \end{array} \right. \rightarrow \begin{pmatrix} -1.01978 \\ 0.259891 - 6.99732i \\ 0.259891 + 6.99732i \end{pmatrix}$$

❖ T=1



$$\Delta k = 3 n_+ = \frac{n - \Delta k}{2} = \frac{3 - 3}{2} = 0$$

Система устойчива, правых корней нет.

$$C(s) \left| \begin{array}{l} \text{solve, s} \\ \text{float, 6} \end{array} \right. \rightarrow \begin{pmatrix} -1.18406 \\ -0.257968 + 1.27379i \\ -0.257968 - 1.27379i \end{pmatrix}$$

6.2 Критерий Найквиста

Для устойчивости замкнутой системы сумма всех переходов годографом $W(j\omega)$, не проходящим через точку Найквиста $N=(-1;0j)$, действительной оси левее N должна быть равна $n_+/2$.

Если годограф начинается в точке Найквиста или проходит через неё, то возникает претензия на апериодическую или границу устойчивости ЗС.

Передаточная функция разомкнутой системы:

$$W(s) = \frac{20 + (20 + 2T)s + 10T^2s^2}{Ts + (5T^2 + 2T)s^2 + 10T^2s^3}$$

Годограф ПФ РС заканчивается в точке $(0;0)$, поскольку степень полинома числителя больше степени полинома знаменателя – на частоте, стремящейся к бесконечности, годограф будет проходить через точку $(0;0)$.

Поэтому к годографу ПФ РС построить «пунктирное дополнение» дуги окружности для определения охвата годографом точки Найквиста.

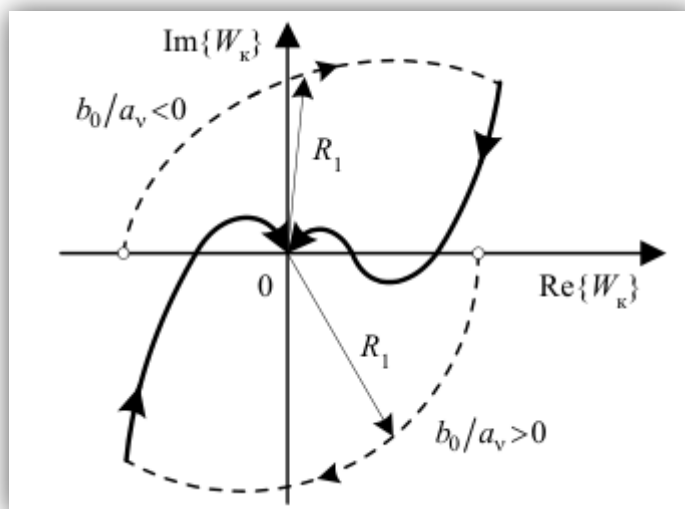


Рис 44.

❖ T=-10

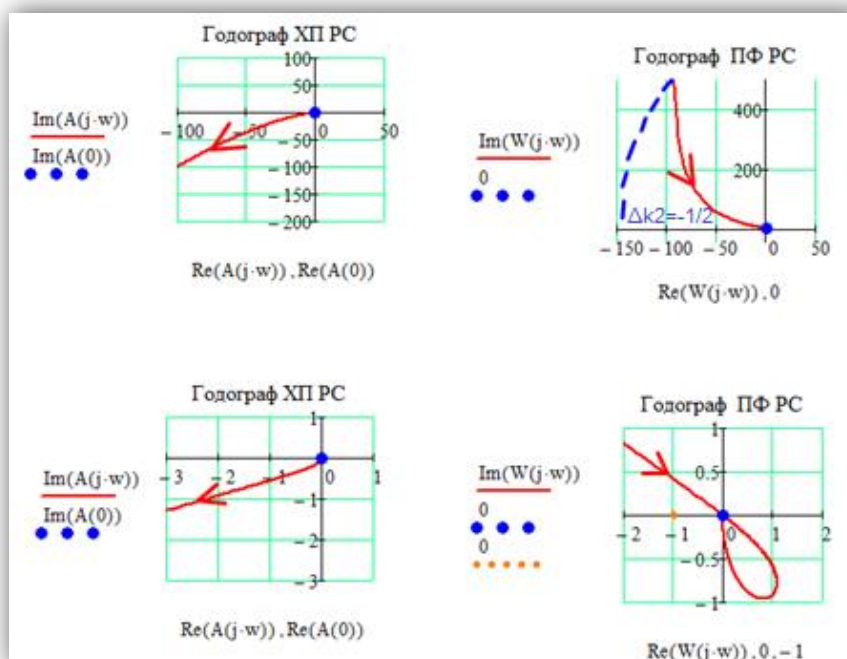


Рис 45.

Пересечения годографа ПФ РС с осью абсцисс левее точки Найквиста нет. Это означает, что $\Delta k_1 = 0$. Пунктирное дополнение даёт $\Delta k_2 = -\frac{1}{2}$. $\Delta k = \Delta k_1 + \Delta k_2 = -\frac{1}{2}$. Количество положительных корней ХП РС по Михайлову $n_+ = 1$.

$\Delta k \neq \frac{n_+}{2}$, значит ЗС неустойчива.

❖ T=-1.884

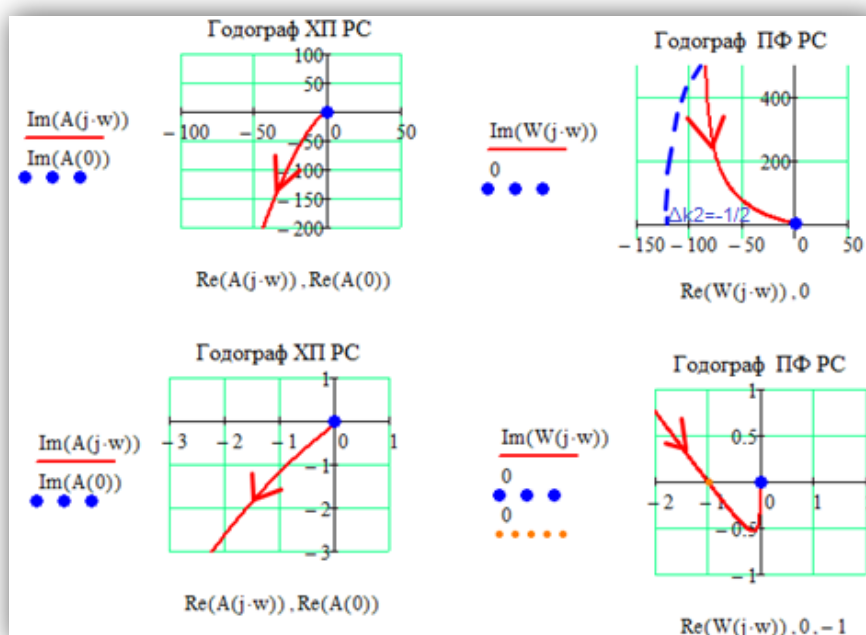


Рис 46.

Годограф проходит через точку Найквиста. ЗС может находиться на границе устойчивости. Построим два смещенных годографа.

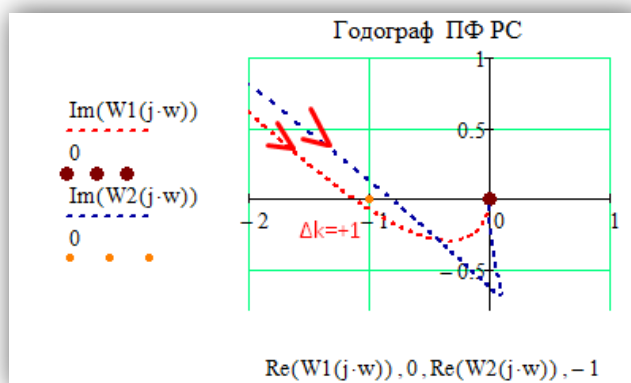


Рис 47.

Годограф, смещенный на $+\varepsilon$, проходит левее точки Найквиста 1 раз сверху вниз, значит $\Delta k_{1(+\varepsilon)} = 1$. Годограф, смещенный на $-\varepsilon$, не проходит левее точки Найквиста, значит $\Delta k_{1(-\varepsilon)} = 0$. Пунктирное дополнение даёт $\Delta k_2 = -\frac{1}{2}$.

$$\Delta k_{(+\varepsilon)} = \Delta k_{1(+\varepsilon)} + \Delta k_2 = \frac{1}{2}$$

$$\Delta k_{(-\varepsilon)} = \Delta k_{1(-\varepsilon)} + \Delta k_2 = -\frac{1}{2}$$

Количество положительных корней ХП РС по Михайлову $n_+ = 1$.

$\Delta k_{(+\varepsilon)} = \frac{n_+}{2}$, значит ЗС при смещении на $+\varepsilon$ устойчива.

$\Delta k_{(-\varepsilon)} \neq \frac{n_+}{2}$, значит ЗС при смещении на $-\varepsilon$ неустойчива.

При $T=-1.884$ ЗС находится на границе устойчивости.

❖ $T=-1$

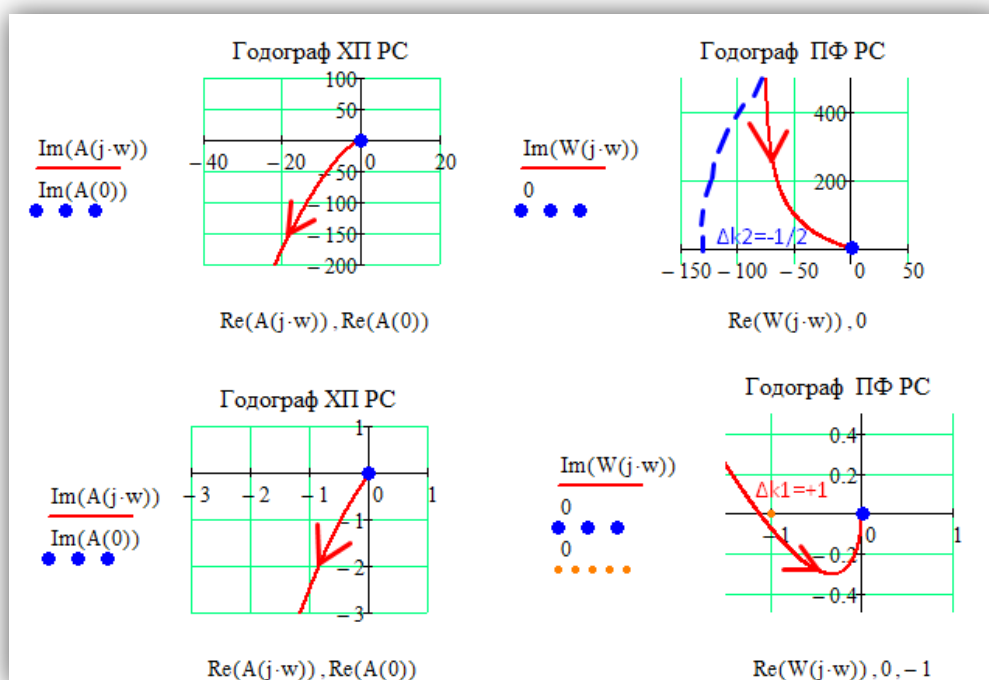


Рис 48.

$$\Delta k_1 = 1 \quad \Delta k_2 = -\frac{1}{2} \quad \Delta k = \Delta k_1 + \Delta k_2 = \frac{1}{2}.$$

Количество положительных корней ХП РС по Михайлову $n_+ = 1$.

$$\Delta k = \frac{n_+}{2}$$

При $T=-1$ ЗС устойчива.

❖ $T=-0.2$

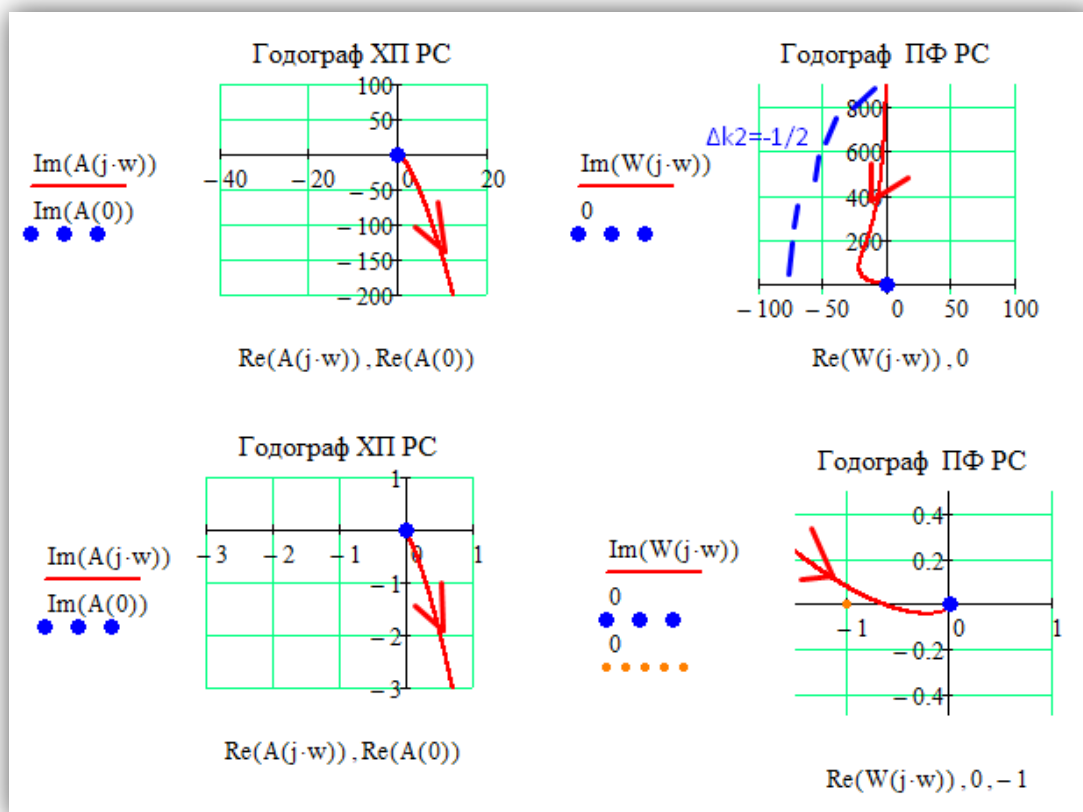


Рис 49.

$$\Delta k_1 = 0 \quad \Delta k_2 = -\frac{1}{2} \quad \Delta k = \Delta k_1 + \Delta k_2 = -\frac{1}{2}.$$

Количество положительных корней ХП РС по Михайлову $n_+ = 2$.

$$\Delta k \neq \frac{n_+}{2}$$

При $T=-0.2$ ЗС неустойчива.

❖ $T=1$

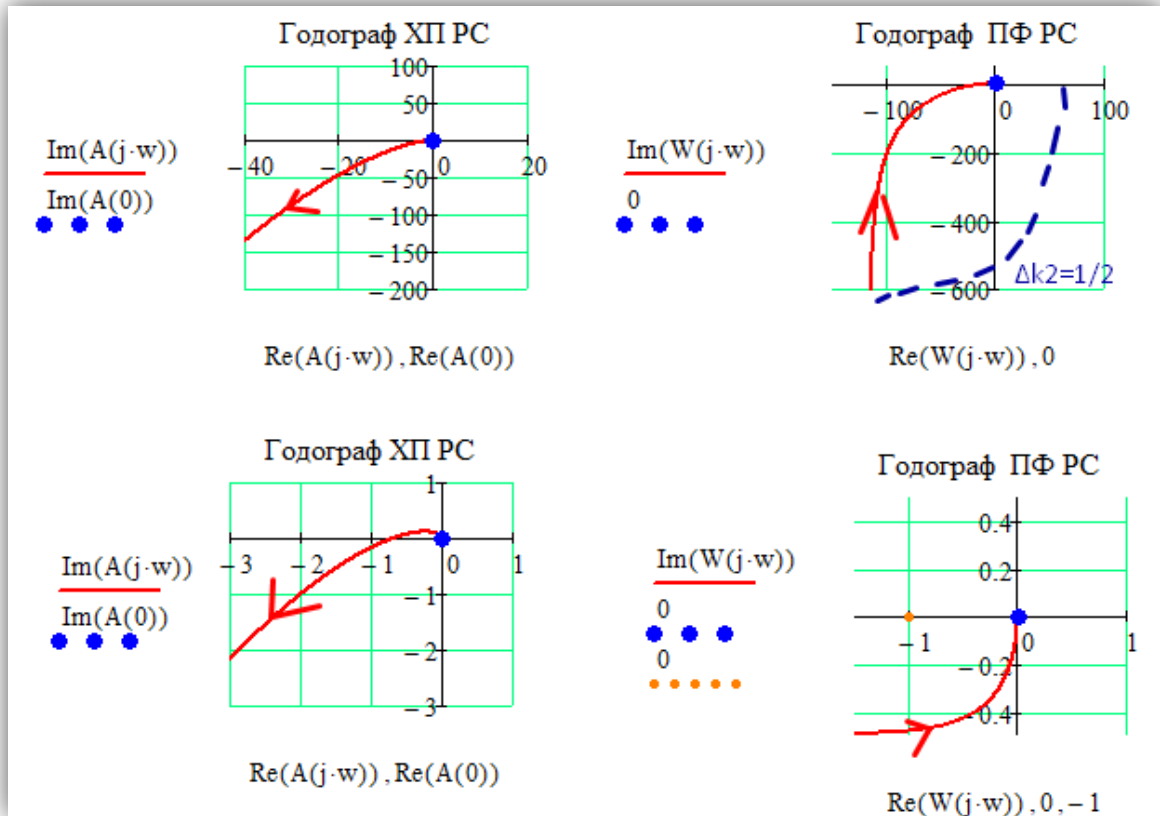


Рис 50.

$$\Delta k_1 = 0 \quad \Delta k_2 = \frac{1}{2} \quad \Delta k = \Delta k_1 + \Delta k_2 = \frac{1}{2}.$$

При $T=1$ РС находится на АГУ. При смещении на $+\varepsilon$ количество положительных корней ХП РС по Михайлову $n_+ = 0$, при смещении на $-\varepsilon$ количество положительных корней ХП РС по Михайлову $n_+ = 1$.

$\Delta k = \frac{n_+}{2}$ при смещении годографа ХП РС на $-\varepsilon$.

При $T=1$ ЗС устойчива.

6.3 Логарифмический критерий устойчивости Найквиста

Логарифмический критерий устойчивости Найквиста формулируется следующим образом: для устойчивости замкнутой системы с контурной передаточной функцией $W_k(s)$, имеющей n_+ правых полюсов, необходимо и достаточно, чтобы на интервалах частот, где $L_k(\omega) > 0$, число пересечений характеристикой $\Phi_k(\omega) > 0$ граничных уровней фазы $\varphi_{гр} = 180^\circ \pm 360^\circ$ составляло в сумме $\frac{n_+}{2}$.

Построим ЛАЧХ и ЛФЧХ ПФ РС. Также разложим ПФ на типовые звенья

❖ T=-10

$$W(s) \rightarrow \frac{1000 \cdot s^2 + 20}{1000 \cdot s^3 + 480 \cdot s^2 - 10 \cdot s} \quad z := B(s) \left| \begin{array}{l} \text{solve, } s \\ \text{float, } 6 \end{array} \right. \rightarrow \begin{pmatrix} 0.141421i \\ -0.141421i \end{pmatrix} \quad p := A(s) \left| \begin{array}{l} \text{solve, } s \\ \text{float, } 6 \end{array} \right. \rightarrow \begin{pmatrix} 0 \\ -0.5 \\ 0.02 \end{pmatrix}$$

$$W1(s) := 20 \quad W3(s) := \left(1 - \frac{s}{z_0}\right) \cdot \left(1 - \frac{s}{z_1}\right) \text{ simplify } \rightarrow 50.000251898769053403 \cdot s^2 + 1.0$$

$$W4(s) := (-10s)^{-1} \quad W5(s) := \left(1 - \frac{s}{p_1}\right)^{-1} \cdot \left(1 - \frac{s}{p_2}\right)^{-1} \text{ simplify } \rightarrow -\frac{0.01}{(s - 0.02) \cdot (s + 0.5)}$$

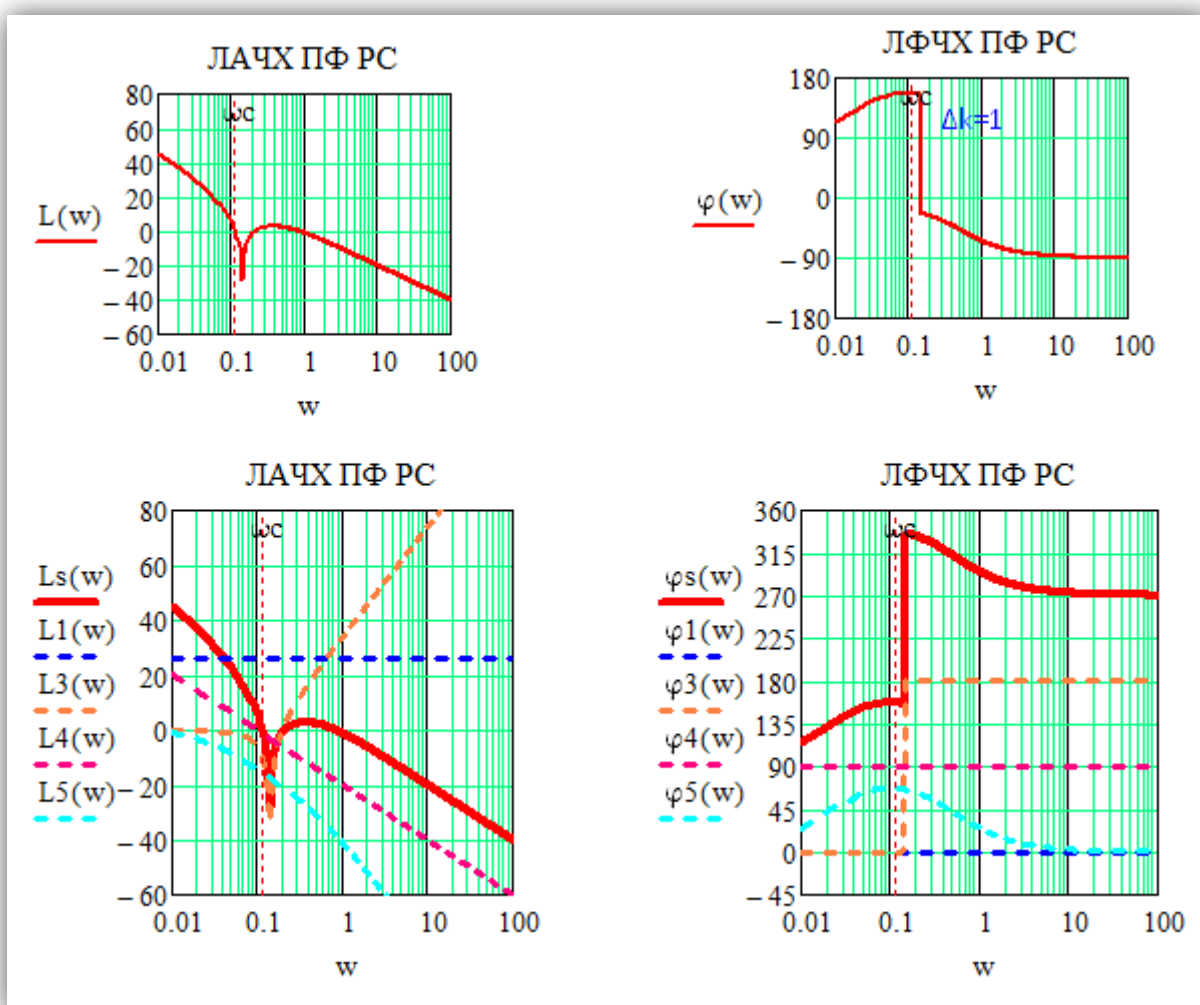


Рис 51.

ЛФЧХ ПФ РС один раз пересекает граничный уровень фазы в положительном направлении, значит $\Delta k = 1$. Количество положительных корней ХП РС по Михайлову равно $n_+ = 1$

$\Delta k \neq \frac{n_+}{2}$, значит ЗС неустойчива.

❖ $T = -1.884$

$$W(s) \rightarrow \frac{35.49456 \cdot s^2 + 16.232 \cdot s + 20}{-1.884 \cdot s + 35.49456 \cdot s^3 + 13.97928 \cdot s^2} \left| \begin{array}{l} \text{solve, } s \\ \text{float, } 6 \end{array} \right. \rightarrow \begin{pmatrix} -0.228655 - 0.71497i \\ -0.228655 + 0.71497i \end{pmatrix} \cdot p := A(s) \left| \begin{array}{l} \text{solve, } s \\ \text{float, } 6 \end{array} \right. \rightarrow \begin{pmatrix} 0 \\ -0.5 \\ 0.106157 \end{pmatrix}$$

$$W1(s) := 20 \quad W3(s) := \left(1 - \frac{s}{z_0}\right) \cdot \left(1 - \frac{s}{z_1}\right) \text{ simplify } \rightarrow 1.7747279594721234013 \cdot s^2 + 0.81160084314619675263 \cdot s + 1.0$$

$$W4(s) := (-s)^{-1} \quad W5(s) := \left(1 - \frac{s}{p_1}\right)^{-1} \cdot \left(1 - \frac{s}{p_2}\right)^{-1} \text{ simplify } \rightarrow \frac{0.0530785}{(s - 0.106157) \cdot (s + 0.5)}$$

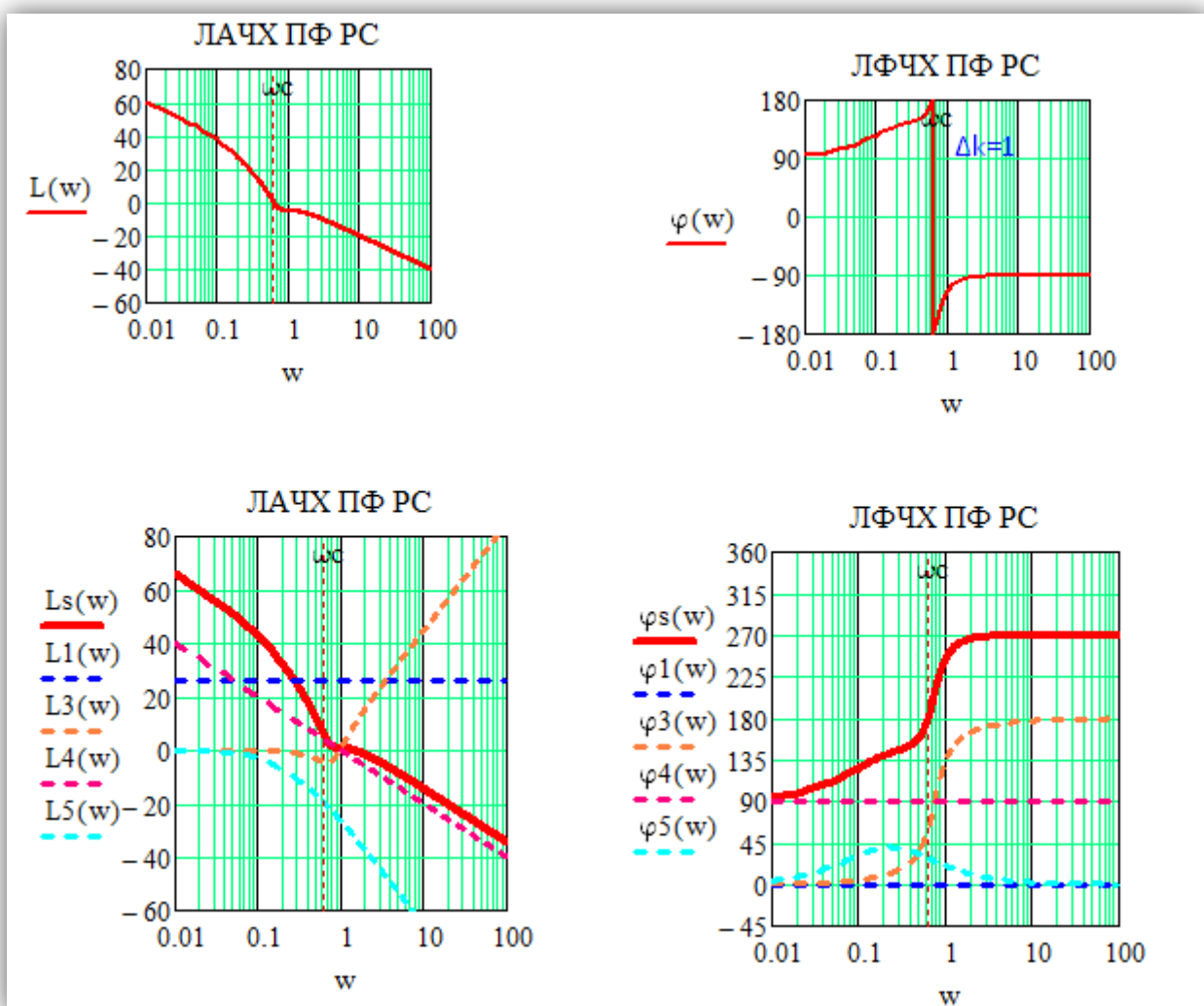


Рис 52.

ЛФЧХ ПФ РС один раз пересекает граничный уровень фазы в положительном направлении, значит $\Delta k = 1$. Количество положительных корней ХП РС по Михайлову равно $n_+ = 1$.

$\Delta k \neq \frac{n_+}{2}$, значит ЗС неустойчива.

❖ T=1

$$W(s) \rightarrow \frac{10 \cdot s^2 + 22 \cdot s + 20}{10 \cdot s^3 + 7 \cdot s^2 + s}$$

$$z := B(s) \left| \begin{array}{l} \text{solve}, s \\ \text{float}, 6 \end{array} \right. \rightarrow \begin{pmatrix} -1.1 + 0.888819i \\ -1.1 - 0.888819i \end{pmatrix} \quad p := A(s) \left| \begin{array}{l} \text{solve}, s \\ \text{float}, 6 \end{array} \right. \rightarrow \begin{pmatrix} 0 \\ -0.5 \\ -0.2 \end{pmatrix}$$

$$W1(s) := 20 \quad W3(s) := \left(1 - \frac{s}{z_0}\right) \cdot \left(1 - \frac{s}{z_1}\right) \text{ simplify } \rightarrow 0.50000019630982707507 \cdot s^2 + 1.1000004318816195651 \cdot s + 1.0$$

$$W4(s) := (s)^{-1} \quad W5(s) := \left(1 - \frac{s}{p_1}\right)^{-1} \cdot \left(1 - \frac{s}{p_2}\right)^{-1} \text{ simplify } \rightarrow \frac{1}{10.0 \cdot s^2 + 7.0 \cdot s + 1.0}$$

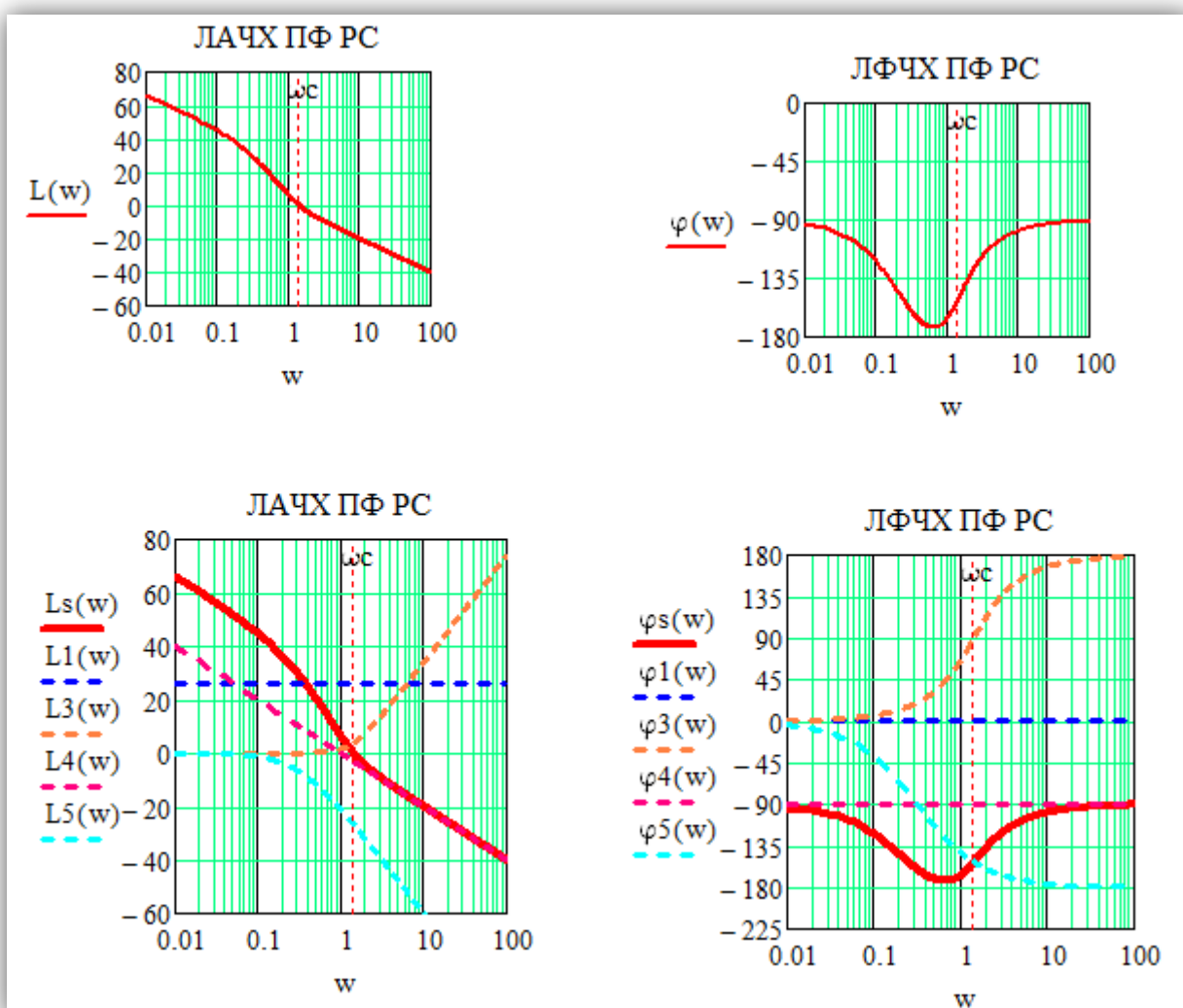


Рис 53.

ЛФЧХ ПФ РС не пересекает граничные уровни фазы, значит $\Delta k = 0$. РС при T=1 находится на АГУ. Количество положительных корней ХП РС по Михайлову при смещении на $-\varepsilon$ равно $n_+ = 0$

$\Delta k = \frac{n_+}{2}$, значит ЗС устойчива.

7 Исследование свойств разомкнутой системы

Для данного преподавателем параметра построить и исследовать каноническую схему моделирования системы на ОУ в программе Electronics WorkBench.

7.1 Описание метода канонических схем

Метод канонических схем основан на построении вспомогательной схемы с передаточной функцией:

$$W_v(s) = \frac{1}{A(s)} = \frac{V(s)}{X(s)}$$

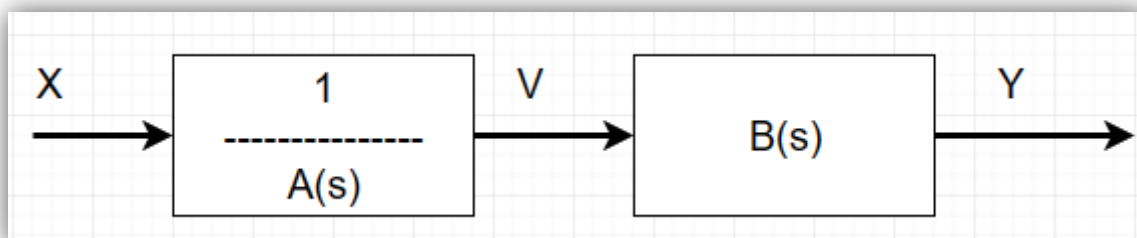
Выход $v(t)$ данной системы, удовлетворяет дифференциальному уравнению:

$$v^{(n)} = \frac{1}{a_n}x - \frac{a_{n-1}}{a_n}v^{(n-1)} - \dots - \frac{a_1}{a_n}v' - \frac{a_0}{a_n}v.$$

Соединив последовательно данную схему со схемой, обладающей передаточной функцией:

$$W(s) = B(s)$$

Получим схему:



Данный метод позволяет избавиться от недостатков методов параллельных каскадов, и последовательных каскадов:

- ❖ Возможность появления каскадов с дифференцирующими свойствами, признаком чего служит наличие оператора s в числителе передаточной функции. Это весьма нежелательно в многокаскадных схемах, т. к. даже самый слабый высокочастотный шум $A * \sin(\omega t)$, пройдя через цепочку из N дифференцирующих каскадов, многократно увеличит свою амплитуду $A * \omega * N$ пропорционально N -й степени частоты и заглушит полезную низкочастотную составляющую выходного сигнала.

- ❖ Необходимость вычисления корней полинома для получения разложений.

- ❖ Разнотипность каскадов.

- ❖ Нерегулярная структура полученной схемы.

- ❖ Трудоемкий расчет номиналов радиоэлементов принципиальной схемы.

7.2 Синтез схемы

$$W(s) = \frac{y}{x} = \frac{B(s)}{A(s)} = \frac{b_0 + b_1s + b_2s^2}{a_1s + a_2s^2 + a_3s^3}$$

$$W_v(s) = \frac{1}{A(s)} = \frac{V(s)}{X(s)}$$

$$y = B(s) * v = b_0 + b_1v' + b_2v''$$

$$W(s) = \frac{20 + 22s + 10s^2}{s + 7s^2 + 10s^3} = \frac{b_0 + b_1s + b_2s^2}{a_1s + a_2s^2 + a_3s^3}$$

$$W_v(s) = \frac{1}{s + 7s^2 + 10s^3} = \frac{V(s)}{X(s)}$$

$$v'(t) + 7v''(t) + 10v'''(t) = x(t)$$

$$v'''(t) = 0.1x(t) - 0.7v''(t) - 0.1v'(t)$$

$$y(t) = 20v(t) + 22v'(t) + 10v''(t)$$

Составим схему на инвертирующих интеграторах, тогда

$$v'''(t) = 0.1x(t) + 0.7 * (-v''(t)) - 0.1v'(t)$$

$$y(t) = -20 * (-v(t)) + 22v'(t) - 10 * (-v''(t))$$

Получим схему:

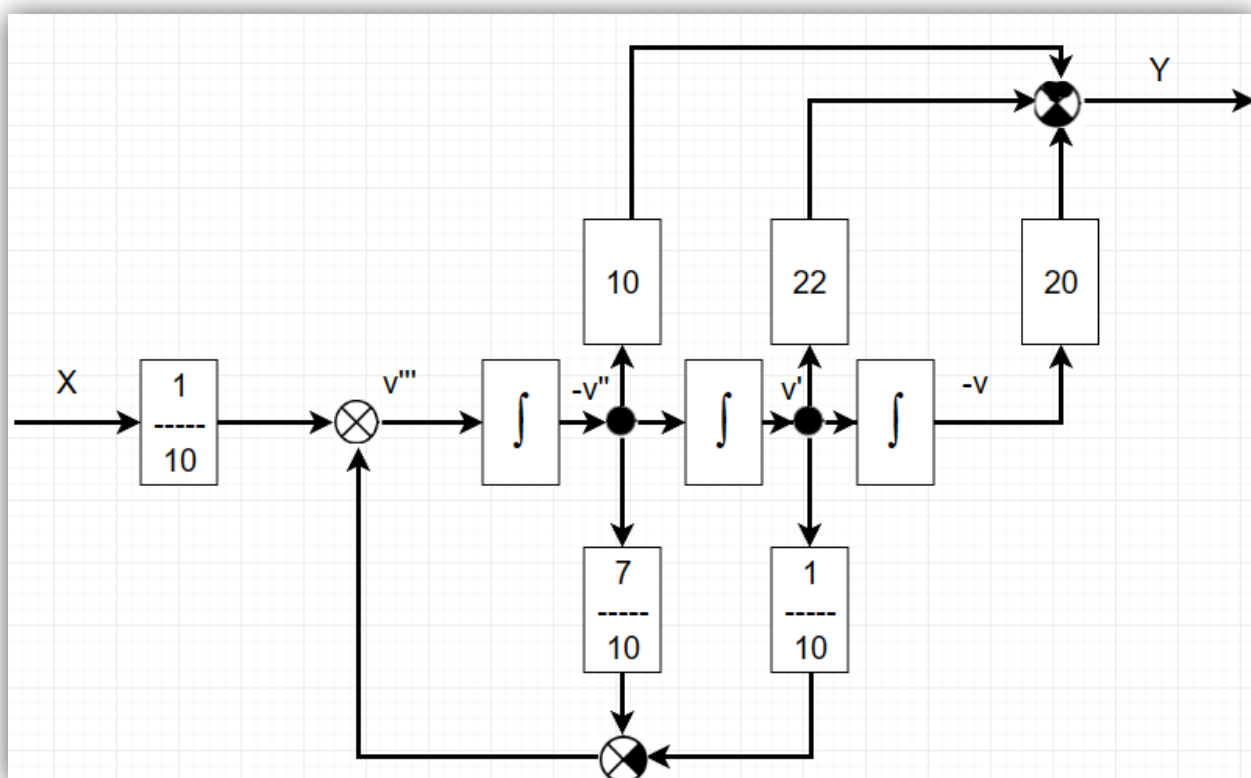


Рис 54.

Входной сумматор:

$$v'''(t) = 0.1x(t) + 0.7 * (-v''(t)) - 0.1v'(t)$$

Суммы коэффициентов усиления прибавляемых и вычитаемых сигналов в формуле $v'''(t)$ составляют $S_1 = 0.1 + 0.7 = 0.8$ $S_2 = 0.1$.

Для обеспечения баланса $S_1 = S_2 + 1$ нужно к прямому входу ОУ подключить нулевой (заземлённый) сигнал с коэффициентом усиления $K_{10} = S_2 + 1 - S_1 = 0.3$.

Номиналы резисторов, проводящих сигналы, должны удовлетворять соотношениям

$$0.1R_x = 0.7R_{-v''} = 0.3R_{10}$$

$$0.1R_{v'} = R_0$$

По которым подбираем целочисленные $R \in [1 \text{ кОм}, 10 \text{ МОм}]$:

$$R_x = 21 \text{ кОм} \quad R_{-v''} = 3 \text{ кОм} \quad R_{10} = 7 \text{ кОм}$$

$$R_{v'} = 10 \text{ кОм} \quad R_0 = 1 \text{ кОм}$$

Схема входного сумматора:

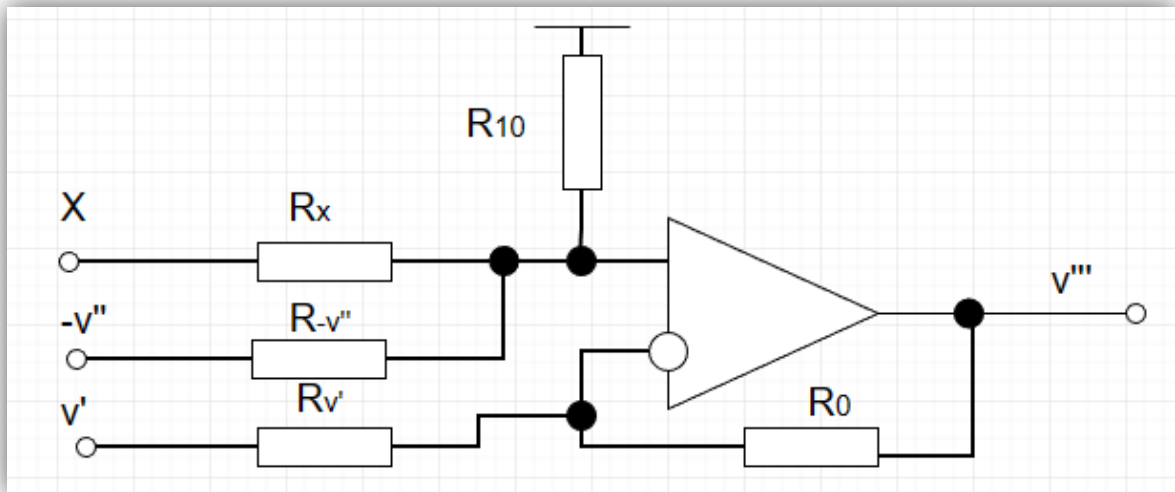


Рис 55.

Выходной сумматор:

$$y(t) = -20 * (-v(t)) + 22v'(t) - 10 * (-v''(t))$$

Суммы коэффициентов усиления прибавляемых и вычитаемых сигналов в формуле $y(t)$ составляют $S_1 = 22$ $S_2 = 20 + 10$.

Для обеспечения баланса $S_1 = S_2 + 1$ нужно к прямому входу ОУ подключить нулевой (заземлённый) сигнал с коэффициентом усиления $K_{10} = S_2 + 1 - S_1 = 9$

Номиналы резисторов, проводящих сигналы, должны удовлетворять соотношениям

$$22R_{v'} = 9R_{10}$$

$$20R_{-v} = 10R_{-v''} = R_0$$

По которым подбираем целочисленные $R \in [1 \text{ кОм}, 10 \text{ МОм}]$:

$$R_{v'} = 9 \text{ кОм} \quad R_{10} = 22 \text{ кОм}$$

$$R_{-v} = 1 \text{ кОм} \quad R_{-v''} = 2 \text{ кОм} \quad R_0 = 20 \text{ кОм}$$

Схема выходного сумматора:

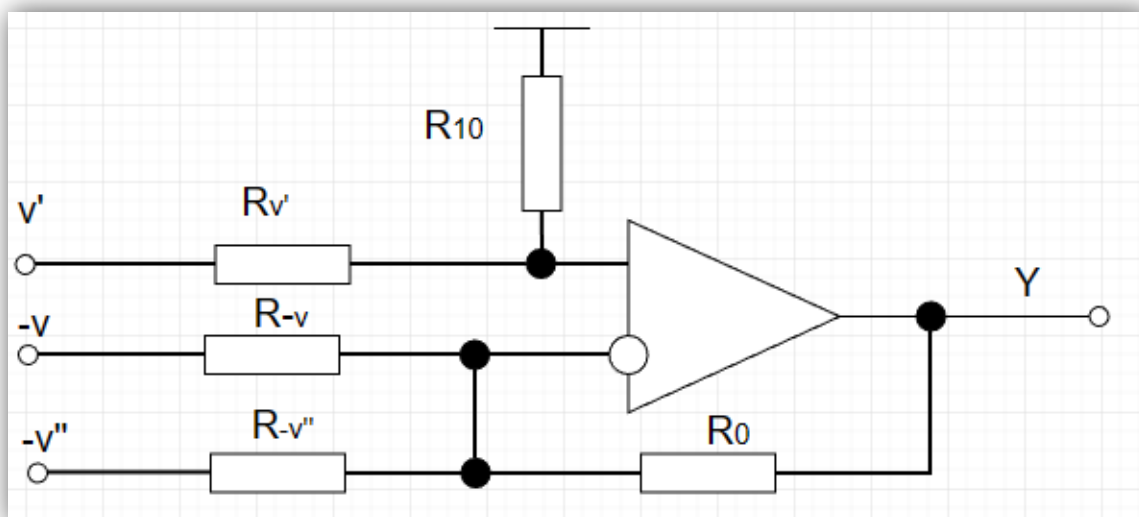


Рис 56.

Схема инвертирующего интегратора на операционном усилителе:

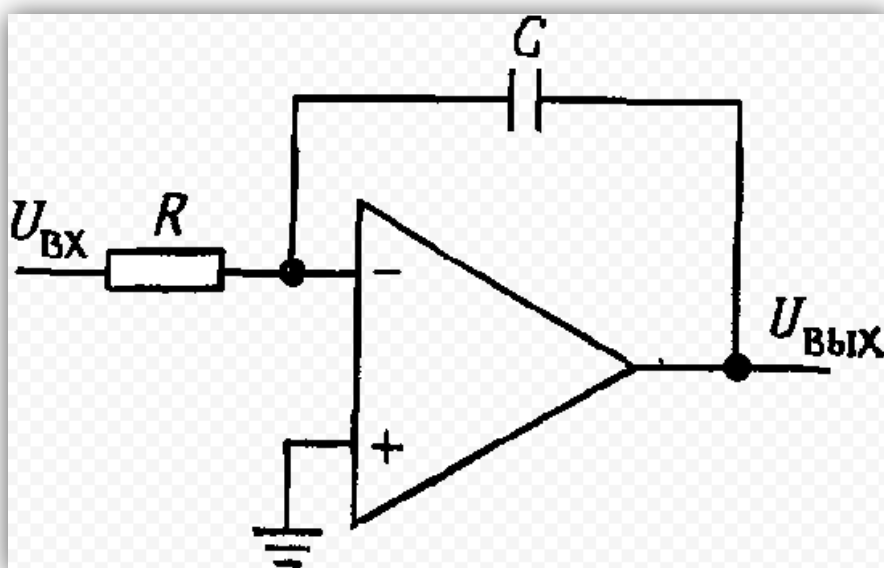


Рис 57.

$$U_{\text{вых}} = -\frac{1}{RC} \int U_{\text{вх}} dt$$

Поскольку нам нужен интегратор с коэффициентом -1, возьмем $C = 1\text{мкФ}$, $R = 1\text{МОм}$.

Итоговая схема:

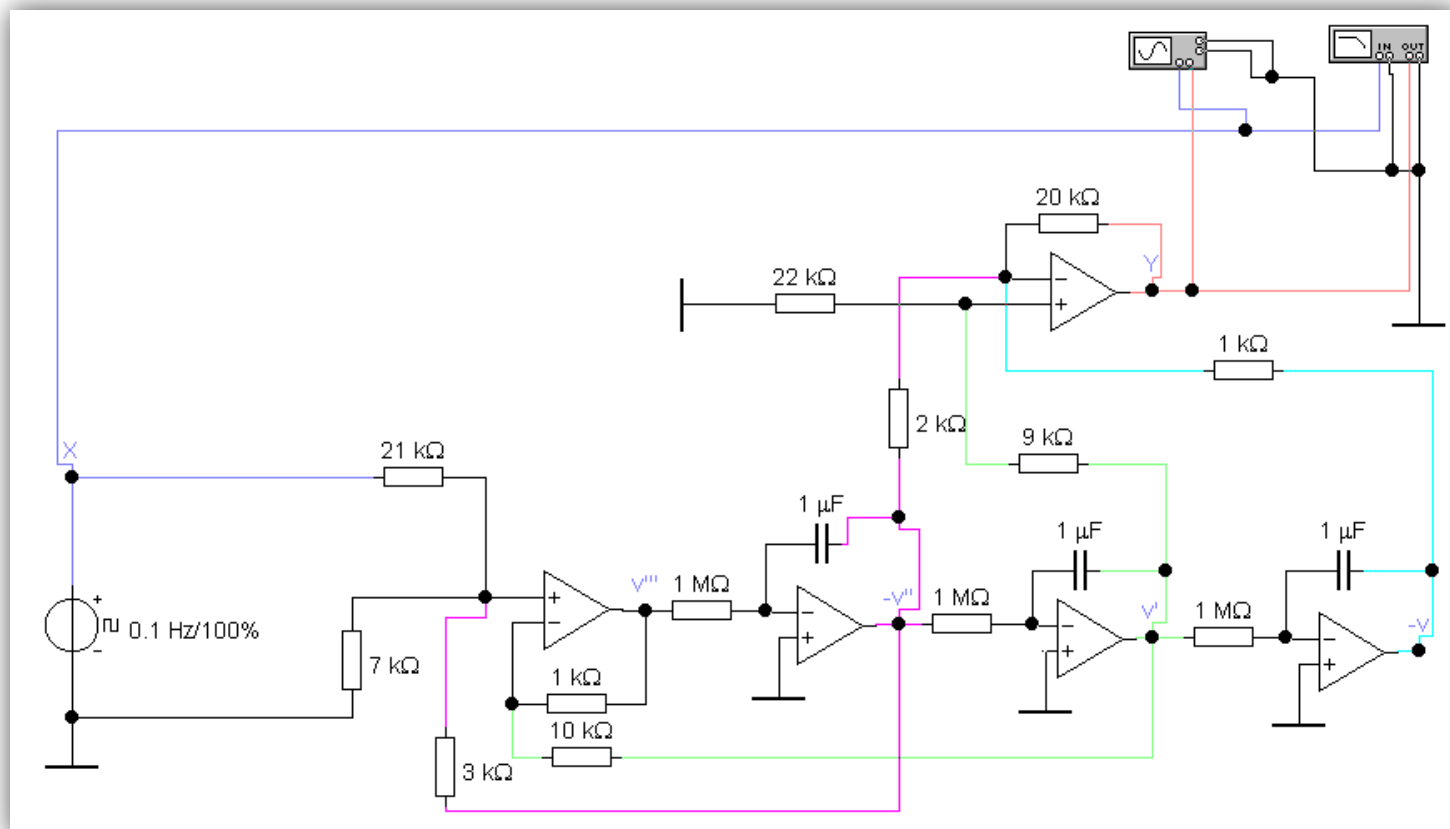


Рис 58.

7.3 Анализ характеристик системы

Для анализа ЛАЧХ и ЛФЧХ к выходу схемы подключен Bode Plotter, а на входе подключен генератор, который формирует в начальный момент времени перепад с 0 до 1 В.

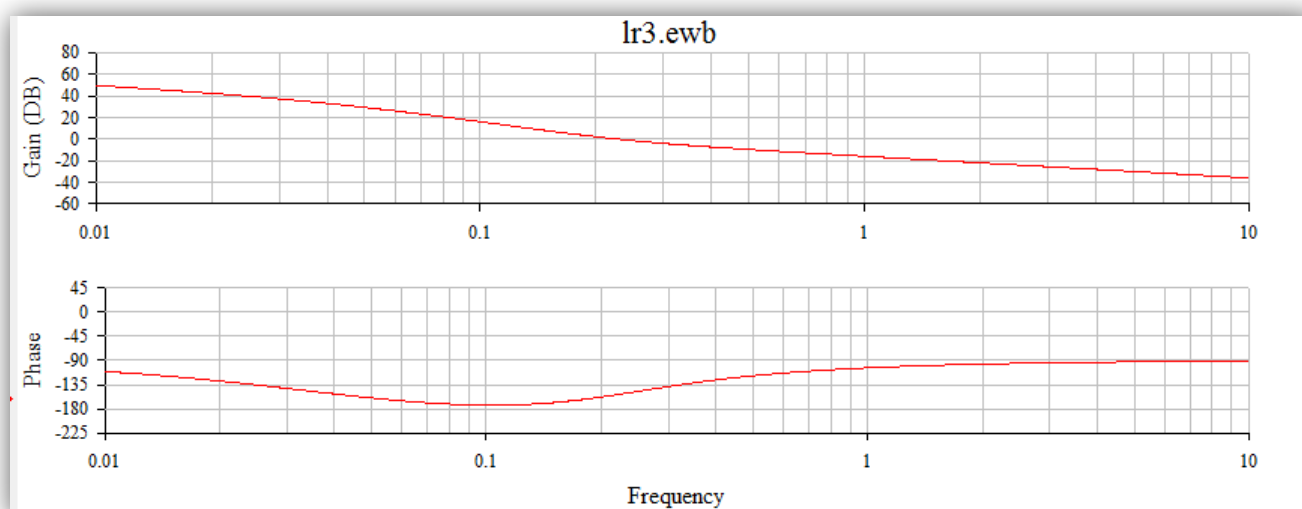


Рис 59.

Сравним полученные графики с графиками, построенными в Mathcad в 6 пункте курсовой работы.

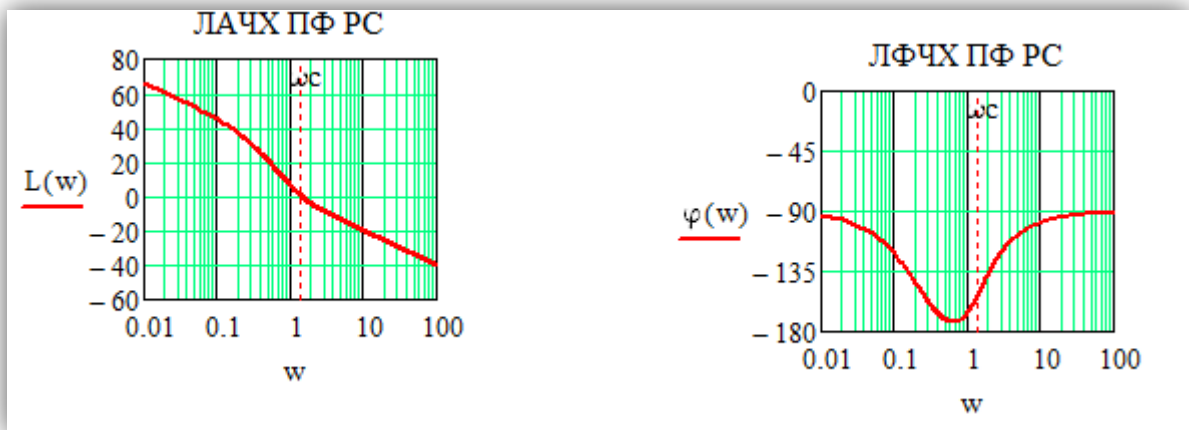


Рис 60.

График ЛАЧХ, построенный в Mathcad, равен нулю ДБ при $\omega = 1,44 \frac{\text{рад}}{\text{с}} \approx 0.23 \text{ ГЦ}$, построенный в WorkBench - при $\omega = 0.229 \text{ ГЦ}$.

График ЛФЧХ, построенный в Mathcad, принимает наименьшее значение $= -173^\circ$ при $\omega = 0,67 \frac{\text{рад}}{\text{с}} \approx 0.1 \text{ ГЦ}$, построенный в WorkBench - при $\omega = 1,06 \text{ ГЦ}$.

Графики, построенные в Mathcad и WorkBench, совпадают.

Оценка переходной характеристики

$$W(s) = \frac{20 + 22s + 10s^2}{s + 7s^2 + 10s^3}$$

1. Начальное значение $h(0) = W(s \rightarrow \infty) = \frac{0}{10} = 0$.

2. Установившееся значение $h(t \rightarrow \infty) = W(0) = \frac{20}{0} = \infty$. У

системы нет установившегося состояния.

3. На ЛАЧХ отсутствует резонансный пик, значит $h(t)$ не будет колебаться.

Построим переходную характеристику в WorkBench и Mathcad.

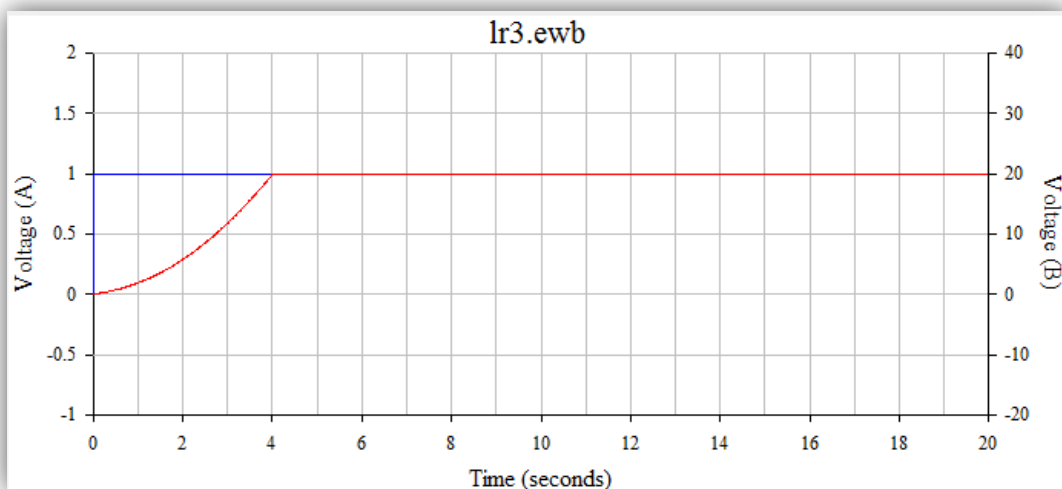


Рис 61.

$$W(s) := \frac{20 + 22s + 10s^2}{s + 7s^2 + 10s^3}$$

$$h(t) := \frac{W(s)}{s} \left| \begin{array}{l} \text{invlaplace}, s \\ \text{float}, 4 \end{array} \right. \rightarrow 20.0 \cdot t + 133.3 \cdot e^{-0.2 \cdot t} + -15.33 \cdot \left(e^{-0.2 \cdot t} \right)^{\frac{5}{2}} - 118.0$$

$$\underline{h}(t) := h(t) \cdot \Phi(t) \quad t := -5, -4.99 \dots 50$$

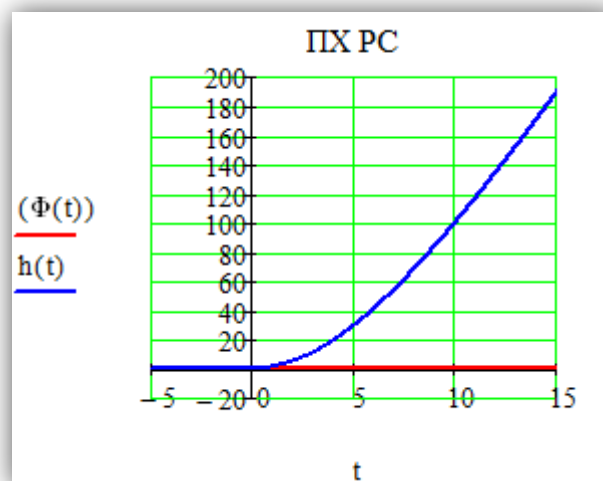


Рис 62.

ПХ в WorkBench ограничена 20В. Это связано с напряжением питания операционного усилителя, которое равно 20В.

Переходная характеристика описывает вынужденное движение, состоящее из:

- ❖ Собственного движения – движение по экспоненте, возникающее из-за свойств системы, определяемых передаточной функцией.
- ❖ Установившегося движения – движение по прямой линии $20 \cdot t$, возникающего из-за постоянного внешнего воздействия – функции Хевисайда.

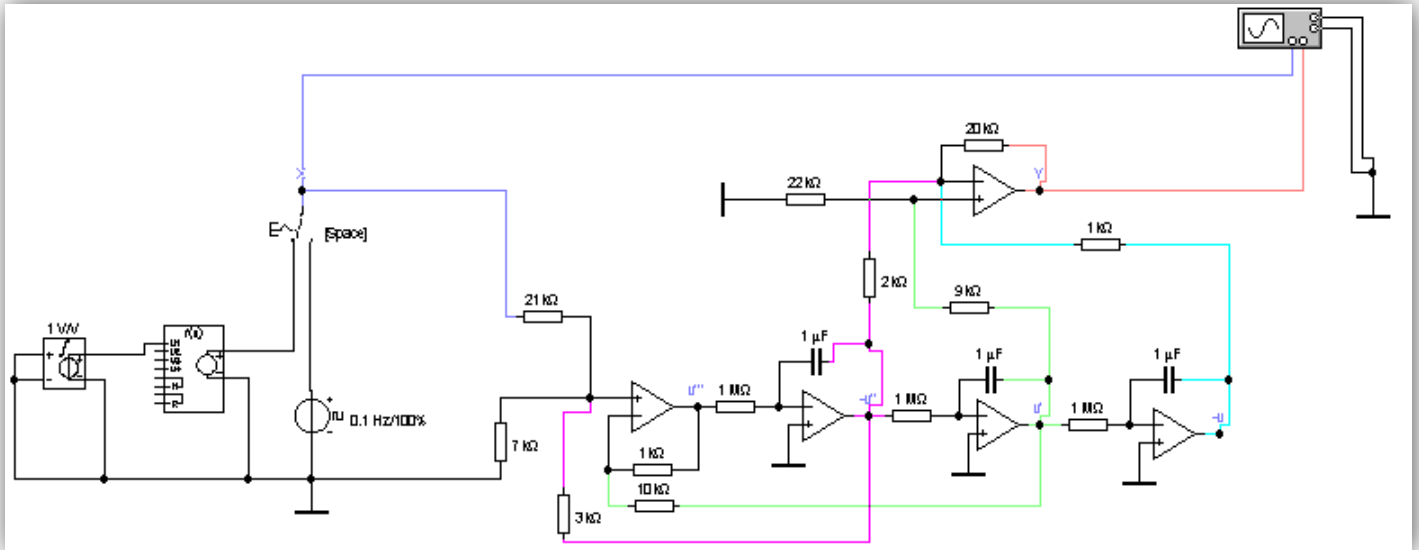
7.4 Моделирование системы при произвольном входном воздействии

Воздействие для 6 варианта:

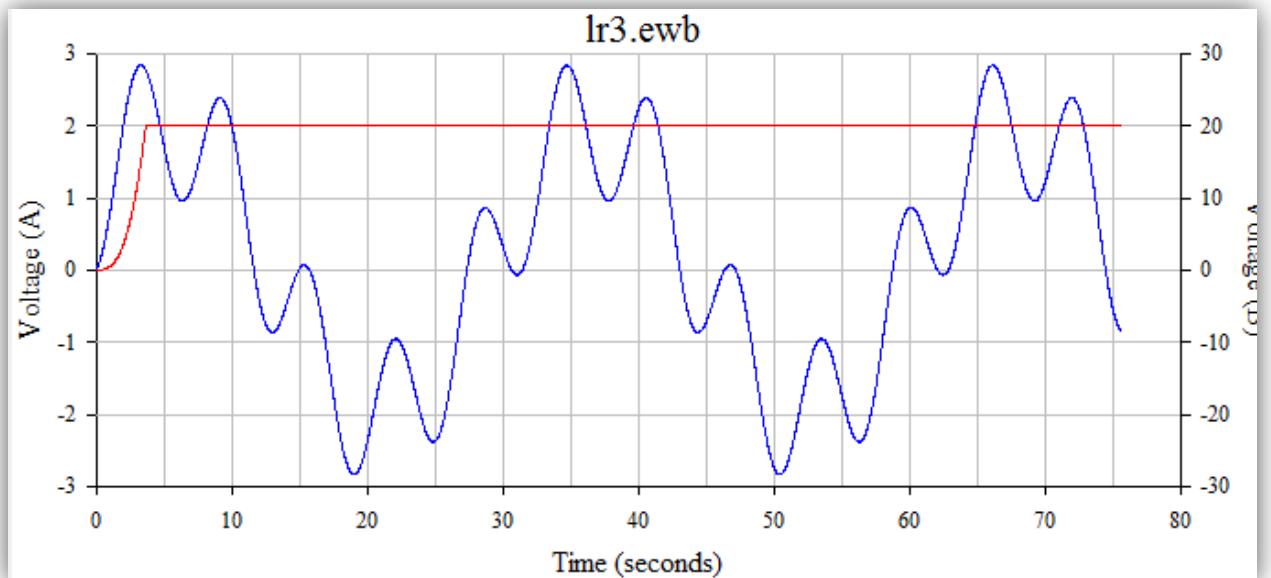
Входное воздействие	Номер варианта
$2\sin(0.2t + 30^\circ) - \cos(t)$	$\text{mod}(N_{\text{вар}}, 6) = 0$

Библиотека источников EWB содержит генератор Nonlinear Dependent Source (NDS), в окне редактирования которого записывается формула

В настройках интегратора установим «Input offset voltage» равным 1В. Тогда при интегрировании данного значения по времени напряжение на выходе будет равно времени.



Запишем в генератор формулу: $v=2*\sin(0.2*v(1)+0.52)-\cos(v(1))$ так, как $30^\circ=0,52\text{рад}$.



Сверим график с Mathcad.

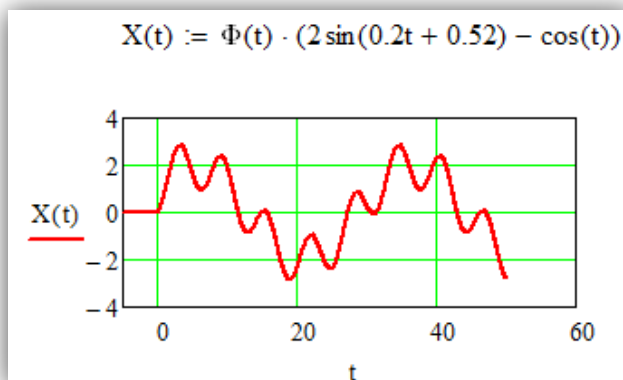


Рис 65.

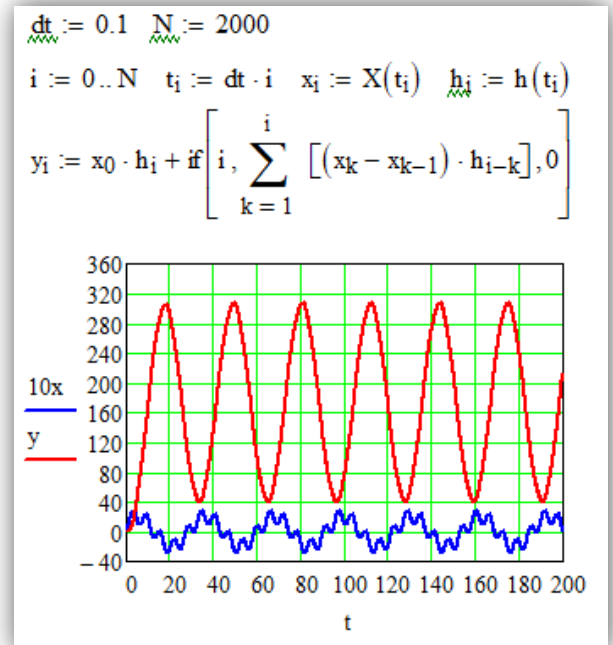


Рис 66.

Теоретический график выходного сигнала имеет амплитуду колебания $\approx 140\text{В}$ и наименьшее, после $t=5\text{с}$, значение 40В . Поэтому на реальном графике строится прямая линия равная 20В после $t=5\text{с}$. Колебания являются незатухающими и не расходящимися из-за того, что система находится на границе устойчивости.

8 Оценки качества переходной характеристики разомкнутой системы спектральными и частотными методами.

8.1 Спектральные оценки

$$W(s) = \frac{10s^2 + 22s + 20}{10s^3 + 7s^2 + s}$$

Найдем полюса передаточной функции из условия $A(s)=0$

$$10s^3 + 7s^2 + s = 0$$

$$s(10s^2 + 7s + 1) = 0$$

$$s_1 = 0 \quad s_2 = -0.5 \quad s_3 = -0.2$$

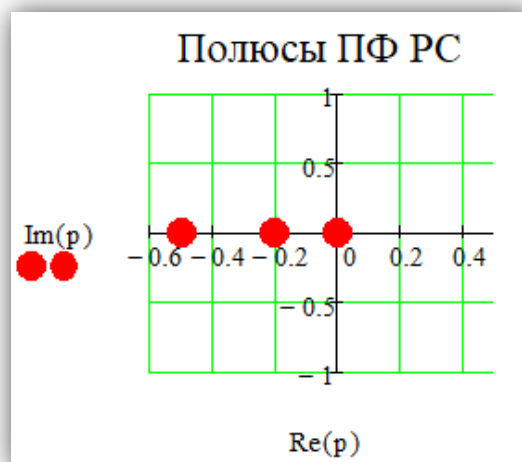


Рис 67.

Параметр	Значение
<u>Степень устойчивости.</u> $\eta = -\max\{\operatorname{Re}(s_i)\}$, если нет нулевых полюсов.	0
<u>Степень быстродействия.</u> $\gamma = -\min\{\operatorname{Re}(s_i)\}$.	0.5
<u>Степень жесткости.</u> $r = \gamma / \eta$	∞
<u>Степень колебательности.</u> $\mu = \frac{\omega}{\eta}$	∞

Система находится на аperiодической границе устойчивости. Рассмотрим основные спектральные оценки качества устойчивости переходной характеристики.

❖ **Время установления** - время, по истечении которого отклонение выходной величины от установившегося значения не превышает некоторой заданной величины.

$\frac{3}{\gamma} \leq t_y \leq \frac{\omega}{\eta}$, $1.5 \leq t_y$. Степень устойчивости равна нулю, поэтому верхняя граница у времени установления отсутствует. Это означает, что система не сходится к устойчивому состоянию, а находится на границе устойчивости.

❖ **Перерегулирование** - максимальное отклонение переходной функции от установившегося значения, выраженное в процентах:

$\sigma \leq e^{-\frac{\pi}{\mu}} * 100\%$; $\sigma \leq 100\%$. Поскольку установившегося состояния нет, то максимальное значение ПХ может постоянно увеличиваться.

❖ **Степень затухания**

$\xi = 1 - e^{\frac{-2\pi}{\mu}} = 1 - e^{\frac{-2\pi}{\infty}} = 0$. Затухание отсутствует.

❖ **Число колебаний:**

$N_k = \frac{\mu}{2} = \infty$. Колебания не затухают, а значит, и число колебаний будет бесконечно большим.

❖ **Влияние нулей:**

Найдем нули передаточной функции из условия $B(s)=0$
 $10s^2 + 22s + 20 = 0$

$$p1 := B(s) \left| \begin{array}{l} \text{solve, } s \\ \text{float, } 6 \end{array} \right. \rightarrow \begin{pmatrix} -1.1 + 0.888819i \\ -1.1 - 0.888819i \end{pmatrix}$$

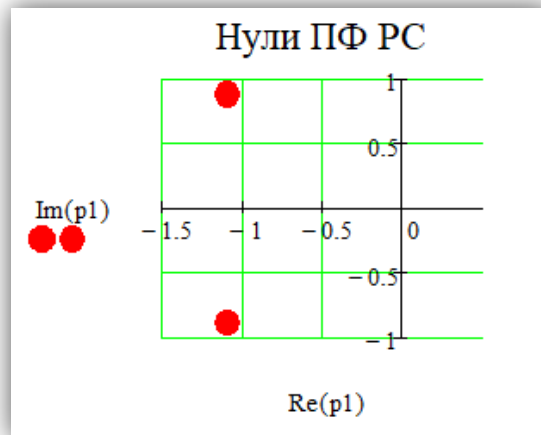


Рис 68.

В передаточной функции нет нулей, которые были бы близки к полюсам, чтобы компенсировать их составляющую колебания. Нули «далеко» от полюсов, поэтому они ухудшают показатели качества переходного процесса.

8.2 Частотные оценки

❖ Начальное значение

$$h(0) = W(s \rightarrow \infty) = \frac{0}{10} = 0.$$

❖ Установившееся значение

$h(t \rightarrow \infty) = W(0) = \frac{20}{0} = \infty$. У системы нет установившегося состояния.

Для получения частотных оценок подставим $s = i\omega$ в передаточную функцию

$$W(s) = \frac{10s^2 + 22s + 20}{10s^3 + 7s^2 + s} \quad C(\omega) = \frac{-10\omega^2 + 22i\omega + 20}{-10i\omega^3 - 7\omega^2 + i\omega} \quad P(\omega) = \operatorname{Re}(C(\omega))$$

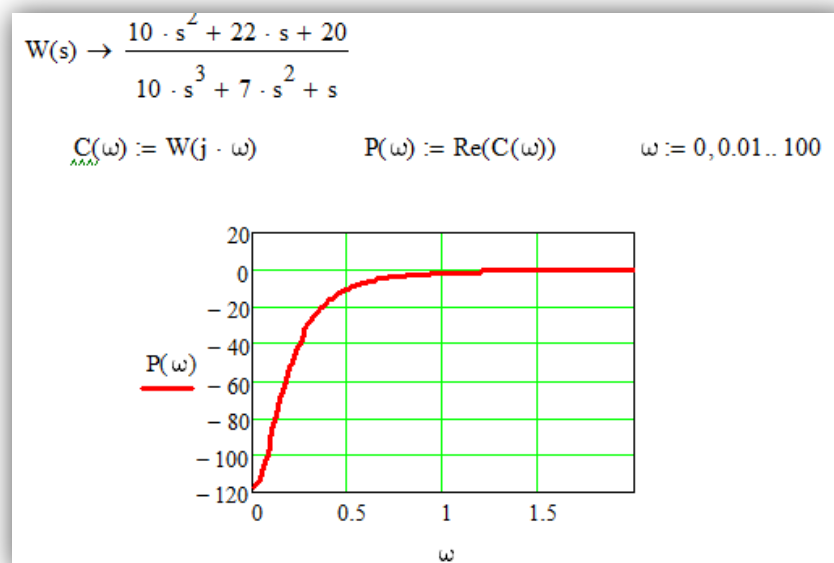


Рис 69.

$$P(0) \rightarrow \infty \quad P(\infty) \rightarrow 0 \quad P_{max} = 0$$

❖ **Первая частота**

$$\omega_1: |P(\omega) - P(0)| \leq 0.05|P(0)| \quad \forall \omega \leq \omega_1$$

$$t_y \leq \frac{3\pi}{\omega_1} \text{ с}$$

Поскольку $P(0) \rightarrow \infty$, то $\omega_1 \rightarrow \infty$, следовательно, невозможно оценить время установления верхней границей.

❖ **Частота однозначности**

$$\omega_0: \text{sgn}(P(\omega)) = \text{const} \quad \forall 0 < \omega < \omega_0$$

$$t_y \geq \frac{\pi}{\omega_0} \text{ с}$$

Поскольку $P(\infty) \rightarrow 0$ из отрицательной области, то знак P всегда постоянен, следовательно, невозможно оценить время установления нижней границей.

❖ **Оценки перерегулирования σ**

- $P(\omega)$ не является монотонно убывающей и выпуклой вниз, не имеет экстремумов, пиков и не максимальна в начальной точке – оценить перерегулированность нельзя.

❖ **Оценки параметров колебаний**

$P(\omega)$ не имеет резонансной частоты, поэтому нельзя оценить параметры колебания.

9 Расчёт временных характеристик РС

9.1 Расчет ПХ с помощью обратного преобразования Лапласа.

$$\begin{aligned} h(t) &= L^{-1}\left(\frac{W(s)}{s}\right) = L^{-1}\left(\frac{10s^2 + 22s + 20}{10s^3 + 7s^2 + s} * \frac{1}{s}\right) = L^{-1}\left(\frac{10s^2 + 22s + 20}{10s^4 + 7s^3 + s^2}\right) = \\ &= L^{-1}\left(\frac{10s^2}{10s^4 + 7s^3 + s^2} + \frac{22s}{10s^4 + 7s^3 + s^2} + \frac{20}{10s^4 + 7s^3 + s^2}\right) = \\ &= L^{-1}\left(\frac{10}{10s^2 + 7s + 1} + \frac{22}{10s^3 + 7s^2 + s} + \frac{20}{10s^4 + 7s^3 + s^2}\right) = \\ &= 10 * L^{-1}\left(\frac{10}{10s^2 + 7s + 1}\right) + 22 * L^{-1}\left(\frac{1}{10s^3 + 7s^2 + s}\right) + 20 * L^{-1}\left(\frac{1}{10s^4 + 7s^3 + s^2}\right) \end{aligned}$$

$$= L^{-1}\left(\frac{1}{10s^2 + 7s + 1}\right) + 22 * L^{-1}\left(\frac{1}{s(10s^2 + 7s + 1)}\right) + 20 * L^{-1}\left(\frac{1}{s^2(10s^2 + 7s + 1)}\right)$$

$$10s^2 + 7s + 1 = (s + 0.2)(s + 0.5) = (1 + 5s)(1 + 2s)$$

$$h(t) = 10 * L^{-1}\left(\frac{1}{(1 + 5s)(1 + 2s)}\right) + 22 * L^{-1}\left(\frac{1}{s(1 + 5s)(1 + 2s)}\right) + 20 * L^{-1}\left(\frac{1}{s^2(1 + 5s)(1 + 2s)}\right)$$

Найдём в таблице Лапласа обратные преобразования для трёх слагаемых.

27	$\frac{1}{(1+T_1s)(1+T_2s)}$	$\frac{1}{T_1-T_2}(e^{-\alpha_1 t} - e^{-\alpha_2 t})$
----	------------------------------	--

30	$\frac{1}{s(1+T_1s)(1+T_2s)}$	$1 - C_1 e^{-\alpha_1 t} + C_2 e^{-\alpha_2 t} : C_i = \frac{T_i}{T_1 - T_2}$
----	-------------------------------	---

33	$\frac{1}{s^2(1+T_1s)(1+T_2s)}$	$t - T_1 - T_2 + C_1 e^{-\alpha_1 t} - C_2 e^{-\alpha_2 t} : C_i = \frac{T_i^2}{T_1 - T_2}$
----	---------------------------------	---

Найдём значение параметра α . $\alpha T = 1 \rightarrow \alpha_1 = 0.2 \quad \alpha_2 = 0.5$.
Составим функцию в Mathcad и сравним с вычисленной в нём.

```

a1 := 0.2      a2 := 0.5      T1 := 5      T2 := 2

f1(t) :=  $\frac{e^{-a1 \cdot t} - e^{-a2 \cdot t}}{T2 - T1}$ 

f2(t) :=  $1 + \frac{T2 \cdot e^{-a2 \cdot t}}{T1 - T2} - \frac{T1 \cdot e^{-a1 \cdot t}}{T1 - T2}$ 

f3(t) :=  $t - T1 - T2 - \frac{T2^2 \cdot e^{-a2 \cdot t}}{T1 - T2} + \frac{T1^2 \cdot e^{-a1 \cdot t}}{T1 - T2}$ 

h(t) := 10 · f1(t) + 22 · f2(t) + 20 · f3(t)

h(t) := h(t) · Φ(t)

```

$$h1(t) := \frac{W(s)}{s} \left| \begin{array}{l} \text{invlaplace, } s \\ \text{float, } 3 \end{array} \right. \rightarrow 20.0 \cdot t + 133.0 \cdot e^{-0.2 \cdot t} + -15.3 \cdot \left(e^{-0.2 \cdot t} \right)^{\frac{5}{2}} - 118.0$$

$$h1(t) := h1(t) \cdot \Phi(t)$$

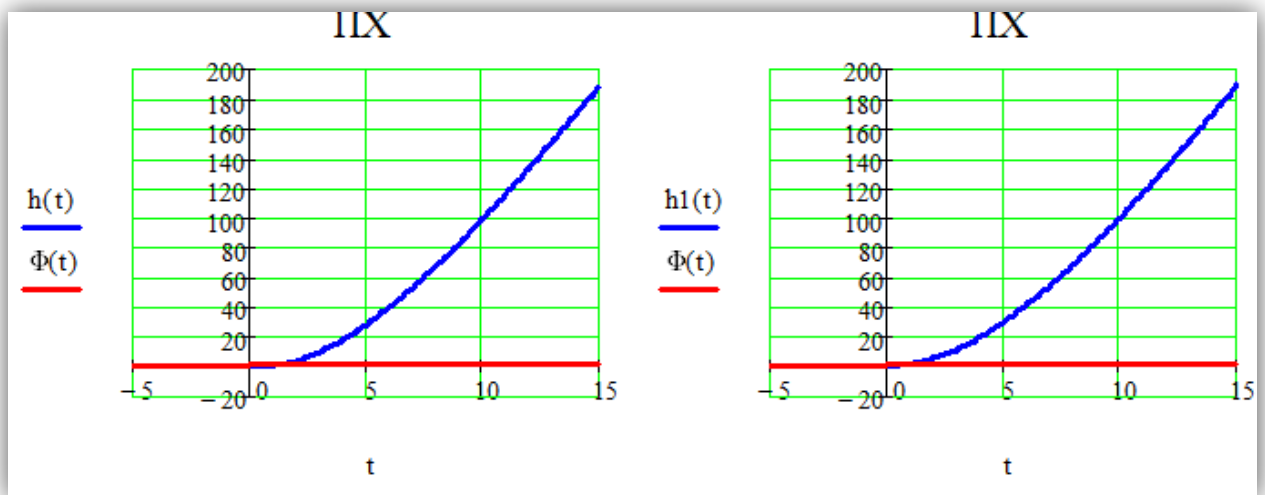


Рис 70.

Графики совпадают, значит, функция, вычисленная вручную составлена верно.

9.2 Расчет импульсной характеристики

Вычислим импульсную характеристику с помощью маткада.

$$w(t) := W(s) \left| \begin{array}{l} \text{invlaplace, } s \\ \text{float, } 3 \end{array} \right. \rightarrow -26.7 \cdot e^{-0.2 \cdot t} + 7.67 \cdot \left(e^{-0.2 \cdot t} \right)^{\frac{5}{2}} + 20.0$$

$$w(t) := w(t) \cdot \Phi(t)$$

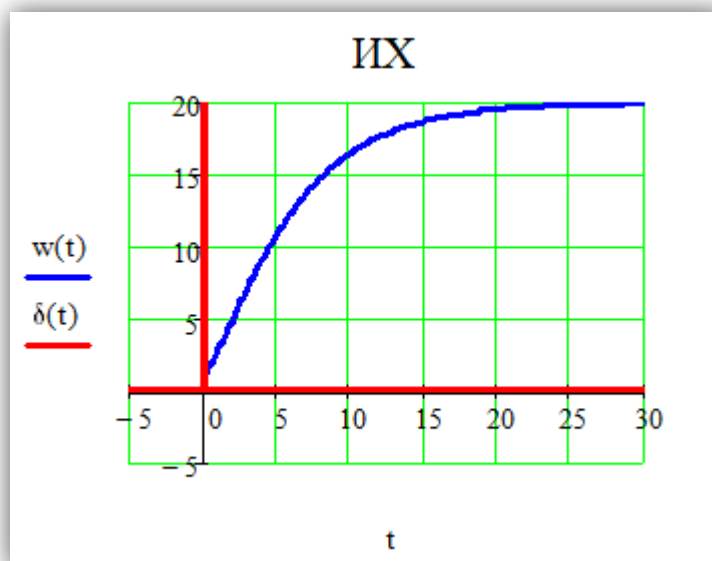


Рис 71.